

การพัฒนาตารางคำนวณสำหรับพื้นที่การถ่ายเทความร้อนของหม้อน้ำ
อุตสาหกรรม

DEVELOPMENT OF SPREADSHEET FOR HEAT TRANSFER SURFACE
OF INDUSTRIAL BOILER

นนท์ปวีร์ คลังหิรัญ
NONTPAWIT KLANGHIRAN

วิทยานิพนธ์นี้เป็นส่วนหนึ่งของการศึกษาตามหลักสูตรปริญญาวิศวกรรมศาสตรมหาบัณฑิต

สาขาวิชาวิศวกรรมเครื่องกล

คณะวิศวกรรมศาสตร์

สถาบันเทคโนโลยีพระจอมเกล้าเจ้าคุณทหารลาดกระบัง

พ.ศ. 2559

KMITL-2016-EN-M-030-106

สำนักหอสมุดกลาง พระจอมเกล้าลาดกระบัง

การพัฒนาตารางคำนวณสำหรับพื้นที่การถ่ายเทความร้อนของหม้อน้ำ
อุตสาหกรรม

DEVELOPMENT OF SPREADSHEET FOR HEAT TRANSFER SURFACE
OF INDUSTRIAL BOILER



T144054

นนท์ปวิธ คลังหิรัญ
NONTPAWIT KLANGHIRAN

เลขหมู่.....
เลขทะเบียน.....144054
วันเดือนปี 25 ต.ค. 2559



วิทยานิพนธ์นี้เป็นส่วนหนึ่งของการศึกษาตามหลักสูตรปริญญาวิศวกรรมศาสตรมหาบัณฑิต
สาขาวิชาวิศวกรรมเครื่องกล
คณะวิศวกรรมศาสตร์
สถาบันเทคโนโลยีพระจอมเกล้าเจ้าคุณทหารลาดกระบัง
พ.ศ. 2559

KMITL-2016-EN-M-030-106

DEVELOPMENT OF SPREADSHEET FOR HEAT TRANSFER SURFACE
OF INDUSTRIAL BOILER

NONTPAWIT KLANGHIRAN

A THESIS SUBMITTED IN PARTIAL FULFILLMENT
OF THE REQUIREMENT FOR THE DEGREE OF
MASTER OF ENGINEERING IN MECHANICAL ENGINEER
FACULTY OF ENGINEERING
KING MONGKUT'S INSTITUTE OF TECHNOLOGY LADKRABANG
2016
KMITL-2016-EN-M-030-106

COPYRIGHT 2016

FACULTY OF ENGINEERING

KING MONGKUT'S INSTITUTE OF TECHNOLOGY LADKRABANG

หัวข้อวิทยานิพนธ์

การพัฒนาตารางคำนวณสำหรับพื้นที่การถ่ายเทความร้อนของหม้อ
น้ำอุตสาหกรรม

นักศึกษา

นายนนท์ปวิธ คลังหิรัญ

รหัสประจำตัว

56601154

ปริญญา

วิศวกรรมศาสตรมหาบัณฑิต

สาขาวิชา

วิศวกรรมเครื่องกล

พ.ศ.

2559

อาจารย์ที่ปรึกษาวิทยานิพนธ์

รศ.ดร.จรรุวัตร เจริญสุข

บทคัดย่อ

บทความนี้นำเสนอสเปรตชีทที่พัฒนาขึ้นสำหรับคำนวณพื้นที่การถ่ายเทความร้อนของหม้อน้ำชนิดท่อไฟ โดยค่าพื้นที่การถ่ายเทความร้อนที่คำนวณได้ จะสัมพันธ์กับการกำหนดพารามิเตอร์ในการออกแบบ เช่น อุณหภูมิน้ำป้อน ความดันไอ ชนิดของเชื้อเพลิง อัตราการผลิตไอน้ำที่ต้องการ ความยาวและเส้นผ่านศูนย์กลางหม้อน้ำ เป็นต้น โดยสเปรตชีทถูกพัฒนาเป็นสองแนวทางคือตรวจสอบสมรรถนะทางความร้อนของหม้อน้ำชนิดท่อไฟใหญ่และลูกผสม กับพัฒนาเพื่อออกแบบหม้อน้ำชนิดท่อไฟ โดยสเปรตชีทที่พัฒนาขึ้นใช้วิธีการคำนวณตามขั้นตอน ดังต่อไปนี้ 1.วิเคราะห์แยกธาตุของเชื้อเพลิงในการบวนการเผาไหม้ เพื่อหาคณสมบัตของก๊าซไอเสีย 2. ใช้ทฤษฎีการเผาไหม้ เพื่อคำนวณปริมาณเชื้อเพลิงและปริมาณไอเสียที่ผ่านชุดท่อไฟ 3.ใช้ทฤษฎีการนำ การพา และแผ่รังสีความร้อน เพื่อหาค่าสัมประสิทธิ์การถ่ายเทความร้อนรวม และวิเคราะห์อัตราการถ่ายเทความร้อนที่จำเป็นต่อการเปลี่ยนสถานะของน้ำ ในกระบวนการคำนวณแบบวนซ้ำ เพื่อตรวจสอบสมรรถนะทางความร้อน และตรวจสอบปัจจัยที่มีผลต่อการถ่ายเทความร้อนในหม้อน้ำเพื่อพัฒนาหม้อน้ำให้มีสมรรถนะดีขึ้น ก่อนนำสเปรตชีทดังกล่าวพัฒนาเพื่อสร้างสเปรตชีทออกแบบพื้นที่การถ่ายเทความร้อนหม้อน้ำ จากนั้นตรวจสอบความน่าเชื่อถือของสเปรตชีทโดยสอบเทียบผลการคำนวณของสเปรตชีทกับหม้อน้ำจริง เพื่อประเมินค่าความคลาดเคลื่อนของสเปรตชีทที่พัฒนาขึ้น

Thesis Title	Development of Spreadsheet for Heat Transfer Surface of Industrial Boiler
Student	Mr. Nontpawit Klanghiran
Student ID.	56601154
Degree	Master of Engineering
Spreadsheet	Mechanical engineer
Year	2016
Thesis Advisor	Assoc.Prof.Dr.Jaruwat Chareonsuk

ABSTRACT

This paper presents a spreadsheet developed for heat transfer surface calculation in the fire-tube boiler. The obtained heating surface is related to the pre-defined parameters such as; water input temperature, Steam pressure, fuel type, steam flow rate, length and diameter of the furnace. The spreadsheet procedure involves 1.Ultimate and stoichiometry analyses of selected solid fuel for obtaining flue gas composition, 2.Utilization of combustion theory to obtain the amount of fuel and air under desired thermal throughput 3.Employment of the empirical and analytical models of convection, conduction and radiation mode of heat transfer as appropriate to determine the overall heat transfer and estimate the required surface for boiling mode of heat transfer. With iterative method, a number of tubes would finally be obtained. The predictive performance of this numerical spreadsheet would then be assessed using the measured data from a fire tube boiler.

กิตติกรรมประกาศ

วิทยานิพนธ์เล่มนี้สำเร็จได้เป็นอย่างดี ด้วยความช่วยเหลือ จาก รศ.ดร.จาร์วัตร เจริญสุข ซึ่งเป็นอาจารย์ผู้ควบคุมวิทยานิพนธ์ ที่คอยให้คำแนะนำและคำปรึกษาในการทำงานมาโดยตลอด ข้าพเจ้ารู้สึกซาบซึ้งในความอนุเคราะห์จากท่านอาจารย์และขอขอบพระคุณเป็นอย่างสูง

ขอขอบพระคุณคณาจารย์คณะวิศวกรรมศาสตร์ สาขาวิชาวิศวกรรมเครื่องกล ภาควิชาเครื่องกล สถาบันเทคโนโลยีพระจอมเกล้าเจ้าคุณทหารลาดกระบัง ทุกท่านที่ได้ประสิทธิ์ประสาทวิชาความรู้และถ่ายทอดประสบการณ์ที่ดีให้แก่ข้าพเจ้าพร้อมทั้งได้ให้คำปรึกษา คำแนะนำและข้อคิดเห็นต่างๆที่เป็นประโยชน์ จนทำให้วิทยานิพนธ์นี้ได้บรรลุวัตถุประสงค์ได้ด้วยดี

ขอขอบพระคุณอาจารย์รัชชัย นาคพิพัฒน์ ที่คอยให้คำแนะนำ และคำปรึกษาเพิ่มเติมในการทำงานวิทยานิพนธ์จนสำเร็จ

ขอขอบคุณบริษัท แอล วาย อินด์สทรี จำกัด และ บริษัท เฟอร์โก อุตสาหกรรม จำกัด ที่ให้โอกาสข้าพเจ้าเข้าไปสำรวจเครื่องจักร และให้ข้อมูลสำคัญสำหรับทำวิทยานิพนธ์จนสำเร็จ

ขอขอบคุณเพื่อน พี่ น้อง ทุกคนที่ให้คำแนะนำและคอยช่วยเหลือในการทำงาน พร้อมมอบกำลังใจให้เสมอมาจนสามารถฟันฝ่าอุปสรรคมาได้ด้วยดี

สุดท้ายนี้ข้าพเจ้าขอกราบขอบพระคุณ บิดา มารดา ที่ให้การเลี้ยงดูอย่างดีตลอดมา และยังให้การสนับสนุน ทั้งกำลังใจที่เป็นค่าใช้จ่ายในด้านต่างๆ พร้อมกับมอบกำลังใจที่ดี เมื่อยามท้อและเหน็ดเหนื่อย จนทำให้การทำงานสำเร็จไปได้ด้วยดี

สำหรับคุณงามความดีอันใดที่เกิดจากวิทยานิพนธ์ฉบับนี้ข้าพเจ้าขอมอบให้กับผู้มีพระคุณทุกท่านซึ่งเป็นที่รักและเคารพยิ่ง

นนท์ปวีธ คลังหิรัญ

สารบัญ

	หน้า
บทคัดย่อภาษาไทย.....	I
บทคัดย่อภาษาอังกฤษ.....	II
กิตติกรรมประกาศ.....	III
สารบัญ.....	IV
สารบัญตาราง.....	VII
สารบัญรูป.....	IX
รายการคำย่อและสัญลักษณ์.....	XII
บทที่ 1 บทนำ.....	1
1.1 ความเป็นมาและความสำคัญของปัญหา.....	1
1.2 จุดมุ่งหมายและวัตถุประสงค์ของงานวิจัย.....	2
1.3 สมมุติฐานของงานวิจัย.....	2
1.4 ขอบเขตของการวิจัย.....	2
1.5 ขั้นตอนของการศึกษาและพัฒนา.....	3
1.6 ประโยชน์ที่คาดว่าจะได้รับ.....	3
บทที่ 2 วรรณกรรมและกรอบแนวคิด.....	4
2.1 วรรณกรรมปริทัศน์.....	4
2.2 หลักการทำงานของหม้อน้ำ.....	7
2.2.1 หลักการทำงานเบื้องต้นของหม้อน้ำ.....	7
2.2.2 โครงสร้างทั่วไปของหม้อน้ำ.....	7
2.2.3 ประเภทของหม้อน้ำ.....	7
2.2.3.1 หม้อน้ำชนิดท่อไฟ.....	7
2.2.3.2 หม้อน้ำชนิดท่อน้ำ.....	10
2.2.3.3 หม้อน้ำชนิดลูกผสม.....	11
2.3 ทฤษฎีการถ่ายเทความร้อน.....	12
2.3.1 การคำนวณค่าสัมประสิทธิ์การถ่ายเทความร้อนรวม.....	12
2.3.2 การคำนวณการถ่ายเทความร้อนแบบแผ่รังสี.....	15
2.3.3 การคำนวณการถ่ายเทความร้อนของการไหลของน้ำในท่อน้ำ.....	15
2.3.4 การคำนวณการถ่ายเทความร้อนแบบการเดือดแบบแอ่ง (Pool boiling).....	16
2.3.5 การคำนวณการถ่ายเทความร้อนแบบผ่านผิวด้านนอกท่อทรงกระบอก.....	16
2.3.6 การคำนวณการถ่ายเทความร้อนแบบการเดือดแบบไหล (Flow boiling).....	17

สารบัญ(ต่อ)

	หน้า
2.4 ทฤษฎีการเผาไหม้.....	18
2.4.1 การวิเคราะห์แยกธาตุ และทฤษฎีการเผาไหม้.....	18
2.4.2 ทฤษฎีการเผาไหม้การคำนวณปริมาณเชื้อเพลิงและปริมาณไอเสียที่ผ่านชุดท่อไฟ	18
2.4.3 สมดุลเอนทัลปีของการเผาไหม้สำหรับคำนวณอุณหภูมิอะเดียแบติก.....	19
2.4.4 ประสิทธิภาพของหม้อน้ำ.....	19
บทที่ 3 วิธีดำเนินการวิจัย.....	20
3.1 ภาพรวมของการดำเนินงานวิจัย.....	20
3.2 การสำรวจหม้อน้ำ (Boilers survey).....	21
3.2.1 สำรวจหม้อน้ำชนิดท่อน้ำ.....	21
3.2.2 สำรวจหม้อน้ำชนิดท่อไฟ.....	23
3.2.3 สำรวจหม้อน้ำชนิดลูกผสม.....	28
3.3 การพัฒนาสเปรทชีท.....	31
3.3.1 สเปรทชีทคำนวณการเผาไหม้.....	31
3.3.2 สเปรทชีทคำนวณปริมาณความร้อน และประสิทธิภาพของหม้อน้ำ.....	33
3.3.3 สเปรทชีทคำนวณคุณสมบัติทางความร้อนของน้ำ.....	34
3.3.4 สเปรทชีทคำนวณสัมประสิทธิ์การแผ่รังสีความร้อน.....	34
3.3.5 สเปรทชีทคำนวณสัมประสิทธิ์การถ่ายเทความร้อนจากการแผ่รังสีในท่อไฟใหญ่	37
3.4 การพัฒนาสเปรทชีทคำนวณพื้นที่การถ่ายเทความร้อน.....	39
3.4.1 การพัฒนาสเปรทชีทสำหรับตรวจสอบสมรรถนะหม้อน้ำชนิดท่อไฟ.....	39
3.4.2 สเปรทชีทคำนวณพื้นที่การถ่ายเทความร้อนของหม้อน้ำ.....	48
3.4.3 สเปรทชีทตรวจสอบสมรรถนะของหม้อน้ำชนิดลูกผสม.....	53
3.5 วิธีการตรวจสอบความถูกต้องของสเปรทชีท.....	56
3.5.1 วิธีการตรวจสอบความถูกต้องของสเปรทชีท.....	56
บทที่ 4 วิเคราะห์ผลการทดลอง และการประยุกต์ใช้สเปรทชีทเพื่อออกแบบหม้อน้ำ.....	58
4.1 สเปรทชีททดสอบสมรรถนะทางความร้อนของหม้อน้ำชนิดท่อไฟ.....	58
4.1.1 การตรวจสอบสมรรถนะของสเปรทชีท.....	58
4.1.2 วิเคราะห์ข้อผิดพลาดของการถ่ายเทความร้อนในแต่ละส่วนของหม้อน้ำ.....	60
4.2 สเปรทชีทคำนวณพื้นที่การถ่ายเทความร้อนของหม้อน้ำชนิดลูกผสม.....	64
4.2.1 การตรวจสอบสมรรถนะของสเปรทชีท.....	64
4.2.2 วิเคราะห์ข้อผิดพลาดของการถ่ายเทความร้อนในแต่ละส่วนของหม้อน้ำชนิดลูกผสม...	66
4.3 สเปรทชีทคำนวณพื้นที่การถ่ายเทความร้อนของหม้อน้ำชนิดท่อไฟ.....	71
4.3.1 การประยุกต์ใช้งานสเปรทชีทเพื่อออกแบบหม้อน้ำ.....	71

สารบัญ(ต่อ)

	หน้า
บทที่ 5 สรุปผลการพัฒนาสเปรทซีท.....	72
5.1 สรุปผลการตรวจสอบสมรรถนะและความน่าเชื่อถือของสเปรทซีท.....	72
5.1.1 สรุปผลการตรวจสอบสมรรถนะและความน่าเชื่อถือของสเปรทซีท.....	72
5.1.2 สรุปผลการวิเคราะห์อิทธิพลของการถ่ายเทความร้อนจากการคำนวณของ สเปรทซีทในเทอมของค่า Overall heat transfer coefficient ในแต่ละส่วนของหม้อน้ำ	72
5.2 สรุปผลการวิเคราะห์อิทธิพลของการถ่ายเทความร้อนจากการคำนวณของ สเปรทซีทในเทอมของค่า Overall heat transfer coefficient ในแต่ละส่วนของหม้อน้ำ	73
5.2.1 สรุปผลการตรวจสอบสมรรถนะและความน่าเชื่อถือของสเปรทซีท.....	73
5.2.2 สรุปผลการวิเคราะห์อิทธิพลของการถ่ายเทความร้อนจากการคำนวณของ สเปรทซีทในเทอมของค่า Overall heat transfer coefficient ในแต่ละส่วนของหม้อน้ำ	73
5.3 สรุปผลการพัฒนาสเปรทซีทคำนวณพื้นที่การถ่ายเทความร้อนในหม้อน้ำชนิดท่อไฟ.....	74
5.4 ข้อเสนอแนะในการพัฒนาสเปรทซีท.....	75
เอกสารอ้างอิง.....	76
ภาคผนวก.....	78

สารบัญตาราง

ตารางที่	หน้า
3.1 ข้อมูลของน้ำในหม้อน้ำ และอัตราการใช้เชื้อเพลิง.....	26
3.2 ข้อมูลของไอเสียที่ออกจากหม้อน้ำ.....	26
3.3 ตารางแสดงความสัมพันธ์ของข้อมูลที่ตรวจวัดกับสเปรทซีท.....	27
3.4 ข้อมูลของน้ำในหม้อน้ำ และอัตราการใช้เชื้อเพลิง.....	30
3.5 ตารางแสดงความสัมพันธ์ของข้อมูลที่ตรวจวัดกับสเปรทซีท.....	31
3.6 ตัวอย่างพารามิเตอร์ของน้ำที่ถูกใช้เป็นตัวแปรต้นสำหรับสเปรทซีทตรวจสอบสมรรถนะทางความร้อน.....	40
3.7 ตัวอย่างพารามิเตอร์ของก๊าซร้อนที่ถูกใช้เป็นตัวแปรต้นสำหรับสเปรทซีทตรวจสอบสมรรถนะทางความร้อน.....	41
3.8 ตัวอย่างพารามิเตอร์ของก๊าซร้อนที่ถูกใช้เป็นตัวแปรต้นสำหรับสเปรทซีทคำนวณพื้นที่การถ่ายเทความร้อน.....	49
3.9 ตัวอย่างพารามิเตอร์ของน้ำที่ถูกใช้เป็นตัวแปรต้นสำหรับสเปรทซีทตรวจสอบสมรรถนะทางความร้อน.....	49
4.1 ตารางแสดงปริมาณความร้อนที่ใช้ในการทำให้น้ำเปลี่ยนสถานะในหม้อน้ำชนิดท่อไฟ.....	57
4.2 ตารางเปรียบเทียบผลการทดลองกับค่าจากการคำนวณจากสเปรทซีทตรวจสอบสมรรถนะหม้อน้ำท่อไฟ.....	57
4.3 ปริมาณความร้อนที่คำนวณจากสเปรทซีทในแต่ละส่วนของหม้อน้ำชนิดท่อไฟ.....	58
4.4 ตารางจำแนกความแตกต่างระหว่างสมมติฐานที่ตั้งขึ้น กับปรากฏการณ์จริงในหม้อน้ำชนิดท่อไฟ.....	58
4.5 ค่าการถ่ายเทความร้อนในแต่ละเทอมของสมการสัมประสิทธิ์การถ่ายเทความร้อนรวมจากหม้อน้ำส่วนท่อไฟใหญ่.....	59
4.6 ผลการทดสอบการเพิ่มค่าของสัมประสิทธิ์การถ่ายเทความร้อนในท่อไฟใหญ่ในแต่ละเทอม 2 เท่า โดยแสดงผลการเพิ่มของค่าสัมประสิทธิ์การถ่ายเทความร้อนรวมเป็น %.....	60
4.7 ค่าการถ่ายเทความร้อนในแต่ละเทอมของสมการสัมประสิทธิ์การถ่ายเทความร้อนรวมจากหม้อน้ำส่วนท่อไฟเล็กกลับที่ 1.....	61

สารบัญตาราง(ต่อ)

ตารางที่	หน้า
4.8 ค่าการถ่ายเทความร้อนในแต่ละเทอมของสมการสัมประสิทธิ์การถ่ายเทความร้อนรวมจากหม้อน้ำส่วนท่อไฟเล็กกลับที่ 2.....	61
4.9 ผลการทดสอบการเพิ่มค่าของสัมประสิทธิ์การถ่ายเทความร้อนในท่อไฟเล็กกลับที่ 1 ในแต่ละเทอม 2 เท่า โดยแสดงผลการเพิ่มของค่าสัมประสิทธิ์การถ่ายเทความร้อนรวมเป็น %.....	62
4.10 ผลการทดสอบการเพิ่มค่าของสัมประสิทธิ์การถ่ายเทความร้อนในท่อไฟเล็กกลับที่ 2 ในแต่ละเทอม 2 เท่า โดยแสดงผลการเพิ่มของค่าสัมประสิทธิ์การถ่ายเทความร้อนรวมเป็น %.....	62
4.11 ตารางแสดงปริมาณความร้อนที่ใช้ในการทำให้น้ำเปลี่ยนสถานะในหม้อน้ำชนิดลูกผสม.....	63
4.12 ตารางเปรียบเทียบผลการทดลองกับค่าจากการคำนวณจากสเปรทชีทตรวจสอบสมรรถนะหม้อน้ำชนิดลูกผสม.....	63
4.13 ตารางแสดงปริมาณความร้อนที่คำนวณจากสเปรทชีทในแต่ละส่วนของหม้อน้ำชนิดลูกผสม	64
4.14 ตารางจำแนกความแตกต่างระหว่างสมมติฐานที่ตั้งขึ้น กับปรากฏการณ์จริงในหม้อน้ำชนิดลูกผสม.....	64
4.15 ค่าการถ่ายเทความร้อนในแต่ละเทอมของสมการสัมประสิทธิ์การถ่ายเทความร้อนรวมจากหม้อน้ำลูกผสมในส่วนของห้องเผาไหม้ของหม้อน้ำชนิดลูกผสม.....	65
4.16 ผลการทดสอบการเพิ่มค่าของสัมประสิทธิ์การถ่ายเทความร้อนในห้องเผาไหม้ในแต่ละเทอม 2 เท่า โดยแสดงผลการเพิ่มของค่าสัมประสิทธิ์การถ่ายเทความร้อนรวมเป็น %.....	66
4.17 ค่าการถ่ายเทความร้อนในแต่ละเทอมของสมการสัมประสิทธิ์การถ่ายเทความร้อนรวมจากหม้อน้ำส่วนท่อไฟใหญ่.....	67
4.18 ค่าการถ่ายเทความร้อนในแต่ละเทอมของสมการสัมประสิทธิ์การถ่ายเทความร้อนรวมจากหม้อน้ำส่วนท่อไฟเล็กกลับที่ 1.....	67
4.19 ค่าการถ่ายเทความร้อนในแต่ละเทอมของสมการสัมประสิทธิ์การถ่ายเทความร้อนรวมจากหม้อน้ำส่วนท่อไฟเล็กกลับที่ 2.....	67
4.20 ผลการทดสอบการเพิ่มค่าของสัมประสิทธิ์การถ่ายเทความร้อนในท่อไฟใหญ่ในแต่ละเทอม 2 เท่า โดยแสดงผลการเพิ่มของค่าสัมประสิทธิ์การถ่ายเทความร้อนรวมเป็น %.....	68
4.21 ผลการทดสอบการเพิ่มค่าของสัมประสิทธิ์การถ่ายเทความร้อนในท่อไฟเล็กกลับที่ 1 ในแต่ละเทอม 2 เท่า โดยแสดงผลการเพิ่มของค่าสัมประสิทธิ์การถ่ายเทความร้อนรวมเป็น %.....	69
4.22 ผลการทดสอบการเพิ่มค่าของสัมประสิทธิ์การถ่ายเทความร้อนในท่อไฟเล็กกลับที่ 2 ในแต่ละเทอม 2 เท่า โดยแสดงผลการเพิ่มของค่าสัมประสิทธิ์การถ่ายเทความร้อนรวมเป็น %.....	69
4.23 อิทธิพลของตัวแปรในการออกแบบหม้อน้ำชนิดท่อไฟ.....	70

สารบัญรูป

รูปที่	หน้า
2.1 สเปรทซีทสำเร็จสำหรับคำนวณคุณสมบัติของหม้อน้ำ AB&CO TT boilers.....	4
2.2 สเปรทซีทสำเร็จสำหรับตรวจสอบปริมาณการใช้เชื้อเพลิงในหม้อน้ำ.....	5
2.3 สเปรทซีทสำเร็จสำหรับคำนวณหา properties ของไอน้ำ.....	6
2.4 สเปรทซีทสำเร็จสำหรับคำนวณหา Properties ของน้ำที่สถานะอิ่มตัว.....	6
2.5 หม้อน้ำชนิดท่อไฟ.....	8
2.6 หัวเผาเชื้อเพลิงแข็งติดตั้งไว้ที่ทางเข้าของท่อไฟใหญ่.....	8
2.7 หม้อน้ำชนิดท่อไฟ.....	9
2.8 หม้อน้ำชนิดท่อไฟแบบไม่มีกลับ.....	9
2.9 หม้อน้ำชนิดท่อไฟแบบ 1 กลับ.....	9
2.10 หม้อน้ำชนิดท่อไฟแบบ 2.....	10
2.11 หม้อน้ำชนิดท่อน้ำ.....	11
2.12 หม้อน้ำชนิดท่อน้ำ.....	11
2.13 หม้อน้ำชนิดลูกผสม.....	12
2.14 Thermal resistance diagram ของการถ่ายเทความร้อนจากท่อไฟใหญ่.....	12
2.15 Thermal resistance diagram ของการถ่ายเทความร้อนจากท่อไฟเล็ก.....	13
2.16 พื้นที่รับรังสีความร้อนในห้องเผาไหม้ เป็นพื้นที่สี่เหลี่ยมขอบรวมมุม 90 องศา.....	15
2.17 พื้นที่รับรังสีความร้อนในห้องเผาไหม้เป็นพื้นที่สี่เหลี่ยมที่มีขนาดเท่ากันตั้งตรงข้ามกันในแนวตรง.....	15
2.18 ภาพแสดงที่มาของการคำนวณหาอุณหภูมิอะเดียแบติก.....	19
3.1 ขั้นตอนการดำเนินการวิจัย.....	20
3.2 ภายนอกหม้อน้ำชนิดท่อน้ำ.....	21
3.3 ตรีမ်และท่อที่เรียงในห้องเผาไหม้ของหม้อน้ำ และช่องลำเลียงเชื้อเพลิง.....	22

สารบัญรูป(ต่อ)

รูปที่	หน้า
3.4 ทางออกของไอเสียของหม้อน้ำ.....	22
3.5 เขียนแบบโครงสร้างภายในห้องเผาไหม้ด้วยสเปรทซีทสำหรับการออกแบบ.....	23
3.6 การวัดเส้นผ่านศูนย์กลางในท่อไฟใหญ่.....	24
3.7 เขียนแบบโครงสร้างหม้อน้ำชนิดท่อไฟด้วยสเปรทซีทสำหรับการออกแบบ.....	25
3.8 ห้องเผาไหม้ของหม้อน้ำชนิดลูกผสม.....	28
3.9 เขียนแบบโครงสร้างหม้อน้ำชนิดลูกผสมด้วยสเปรทซีทสำหรับการออกแบบ.....	28
3.10 เขียนแบบห้องเผาไหม้ของหม้อน้ำชนิดลูกผสมด้วยสเปรทซีทสำหรับการออกแบบ.....	29
3.11 สเปรทซีทคำนวณคุณสมบัติของก๊าซไอเสีย.....	32
3.12 สเปรทซีทคำนวณประสิทธิภาพหม้อน้ำ.....	33
3.13 สเปรทซีทคำนวณคุณสมบัติทางความร้อนของน้ำ.....	34
3.14 กระบวนการคำนวณค่า Partial pressure.....	35
3.15 กระบวนการคำนวณค่า mean beam length.....	36
3.16 สเปรทซีทคำนวณค่าสัมประสิทธิ์การแผ่รังสีความร้อนของก๊าซไอเสีย.....	37
3.17 สเปรทซีทคำนวณสัมประสิทธิ์การถ่ายเทความร้อนของการแผ่รังสีความร้อนในท่อไฟใหญ่.....	38
3.18 ภาพรวมของสเปรทซีทคำนวณสมรรถนะทางความร้อนหม้อน้ำชนิดท่อไฟ.....	39
3.19 สเปรทซีทคำนวณอุณหภูมิไอเสียที่ทางเข้าหม้อน้ำ และอุณหภูมิเปลวไฟอะเดียแบติก.....	42
3.20 แสดงบริเวณการคำนวณการถ่ายเทความร้อนในท่อไฟใหญ่ตามผังงานรูปที่ 3.21.....	43
3.21 สเปรทซีทคำนวณการถ่ายเทความร้อนในท่อไฟใหญ่.....	44
3.22 แสดงบริเวณการคำนวณการถ่ายเทความร้อนในท่อไฟใหญ่ตามผังงานรูปที่ 3.23 และ 3.24.....	45

สารบัญรูป(ต่อ)

รูปที่	หน้า
3.23 สเปรทซ์หาคำนวณการถ่ายเทความร้อนในท่อไฟเล็กกลับที่หนึ่ง.....	46
3.24 สเปรทซ์หาคำนวณการถ่ายเทความร้อนในท่อไฟเล็กกลับที่สอง.....	47
3.25 ภาพรวมสเปรทซ์หาคำนวณพื้นที่การถ่ายเทความร้อนหม้อน้ำชนิดท่อไฟ.....	48
3.26 สเปรทซ์หาคำนวณความยาวท่อไฟใหญ่ที่จำเป็นเพื่อคำนวณพื้นที่การถ่ายเทความร้อน.....	50
3.27 สเปรทซ์หาคำนวณจำนวนท่อที่ใช้ในสเปรทซ์หาคำนวณพื้นที่การถ่ายเทความร้อน.....	51
3.28 สเปรทซ์หาคำนวณพื้นที่การถ่ายเทความร้อนของหม้อน้ำชนิดท่อไฟ.....	52
3.29 ภาพรวมสเปรทซ์ตรวจสอบสมรรถนะทางความร้อนหม้อน้ำชนิดลูกผสม.....	53
3.30 พื้นที่รับรังสีความร้อนในห้องเผาไหม้ของหม้อน้ำชนิดลูกผสม (พื้นที่ A-E)	54
3.31 สเปรทซ์หาคำนวณการถ่ายเทความร้อนในห้องเผาไหม้.....	55
3.32 สเปรทซ์หาคำนวณสัมประสิทธิ์การถ่ายเทความร้อนด้านน้ำ.....	56
3.33 ปริมาณความร้อนที่ต้องการในการทำให้ น้ำเปลี่ยนสถานะจากของเหลวเป็นไออิ่มตัว.....	57
3.34 ปริมาณความร้อนที่ต้องการในการทำให้ น้ำเปลี่ยนสถานะจากของเหลวเป็นไออิ่มตัว.....	57

รายการคำย่อและสัญลักษณ์

Roman symbols

$(\% \frac{m}{m})_{dry}$	เปอร์เซ็นต์โดยมวลปราศจากความชื้น (%)
$(\% \frac{m}{m})_{ash}$	เปอร์เซ็นต์โดยมวลของขี้เถ้า (%)
A_s	พื้นที่ผิวรับความร้อน (m^2)
AF_{actual}	อัตราส่วนอากาศ-เชื้อเพลิงจริง
AF_{stoi}	อัตราส่วนอากาศ-เชื้อเพลิงทฤษฎี
C_c	แฟกเตอร์ค่าแก๊สของแก๊สคาร์บอนได้ออกไซด์
C_l	ค่าความจุความร้อนจำเพาะของของเหลว (kJ/kgK)
$\overline{C_p}$	ค่าความจุความร้อนจำเพาะของไอเฉลี่ยเชิงโมล ($kJ/kmoleK$)
$C_{p,avg}$	ค่าความจุความร้อนจำเพาะเฉลี่ยหม้อน้ำ (kJ/kgK)
C_{sf}	ค่าคงที่ความตึงผิวของเหลว
C_w	แฟกเตอร์ค่าแก๊สของไอน้ำ
D_i	เส้นผ่านศูนย์กลางภายใน (m)
D_o	เส้นผ่านศูนย์กลางภายนอก (m)
eff	ประสิทธิภาพหม้อไอน้ำ (%)
F_p	แฟกเตอร์ค่าแก๊สความดันรีดิวิสต์
g	ค่าความเร่งจากแรงโน้มถ่วง (m/s^2)
g_c	ตัวประกอบการแปลง ($kgm/kgfs^2$)
h	สัมประสิทธิ์การถ่ายเทความร้อน (W/m^2K)
h_{boiler}	เอนทาลปีของไอน้ำที่ผลิตได้ (kJ/kg)
h_{fg}	เอนทาลปีของการระเหย (kJ/kg)
h_i	สัมประสิทธิ์การถ่ายเทความร้อนของการพาความร้อนด้านใน (W/m^2K)
h_o	สัมประสิทธิ์การถ่ายเทความร้อนของการพาความร้อนด้านนอก (W/m^2K)
h_{rad}	สัมประสิทธิ์การถ่ายเทความร้อนของ การแผ่รังสี (W/m^2K)
$h_{w,input}$	เอนทาลปีของน้ำป้อนเข้าหม้อไอน้ำ (kJ/kg)
k	ค่าสภาพนำความร้อนของวัสดุ (W/m^2)
LHV	ค่าความร้อนต่ำของเชื้อเพลิง (kJ/kg)
$m_{h,perkgfuel}$	องค์ประกอบธาตุไฮโดรเจนในหน่วยกิโลกรัม เชื้อเพลิง (kg_{fuel})
$m_{perkgfuel}$	องค์ประกอบธาตุในหน่วยกิโลกรัม เชื้อเพลิง (kg_{fuel})
$m_{o,perkgfuel}$	องค์ประกอบธาตุออกซิเจนในหน่วยกิโลกรัม เชื้อเพลิง (kg_{fuel})
$\dot{m}_{fluegas}$	อัตราการไหลของแก๊สไอเสีย (kg/s)
\dot{m}_{fuel}	อัตราการป้อนเชื้อเพลิง (kg/s)

รายการคำย่อและสัญลักษณ์(ต่อ)

Nu	ตัวเลขนซ์เชิลท์
P	ความดัน (kPa)
p_{cr}	ความดันวิกฤติ (kPa)
P_r	ความดันรีติวส์ (kPa)
Pr_f	ตัวเลขพรันด์เทิลของของเหลว
Q	ปริมาณพลังงานที่ต้องใช้ในการต้มน้ำ (kW)
Q_{actual}	ความร้อนจากเชื้อเพลิงที่ให้หม้อไอน้ำ (kW)
$Q_{com-sat.liq}$	ปริมาณพลังงานที่ใช้ในการ ต้มน้ำจาก สถานะของเหลวเป็นของเหลวอิมตัว (kW)
$Q_{sat.liq-sat.vapor}$	ปริมาณพลังงานที่ใช้ในการ ต้มน้ำจาก สถานะของเหลวอิมตัวเป็นไออิมตัว (kW)
q	ฟลักซ์ความร้อนต่อหน่วยพื้นที่ (W/m^2)
Re	ตัวเลขเรโนลด์
R_{cond}	ค่าความต้านทานความร้อนการนำความร้อน (m^2K/W)
$R_{conv,i}$	ค่าความต้านทานความร้อนการพาความร้อนด้านใน (m^2K/W)
$R_{conv,o}$	ค่าความต้านทานความร้อนการพาความร้อนด้านนอก (m^2K/W)
R_{rad}	ค่าความต้านทานความร้อนการแผ่รังสี (m^2K/W)
R_{th}	ค่าความต้านทานทางความร้อน (m^2K/W)
R_{tot}	ค่าความต้านทานความร้อนรวม (m^2K/W)
T	อุณหภูมิ ($^{\circ}C$)
$T_{ambient}$	อุณหภูมิบรรยากาศ ($^{\circ}C$)
T_s	อุณหภูมิผิว ($^{\circ}C$)
T_{surr}	อุณหภูมิสิ่งแวดล้อมโดยรอบ ($^{\circ}C$)
T_x	ส่วนต่างอุณหภูมิของของเหลวกับ อุณหภูมิอิมตัว ($^{\circ}C$)
U	สัมประสิทธิ์การถ่ายเทความร้อนรวม (W/m^2K)
V_{mois}	ปริมาตรของความชื้นในเชื้อเพลิง (%)
x_{fuel}	ปริมาณธาตุใดๆในเชื้อเพลิงเชิงปริมาตร (%)

Greek symbols

ϵ	สัมประสิทธิ์การแผ่รังสี
ϵ_g	สัมประสิทธิ์การแผ่รังสีของแก๊ส
ϵ_c	สัมประสิทธิ์การแผ่รังสีของแก๊ส คาร์บอนไดออกไซด์
ϵ_w	สัมประสิทธิ์การแผ่รังสีของไอน้ำ
σ	ค่าคงที่สเตฟานส์-โบลท์ซมัน (W/m^2K^4)
$\sigma_{tension}$	ค่าแรงตึงผิวระหว่างของเหลวกับไอ (N/m)

รายการคำย่อและสัญลักษณ์(ต่อ)

μ_l	ค่าความหนืดของของเหลว ($kg/m \cdot s$)
ρ_l	ความหนาแน่นของของเหลวอิ่มตัว (kg/m^3)
ρ_v	ความหนาแน่นของไออิ่มตัว (kg/m^3)

บทที่ 1

บทนำ

1.1 ความเป็นมาและความสำคัญของปัญหา

การออกแบบ และตรวจสอบหม้อน้ำสำหรับใช้ในอุตสาหกรรม จำเป็นต้องตรวจสอบทั้งทางทฤษฎี และการทดสอบจริง โดยสเปรทซีที่คำนวณพื้นที่การถ่ายเทความร้อนของหม้อน้ำ ถูกพัฒนาเพื่อการตรวจสอบสมรรถนะ และออกแบบหม้อน้ำ โดยใช้หลักวิศวกรรมของการถ่ายเทความร้อน การวิเคราะห์การเผาไหม้ของเชื้อเพลิง การวิเคราะห์ไอเสีย และทฤษฎีอุณหพลศาสตร์การเปลี่ยนแปลงสถานะของน้ำ โดยใช้ทฤษฎีดังกล่าวเชื่อมโยงในรูปแบบของสเปรทซี เป็นสูตรคำนวณสำหรับการออกแบบพื้นที่การถ่ายเทความร้อน และตรวจสอบสมรรถนะทางความร้อนของหม้อน้ำ สาเหตุของปัญหาคือการเลือกหม้อน้ำของผู้ประกอบการโดยไม่ทราบถึงสมรรถนะที่เพียงพอต่อการใช้งาน เป็นสาเหตุให้หม้อน้ำที่เลือกใช้มีสมรรถนะไม่ถูกต้องตามที่ผู้ประกอบการต้องการใช้งาน เนื่องจากขาดความรู้ ความเข้าใจในหลักวิศวกรรม สเปรทซีที่ดังกล่าวจึงถูกพัฒนาขึ้นให้ผู้ประกอบการ วิศวกร หรือผู้ควบคุมหม้อน้ำใช้ตรวจสอบ โดยค่าพื้นที่การถ่ายเทความร้อนที่คำนวณได้ จะสัมพันธ์กับการกำหนดพารามิเตอร์ในการออกแบบ เช่น ความยาว เส้นผ่านศูนย์กลางท่อไฟ ใหญ่ เส้นผ่านศูนย์กลางจำนวนท่อไฟเล็ก ชนิดของเชื้อเพลิงที่เลือกใช้ อุณหภูมิน้ำป้อน ปริมาณการผลิตไอน้ำ และความดันไอที่ต้องการ

หลักการที่ใช้สำหรับพัฒนาสเปรทซีนั้นใช้ทฤษฎีการถ่ายเทความร้อนของการนำ การพา และแผ่รังสีความร้อน ทฤษฎีการเผาไหม้ การวิเคราะห์แยกธาตุแบบแห้ง (Dry basis) หลักทางอุณหพลศาสตร์ของน้ำ การถ่ายเทความร้อนของการเดือดแบบฟอง (Nucleate boiling) และการเดือดแบบไหล (Flow boiling) โดยพัฒนาสเปรทซีที่คำนวณสำหรับหม้อน้ำ 2 ชนิดคือ หม้อน้ำชนิดท่อไฟ (Fire-tube boiler) และหม้อน้ำชนิดลูกผสม (Hybrid boiler) โดยแบ่งส่วนการคำนวณในหม้อน้ำชนิดท่อไฟออกเป็น 3 ส่วน คือ ท่อไฟใหญ่ ท่อไฟเล็กกลับแรก และท่อไฟเล็กกลับที่สอง สำหรับหม้อน้ำชนิดลูกผสม แบ่งส่วนการคำนวณออกเป็น 4 ส่วนคือ ห้องเผาไหม้ ท่อไฟใหญ่ ท่อไฟเล็กกลับแรก ท่อไฟเล็กกลับที่สอง โดยสเปรทซีจะคำนวณค่าสัมประสิทธิ์การถ่ายเทความร้อนรวมของแต่ละส่วนของหม้อน้ำ สัมประสิทธิ์การถ่ายเทความร้อนรวมจะถูกใช้คำนวณใน 2 แนวทางด้วยกันคือ 1. ออกแบบพื้นที่การถ่ายเทความร้อน 2. ตรวจสอบสมรรถนะทางความร้อนของหม้อน้ำ โดยในแนวทางแรกถูกพัฒนาสำหรับใช้ในเฉพาะหม้อน้ำชนิดท่อไฟ สำหรับแนวทางที่สองนั้น ถูกพัฒนาสำหรับใช้ในหม้อน้ำทั้งสองชนิด รวมสเปรทซีที่ถูกพัฒนามีทั้งหมด 3 สเปรทซีด้วยกัน

การคำนวณในสเปรทซีเป็นแบบวนซ้ำ สเปรทซีใช้ผลลัพธ์จากการคำนวณในครั้งแรก กลับไปใช้เป็นตัวแปรต้น เพื่อคำนวณใหม่อีกครั้งเพื่อให้ผลลัพธ์เข้าสู่ค่าตอบ จากนั้นจึงเปรียบเทียบความแม่นยำจากผลลัพธ์จากการคำนวณ เปรียบเทียบกับผลการทดลองเพื่อตรวจสอบความคลาดเคลื่อนของสเปรทซี จากนั้นจึงปรับแก้ให้มีความแม่นยำมากยิ่งขึ้น

1.2 จุดมุ่งหมายและวัตถุประสงค์ของงานวิจัย

- 1.2.1 พัฒนาสเปรทซ์สำหรับคำนวณพื้นที่การถ่ายเทความร้อนในหม้อน้ำชนิดท่อไฟ และหม้อน้ำชนิดลูกผสม
- 1.2.2 ตรวจสอบความน่าเชื่อถือของสเปรทซ์โดยสอบเทียบผลการคำนวณของสเปรทซ์กับหม้อน้ำจริง
- 1.2.3 ตรวจสอบปัจจัยที่มีผลต่อการถ่ายเทความร้อนในหม้อน้ำเพื่อพัฒนาหม้อน้ำให้มีสมรรถนะดีขึ้น

1.3 สมมุติฐานของงานวิจัย

- 1.3.1 อัตราการไหลของน้ำในหม้อน้ำเป็นการไหลแบบคงที่
- 1.3.2 อุณหภูมิสำหรับคำนวณการแผ่รังสีความร้อนในหม้อน้ำชนิดท่อไฟใช้อุณหภูมิเปลวไฟแบบอะเดียแบติก
- 1.3.3 การเดือดของน้ำมีลักษณะเป็นการเดือดแบบแอ่ง (Pool boiling) ในหม้อน้ำชนิดท่อไฟ
- 1.3.4 การเดือดของน้ำมีลักษณะเป็นการเดือดแบบไหล (Flow boiling) ในห้องเผาไหม้หม้อน้ำลูกผสม
- 1.3.5 การไหลของน้ำบริเวณรอบ ท่อไฟใหญ่ในหม้อน้ำชนิดท่อไฟ และลูกผสมนั้น เป็นการไหลแบบบังคับ (Forced convection)
- 1.3.6 อัตราการไหลของก๊าซไอเสียเป็นการไหลแบบคงที่
- 1.3.7 การเผาไหม้เชื้อเพลิงของหม้อน้ำเป็นการเผาไหม้สมบูรณ์
- 1.3.8 พื้นที่การถ่ายเทความร้อนในหม้อน้ำนั้นไม่รวมพื้นที่ใน Reversal chamber และ Economizer ของหม้อน้ำ
- 1.3.9 พื้นที่รับรังสีความร้อนในหม้อน้ำชนิดลูกผสมในส่วนของท่อน้ำในห้องเผาไหม้ เป็นพื้นที่ที่เหลี่ยมขอบร่วมมุม 90 องศา กับพื้นที่สี่เหลี่ยมที่มีขนาดเท่ากันตั้งตรงข้ามกันในแนวตรง

1.4 ขอบเขตของการวิจัย

- 1.4.1 การพัฒนาสเปรทซ์แบ่งเป็น 2 แนวทางคือ พัฒนาเพื่อตรวจสอบสมรรถนะทางความร้อนหม้อน้ำ และพัฒนาเพื่อออกแบบพื้นที่การถ่ายเทความร้อนหม้อน้ำ
- 1.4.2 สเปรทซ์คำนวณพื้นที่การถ่ายเทความร้อนในหม้อน้ำชนิดท่อไฟถูกพัฒนาทั้ง 2 แนวทาง สเปรทซ์สำหรับหม้อน้ำชนิดลูกผสมถูกพัฒนาในแนวทางเพื่อการตรวจสอบสมรรถนะเพียงแนวทางเดียว
- 1.4.3 การทดสอบเทียบสเปรทซ์กับหม้อน้ำ สอบเทียบกับหม้อน้ำที่ใช้เชื้อเพลิงแข็งในการเผาไหม้
- 1.4.4 การคำนวณไม่ครอบคลุมการตรวจสอบความแข็งแรงของหม้อน้ำ

1.5 ขั้นตอนของการศึกษาและพัฒนา

1.5.1 ศึกษาหม้อน้ำในด้านการสร้าง การตรวจสอบ และการใช้งาน จากการเข้ารับการอบรม และจากการตรวจสอบหม้อน้ำในโรงงานอุตสาหกรรมจริง เพื่อศึกษากระบวนการทำงานของหม้อน้ำ อุปกรณ์ในหม้อน้ำ การเผาไหม้ของเชื้อเพลิง (ขั้นตอนระบุอยู่ใน Flow chart บทที่ 3)

1.5.2 ศึกษางานวิจัย และการพัฒนาสเปรทซีทที่มีอยู่ในปัจจุบัน เพื่อนำมาปรับใช้ และเพิ่มเติมฟังก์ชันในส่วนที่ควรเพิ่มเติมในการพัฒนาสเปรทซีท (รายละเอียดระบุในบทที่ 2)

1.5.3 แบ่งหม้อน้ำออกเป็นสัดส่วนเพื่อตั้งสมมติฐานของการถ่ายเทความร้อนในแต่ละช่วง จากนั้นนำมาเชื่อมโยงสมการและความสัมพันธ์ในรูปแบบสเปรทซีท

1.5.2 ตรวจสอบวัด และบันทึกค่าพารามิเตอร์ต่างๆในหม้อน้ำจริงลงในสเปรทซีท เพื่อสอบเทียบหาสมรรถนะของสเปรทซีท

1.5.3 บันทึกค่าความคลาดเคลื่อนจากนั้นปรับแก้สเปรทซีทให้มีความแม่นยำยิ่งขึ้น โดยการปรับสมการ และความสัมพันธ์ต่างๆ แล้วตรวจสอบค่าความคลาดเคลื่อนอีกครั้ง

1.5.4 แก้ไขจนกว่าค่าความคลาดเคลื่อนมีค่าอยู่ในขอบเขตที่สามารถยอมรับได้

1.5.5 วิเคราะห์และสรุปผลการพัฒนาสเปรทซีท

1.6 ประโยชน์ที่คาดว่าจะได้รับ

1.6.1 ผู้ใช้งานสเปรทซีทสามารถใช้สเปรทซีทเพื่อตรวจสอบสมรรถนะ หรือออกแบบพื้นที่การถ่ายเทความร้อนของหม้อน้ำชนิดท่อไฟ และใช้ตรวจสอบสมรรถนะหม้อน้ำชนิดลูกผสมได้

1.6.2 สเปรทซีทคำนวณพื้นที่การถ่ายเทความร้อนถูกใช้เครื่องมือช่วยเหลือสำหรับผู้ออกแบบหม้อน้ำได้อย่างมีประสิทธิภาพ

1.6.3 ผู้ใช้สเปรทซีทสามารถตรวจสอบสมรรถนะหม้อน้ำเทียบกับสเปรทซีทได้ เพื่อตรวจสอบการถ่ายเทความร้อนของหม้อน้ำที่เกิดขึ้นจริงเทียบกับการคำนวณในสเปรทซีทผู้ตรวจสอบอัตราสิ้นเปลืองพลังงาน

บทที่ 2

วรรณกรรมและกรอบแนวความคิด

2.1 วรรณกรรมปริทัศน์

โปรแกรมสำหรับคำนวณพารามิเตอร์ต่างๆของหม้อน้ำ เป็นโปรแกรมที่เปิดให้ทดลองใช้จากบริษัทที่ผลิตหม้อน้ำเพื่อจำหน่าย ซึ่งพารามิเตอร์จากการคำนวณนั้นมีไม่เพียงพอสำหรับวิเคราะห์ข้อมูลต่างๆของหม้อน้ำ แม้โปรแกรมห้ข้อมูลอยู่ในรูปของสเปรทชีทแต่ก็ถูกใส่รหัสผ่านเพื่อป้องกันการแก้ไขสูตร และตรวจสอบการเชื่อมโยงของแต่ละเซลล์ทำให้ผู้ใช้งานไม่สามารถทราบถึงความสัมพันธ์ และสมการที่โปรแกรมดังกล่าวเลือกใช้งานได้ทั้งนี้เพื่อบริษัทจะสามารถจำหน่ายโปรแกรมที่มีความครบถ้วนสมบูรณ์กว่า ซึ่งผู้ประกอบการ หรือบริษัทที่เป็นตัวแทนจำหน่ายหม้อน้ำในประเทศไทยจำเป็นต้องซื้อซอฟต์แวร์ดังกล่าวซึ่งมีราคาแพง ดังนั้นการพัฒนาโปรแกรมคำนวณพื้นที่การถ่ายเทความร้อนในหม้อน้ำจึงพัฒนาเพื่อให้ผู้ประกอบการ วิศวกร และผู้ควบคุมหม้อน้ำ สามารถใช้เพื่อตรวจสอบสมรรถนะของหม้อน้ำ และใช้ออกแบบพื้นที่การถ่ายเทความร้อนของหม้อน้ำได้ จากการค้นคว้าข้อมูลสรุปได้ว่า สเปรทชีท และโปรแกรมจากแต่ละบริษัทมีความเสียเปรียบต่อผู้ใช้งานดังต่อไปนี้

- 1) โปรแกรมไม่สามารถตรวจสอบข้อมูลและแก้ไขได้ ผู้ใช้งานสามารถกรอกค่าตัวแปรต้นเพียงอย่างเดียว ไม่สามารถตรวจสอบสมรรถนะของโปรแกรมห้ข้อมูลได้ ตัวอย่างโปรแกรมดังรูปที่ 2.1

AB&CO · TT BOILERS
Calculation of Boiler Properties

Calculate below the necessary size of your TT Boilers or heaters. This sheet is to be considered as a guidance and is of no obligations / responsibilities of TT BOILERS nor AB&CO Thermal Transfer

FLUID - COLD SIDE 1 = Water (above 90%); 2 = Oil (above 90%)
3 = Air / Flue gas / Nitrogen (above 90%)
4 = Others - State value of Specific Heat
Specific Heat: kJ/(kg°C)
 BTU/(lb°F)

Alternative 1 Heating up a current fluid (during flow through)
Alternative 2 Heating up a stationary fluid in tank during a certain time

CHOOSE ALTERNATIVE 1 = Alternative 1; 2 = Alternative 2

Alternative 1 Heating up a Flow
Mass Flow kg/h = lb/h

Alternative 2 Heating up a Stationary Content
Tank Content kg lb
Heating Time hours

Temperature, Outlet °C = °F
Net Minimum Capacity kW = BTU/h
Add extra 5 - 15% for heat loss depending on the extent of the thermal insulation
Extra Capacity %
Total Necessary Capacity kW = BTU/h

FLUID - HOT SIDE 1 = Saturated Steam; 2 = Electrical
3 = Thermal Fluid Paratherm NF; 4 = Hot Water
5 = Others liquids - State value of Specific Heat
Specific Heat: kJ/(kg°C)
 BTU/(lb°F)

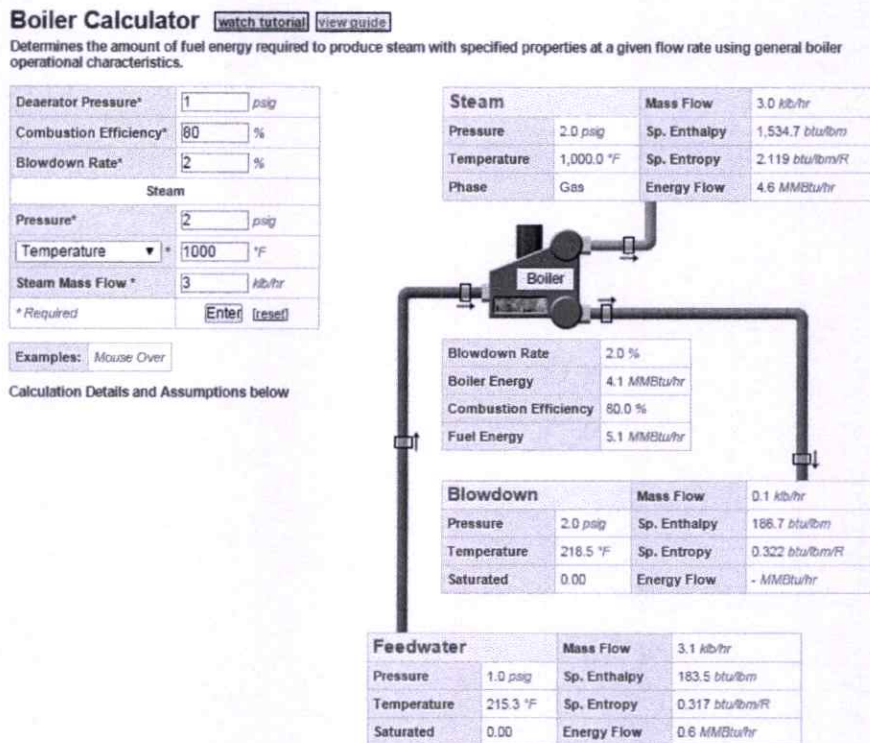
Temperature, Inlet °C = °F
Temperature, Outlet °C = °F
Mass Flow kg/h = lb/h
Voltage 3 x Volts (3-Phase)
Electr. Current Ampere

AB&CO TT BOILERS · P.O. Box 178 · Gydevang · DK-3450 Allerød · Denmark
Tel. +45 4817 7599 · Fax +45 4817 7599 E-mail: ttboilers@abco.dk

Industrial Heaters | Heat Exchangers | High Temperature Heating Systems

รูปที่ 2.1 โปรแกรมสำเร็จสำหรับคำนวณคุณสมบัติของหม้อน้ำ AB&CO TT boilers [1]

- 2) ข้อมูลที่ต้องการไม่เพียงพอ แม้ว่าโปรแกรมจะถูกจัดรูปแบบให้ใช้งานสะดวก แต่โปรแกรมเดิมนั้นไม่ครอบคลุมถึงพารามิเตอร์ที่จำเป็นสำหรับการตรวจสอบการถ่ายเทความร้อน ตัวอย่างโปรแกรมดังรูปที่ 2.2



รูปที่ 2.2 โปรแกรมสำเร็จสำหรับตรวจสอบปริมาณการใช้เชื้อเพลิงในหม้อน้ำ [2]

- 3) หน่วยของพารามิเตอร์ในโปรแกรมแตกต่างกัน หากใช้งานหลายโปรแกรม จะพบว่าแต่ละโปรแกรมใช้หน่วยที่แตกต่างกัน ส่งผลให้การวิเคราะห์จำเป็นต้องเปลี่ยนหน่วยซึ่งอาจก่อให้เกิดความผิดพลาดได้ ดูตัวอย่างจากการเปรียบเทียบรูปที่ 2.1 และ 2.2 จะสังเกตเห็นได้ว่ารูปที่ 2.1 โปรแกรมครอบคลุมทั้งหน่วย SI และ หน่วย อังกฤษ แต่โปรแกรมจากรูปที่ 2.2 ใช้หน่วยอังกฤษเพียงอย่างเดียว หากต้องการคำนวณปริมาณการใช้เชื้อเพลิงจากโปรแกรมที่ 2 ในหน่วย SI นั้นไม่สามารถใช้โปรแกรมดังกล่าวได้ หากใช้ต้องแปลงหน่วยซึ่งก่อให้เกิดข้อผิดพลาด และไม่สะดวกในการใช้งาน
- 4) โปรแกรมแต่ละโปรแกรมคำนวณแต่ละส่วนของหม้อน้ำ การคำนวณในแต่ละส่วนของหม้อน้ำนั้นไม่ได้แบ่งตามชิ้นส่วนของหม้อน้ำเพียงอย่างเดียว ยังแบ่งเป็นส่วนของการวิเคราะห์ทางความร้อนของทั้งการเผาไหม้ ไอเสีย และการเปลี่ยนสถานะของน้ำ ซึ่งโปรแกรมส่วนใหญ่จะแยกส่วนการคำนวณ ทำให้การวิเคราะห์ผลนั้นต้องวิเคราะห์จากโปรแกรมหลายโปรแกรม ดูตัวอย่างได้จากรูปที่ 2.3 และ 2.4 จะเห็นได้ว่า หากผู้ใช้ต้องการคุณสมบัติสถานะอิมตัวของน้ำ และคุณสมบัติต่างๆ ต้องเปิดโปรแกรม 2 ชนิด ซึ่งหากต้องวิเคราะห์ก๊าซก็จำเป็นต้องใช้โปรแกรมอื่น ซึ่งเห็นได้ว่า โปรแกรมที่แยกคำนวณนั้นไม่ครอบคลุมการ

ใช้งาน

Individual Steam Properties Calculator [watch tutorial](#) [view guide](#)

Calculates steam and liquid water properties given two properties using the IAPWS Industrial Formulation 1997.

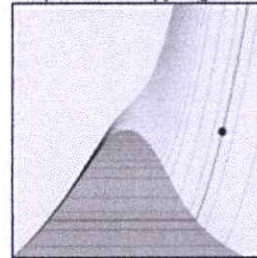
Pressure*	<input type="text" value="5"/> psig
Temperature	<input type="text" value="700"/> °F
* Required	<input type="button" value="Enter"/>

Examples: [Mouse Over](#)

Steam Properties

		Units
Pressure	5.0	psig
Temperature	700.0	°F
Specific Enthalpy	1,383.7	btu/lbm
Specific Entropy	1.985	btu/lbm/R
Phase / Quality	Gas	
Specific Volume	35.000	ft³/lb

Temperature-Entropy Diagram



Recent Properties (max 20) - [\[download\]](#) - [\[clear\]](#)

Pressure	Temperature	Specific Enthalpy	Specific Entropy	Phase / Quality	Specific Volume
psig	°F	btu/lbm	btu/lbm/R		ft³/lb
5.0	700.0	1,383.7	1.985	Gas	35.000

รูปที่ 2.3 โปรแกรมสำเร็จสำหรับคำนวณหา properties ของไอน้ำ [3]

Saturated Properties Calculator [watch tutorial](#) [view guide](#)

Calculates saturated liquid and gas properties for a given pressure or temperature using the IAPWS Industrial Formulation 1997.

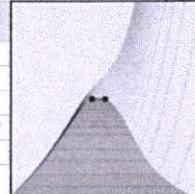
Temperature	<input type="text" value="700"/> °F
* Required	<input type="button" value="Enter"/>

Examples: [Mouse Over](#)

Steam Properties

	Saturated Liquid	Evaporation	Saturated Gas	units
Pressure	3,078.2			psig
Temperature	700.0			°F
Specific Enthalpy	823.6	186.7	1,010.3	btu/lbm
Specific Entropy	0.991	0.161	1.152	btu/lbm/R
Specific Volume	0.037	0.043	0.080	ft³/lb

Temperature-Entropy Diagram



Recent Saturation Properties (max 20) - [\[download\]](#) - [\[clear\]](#)

Pressure	Temperature	Specific Enthalpy			Specific Entropy		Specific Volume			
		Saturated Liquid	Evaporation	Saturated Gas	Saturated Liquid	Evaporation	Saturated Gas	Saturated Liquid	Evaporation	Saturated Gas
psig	°F	btu/lbm			btu/lbm/R		ft³/lb			
3,078.2	700.0	823.6	186.7	1,010.3	0.991	0.161	1.152	0.037	0.043	0.080
5.0	227.1	195.4	960.5	1,155.9	0.335	1.399	1.733	0.017	20.365	20.382

รูปที่ 2.4 โปรแกรมสำเร็จสำหรับคำนวณหา Properties ของน้ำที่สถานะอิ่มตัว [4]

จากข้อเสียเปรียบดังกล่าวจะพบได้ว่าหากผู้ใช้งานมีความจำเป็นต้องวิเคราะห์การถ่ายเทความร้อนในหม้อน้ำ ผู้ใช้งานจำเป็นต้องซื้อโปรแกรมสำเร็จจากบริษัทดังกล่าว หรืออีกทางหนึ่งคือผู้ใช้งานต้อง

สร้างโปรแกรมขึ้นมาเอง โดยการพัฒนาสเปคซิทดังกล่าวนี้เพื่อเป็นตัวต้นแบบสำหรับการวิเคราะห์ การถ่ายเทความร้อน สมรรถนะ หรือการเผาไหม้เชื้อเพลิง จากหม้อน้ำ เพื่อพัฒนาเป็นโปรแกรม สำเร็จต่อไป จากการศึกษางานวิจัยที่ผ่านมาพบว่ามีโปรแกรมที่เกี่ยวข้องกับการวิเคราะห์การถ่ายเท ความร้อนในหม้อน้ำหลายรูปแบบ สำหรับตัวอย่างอ้างอิงของโปรแกรมห้างจะระบุไว้ที่ท้ายเล่มใน ส่วนของเอกสารอ้างอิง

2.2 หลักการทำงานของหม้อน้ำ

2.2.1 หลักการทำงานเบื้องต้นของหม้อน้ำ

หม้อน้ำเป็นอุปกรณ์สำหรับผลิตไอน้ำ เพื่อนำไอน้ำไปใช้ประโยชน์ในโรงงานอุตสาหกรรมด้านต่างๆ โดยสามารถผลิตไอน้ำได้ทั้งปริมาณและความดันที่ต้องการ ดังนั้นหม้อน้ำจึงมีหลายประเภทตามความ เหมาะสมกับการใช้งาน เช่น หม้อน้ำที่ผลิตไอน้ำอ้อมตัว จะใช้ในการถ่ายเทความร้อนในกระบวนการ ผลิต และหม้อน้ำที่ผลิตไอน้ำยังยวด ซึ่งมีอุณหภูมิและความดันสูงจะใช้สำหรับเป็นต้นกำลัง เช่น ขับ เครื่องกังหันไอน้ำเพื่อการผลิตกระแสไฟฟ้า เป็นต้น

2.2.2 โครงสร้างทั่วไปของหม้อน้ำ

หม้อน้ำจะต้องประกอบด้วยส่วนประกอบสำคัญดังต่อไปนี้

- 1) เตาหรือห้องเผาไหม้ เป็นส่วนสำหรับให้เชื้อเพลิงเกิดการเผาไหม้หรือสันดาปกับอากาศ
- 2) ส่วนที่เก็บน้ำ เป็นส่วนที่เก็บน้ำไว้ภายในหม้อน้ำ
- 3) ส่วนที่เก็บไอน้ำ คือ ส่วนที่สะสมไอน้ำที่เกิดจากการผลิตไอน้ำ

การออกแบบหม้อน้ำโดยทั่วไปจะต้องคำนึงถึงรายละเอียดโครงสร้าง และส่วนประกอบต่างๆ เพื่อให้โครงสร้างมีความแข็งแรง สามารถใช้งานอย่างมีประสิทธิภาพ และมีความปลอดภัย ซึ่งต้องมีการออกแบบให้ สามารถรับความเค้นจากความดันไอน้ำ และอุณหภูมิขณะทำงานได้

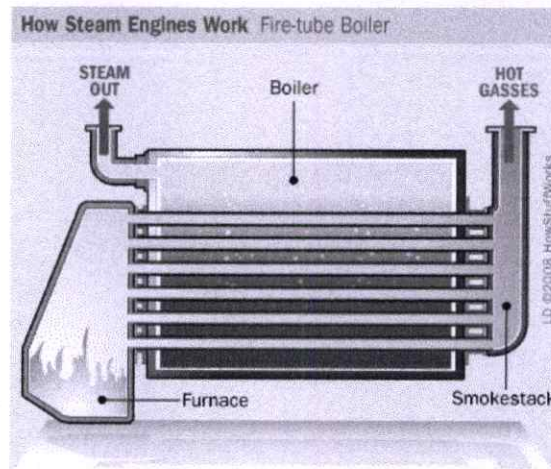
2.2.3 ประเภทของหม้อน้ำ

หม้อน้ำสามารถแบ่งออกได้เป็น 3 ประเภท ตามลักษณะโครงสร้างคือ หม้อน้ำชนิดท่อไฟ หม้อน้ำชนิดท่อน้ำ และหม้อน้ำชนิดอื่นๆ ซึ่งไม่สามารถจัดอยู่ในหม้อน้ำสองประเภทแรกได้ ซึ่ง รายละเอียดของหม้อน้ำแต่ละประเภทมีดังต่อไปนี้

2.2.3.1 หม้อน้ำชนิดท่อไฟ

หม้อน้ำชนิดท่อไฟ (Fire tube boiler) เป็นหม้อน้ำที่มีท่อไฟที่ก๊าซร้อนไหลผ่านอยู่ในท่อ และมีน้ำที่รับความร้อนเพื่อกลายเป็นไอน้ำอยู่ภายนอกท่อ ดังรูปที่ 2.5 หม้อน้ำชนิดท่อไฟมี องค์ประกอบดังต่อไปนี้

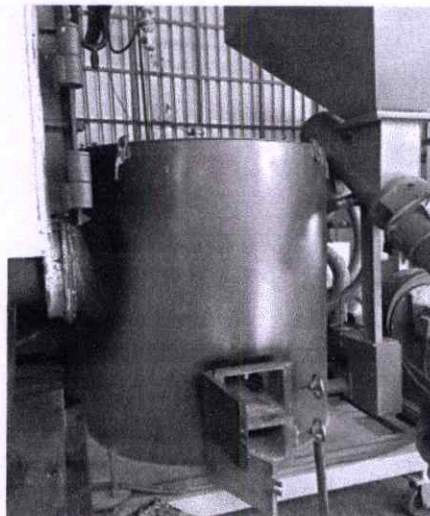
- 1) เปลือกหม้อน้ำ (Boiler shell) คือเปลือกเหล็กของหม้อน้ำภายในบรรจุน้ำและไอน้ำที่มีความดัน จึงต้องได้รับการออกแบบ และสร้างอย่างแข็งแรง แต่ไม่ได้หมายรวมถึงอิฐ หรือ ฉนวนความร้อนที่หุ้มหม้อน้ำ เปลือกหม้อน้ำมีทั้งที่ทำด้วยเหล็กกล้าและเหล็กหล่อ แต่ที่ทำ ด้วยเหล็กหล่อจะเป็นหม้อน้ำขนาดเล็ก ส่วนหม้อน้ำขนาดใหญ่จะทำด้วยแผ่นเหล็กกล้า [5]
- 2) ผนังหน้าและผนังหลังหม้อน้ำ (End plate or tube sheet) คือ ส่วนที่ปิดหัวปิดท้ายของ เปลือกหม้อน้ำ ผนังหม้อน้ำมีทั้งแบบแผ่นเหล็กเรียบ แบบขึ้นรูปเป็นแผ่นโค้ง และแบบขอบ โค้ง ผนังหม้อน้ำแบบแผ่นโค้งสามารถรับความดันไอน้ำได้ดี



รูปที่ 2.5 หม้อน้ำชนิดท่อไฟ [6]

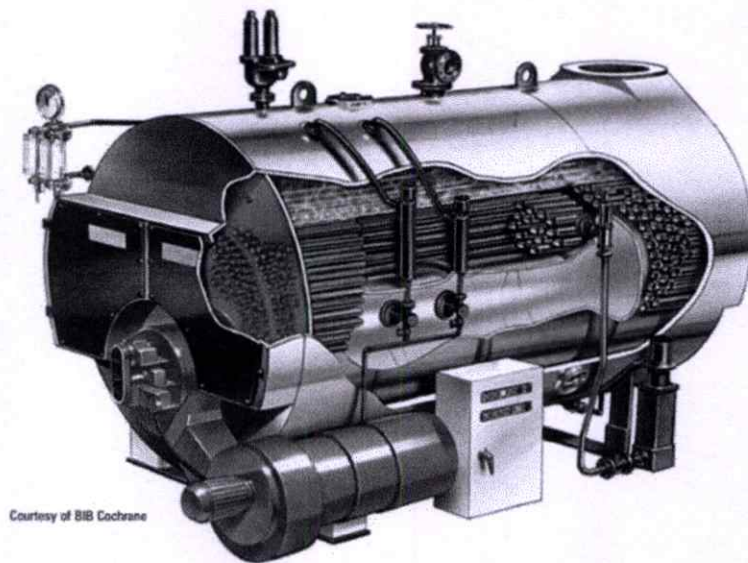
3) เหล็กยึดโยง (Stay) ทำหน้าที่เสริมความแข็งแรงของผนังหม้อน้ำ โดยการดึงผนังหม้อน้ำเอาไว้ อาจจะดึงผนังไว้กับเปลือกหม้อน้ำ หรือดึงระหว่างผนังหน้ากับผนังหลังหม้อน้ำเอาไว้ด้วยกัน มีทั้งแบบ เหล็กแท่งกลม (Stay Rod) แบบหูช้าง (Gusset stay) หรือเป็นท่อกลวง (Stay tube) เพื่อถ่ายเทความร้อนด้วย

4) ท่อไฟใหญ่หรือลูกหมู (Furnace) คือท่อนำก๊าซร้อนที่มีเส้นผ่าศูนย์กลางขนาดใหญ่มักจะเป็นห้องเผาไหม้ของหม้อน้ำเชื้อเพลิงเหลวหรือก๊าซ มีทั้งแบบขึ้นรูปเป็นลอนที่แข็งแรงและถ่ายเทความร้อนได้ มากกว่าแบบท่อไฟเรียบ ที่ต้องมีความหนามากกว่าและต้องมีวงแหวนเสริมความแข็งแรง (Reinforce ring) ภายนอก อาจมีการปรับแต่งให้ท่อไฟใหญ่ใช้เชื้อเพลิงแข็งได้โดยการติดตั้งหัวเผาเชื้อเพลิงแข็งไว้ทางด้านทางเข้าของท่อไฟใหญ่ ดูตัวอย่างรูปที่ 2.6

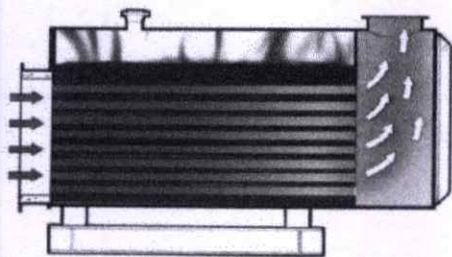


รูปที่ 2.6 หัวเผาเชื้อเพลิงแข็งติดตั้งไว้ที่ทางเข้าของท่อไฟใหญ่(อนุเคราะห์ภาพโดยบริษัท แอลวาย อินดัสตรี จำกัด)

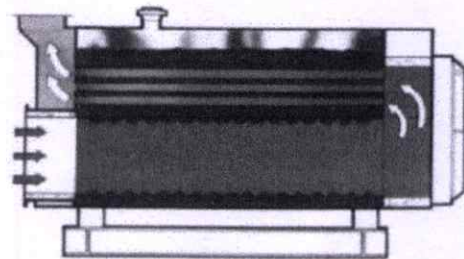
5) ท่อไฟเล็กท่อไฟเล็ก (Fire tube) คือท่อขนาดเล็กที่ให้ก๊าซร้อนไหลผ่านภายในท่อ สำหรับถ่ายเทความร้อนให้กับน้ำที่อยู่ภายนอกท่อ หม้อน้ำทั่วไปมีการออกแบบท่อไฟเล็กในหม้อน้ำให้ก๊าซร้อนมีทิศทางการไหลกลับไปกลับมาอยู่ภายในหม้อน้ำ เพื่อเพิ่มระยะทางในการแลกเปลี่ยนความร้อน ส่งผลให้ประสิทธิภาพการถ่ายเทความร้อนสูงของหม้อน้ำสูงขึ้นตามไปด้วย เรียกจำนวนครั้งในการไหลกลับไปกลับมาของก๊าซร้อนในท่อไฟทั้งหมดภายในหม้อน้ำว่า จำนวนกลับ นอกจากนี้ตรงบริเวณหัวและท้ายหม้อน้ำซึ่งเป็นส่วนที่ไฟมีการกลับทิศทางการไหล จะเรียกบริเวณนี้ว่า ห้องไฟกลับ หากห้องไฟกลับนั้นมีน้ำล้อมรอบภายนอก จะเรียกว่า แบบหลังเปียก (Wet back) ในทางกลับกัน หากห้องไฟกลับไม่มีน้ำล้อมรอบ หรือเป็นแบบห้องที่ก่อด้วยอิฐทนไฟยื่นออกไปนอกตัวหม้อน้ำ จะเรียกว่า แบบหลังแห้ง (Dry back) ดูตัวอย่างชนิดท่อไฟเล็กได้ดังรูปที่ 2.7 – 2.10



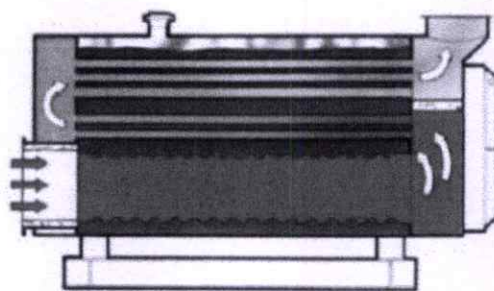
รูปที่ 2.7 หม้อน้ำชนิดท่อไฟ [7]



รูปที่ 2.8 หม้อน้ำชนิดท่อไฟแบบไม่มีกลับ [7]



รูปที่ 2.9 หม้อน้ำชนิดท่อไฟแบบ 1 กลับ [7]



รูปที่ 2.10 หม้อน้ำชนิดท่อไฟแบบ 2 กลับ [7]

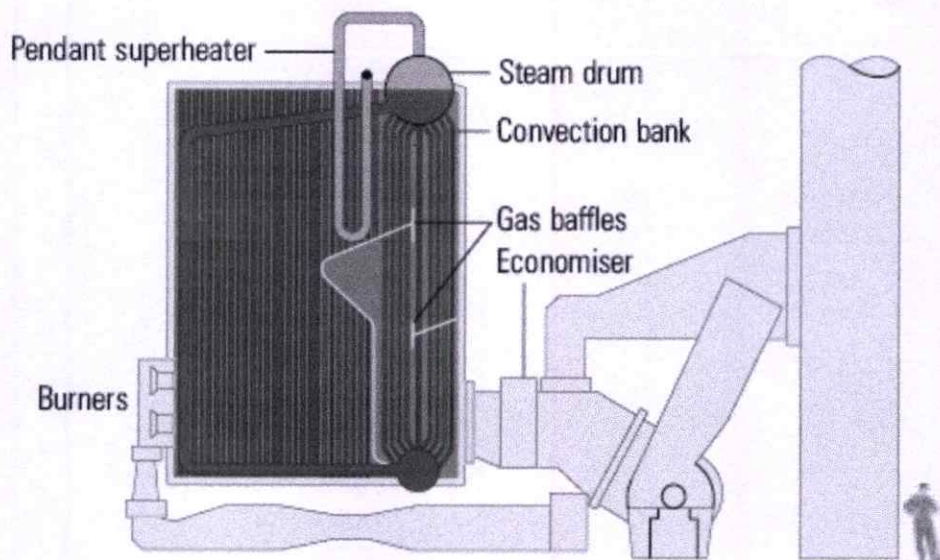
2.2.3.2 หม้อน้ำชนิดท่อไฟ

หม้อน้ำแบบท่อไฟ (Water tube boiler) เป็นหม้อน้ำที่มีน้ำอยู่ภายในท่อ รับความร้อนจาก ก๊าซร้อนที่ไหลผ่านอยู่ภายนอกท่อเพื่อระเหยกลายเป็นไอน้ำ โครงสร้างหลักของหม้อน้ำแบบท่อไฟ ดังแสดงในรูปที่ 2.11 และ 2.12 ประกอบด้วย 3 ส่วนดังนี้

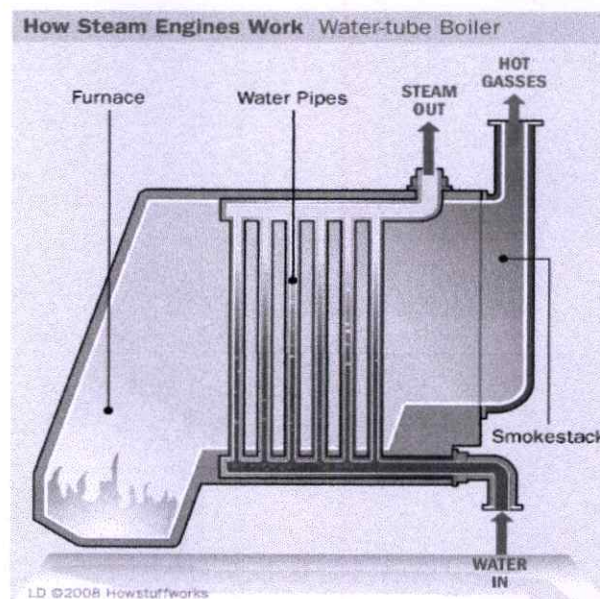
(1) ถังไอ (Steam drum or Upper drum) เป็นโครงสร้างเหล็กทรงกระบอกที่อยู่ด้านบนของ หม้อน้ำแบบท่อไฟ เป็นที่เกิดหรือแยกตัวของไอน้ำที่ระเหยขึ้นมาจากผิวหน้า โดยปรกติระดับน้ำจะอยู่ ประมาณระดับครึ่งหนึ่งของถังไอน้ำ ส่วนด้านล่างของถังไอจะเป็นส่วนที่ท่อน้ำจำนวนมากเข้ามาต่อชน เพื่อให้ น้ำในท่อน้ำที่ได้รับการถ่ายเทความร้อนเวียนขึ้นมาแยกตัวเป็นไอน้ำ หม้อน้ำแบบท่อไฟที่ดีจะมี Steam separator หรือ Steam purifier อยู่ในถังไอด้านบน เพื่อแยกน้ำและสิ่งสกปรกออกจากไอน้ำ เพื่อให้ไอน้ำแห้งและสะอาดขึ้น

(2) ถังโคลน (Mud drum or Lower drum) เป็นโครงสร้างเหล็กทรงกระบอกที่อยู่ด้านล่างของ หม้อน้ำแบบท่อไฟ มักจะมีขนาดเล็กกว่าถังไอ ถังโคลนทำหน้าที่คล้ายท่อร่วม (Header) ของท่อไฟ โดยส่วนด้านบนของถังโคลนจะเป็นส่วนที่ท่อน้ำจำนวนมากจากด้านบนเข้ามาต่อชน ในขณะที่ผลิตไอน้ำจะมีการหมุนเวียนของน้ำในท่อมาก ตะกอนหนักจะตกลงสะสมที่ถังโคลนนี้ส่วนตะกอนเบาจะถูก หมุนเวียนไปตามธรรมชาติของความแตกต่างกันของอุณหภูมิ น้ำ ดังนั้นน้ำที่ป้อนเข้าหม้อน้ำจะต้องมี ความสะอาดมาก เพราะสิ่งสกปรกที่เป็นของแข็ง เช่น ทราย สนิม ซีซีเอ็ม โลหะ ฯลฯ จะขัดสีภายใน ท่อไฟ เพราะการหมุนเวียนของน้ำในท่อ จนทำให้ท่อน้ำบางลงจนแตกได้

(3) ท่อน้ำ (Water tube) คือท่อที่ให้ น้ำไหลผ่านภายในท่อ โดยรับความร้อนจากก๊าซร้อน ภายนอกท่อถ่ายเทให้กับน้ำที่อยู่ภายในท่อ ท่อน้ำเป็นส่วนที่รับความร้อนส่วนใหญ่จากก๊าซร้อนจาก การเผาไหม้



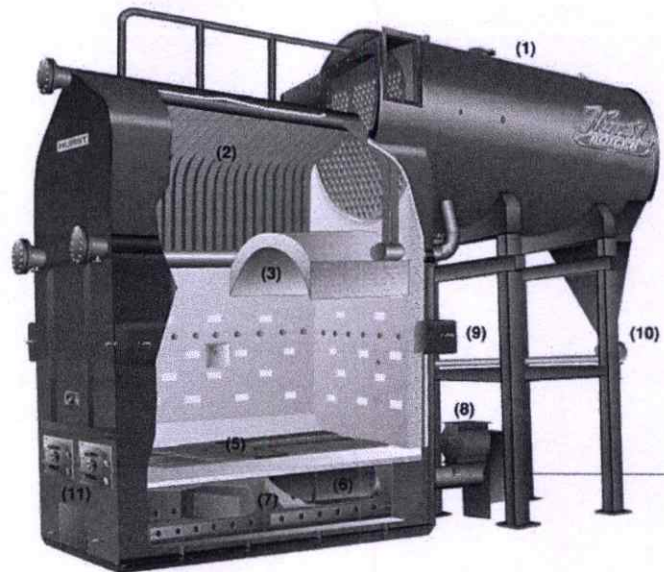
รูปที่ 2.11 หม้อน้ำชนิดท่อน้ำ [8]



รูปที่ 2.12 หม้อน้ำชนิดท่อน้ำ [9]

2.2.3.3 หม้อน้ำชนิดลูกผสม

หม้อน้ำชนิดดังกล่าวเป็นหม้อน้ำที่ถูกผสมระหว่างหม้อน้ำชนิดท่อไฟกับหม้อน้ำชนิดท่อน้ำ โดยมีลักษณะดังรูปที่ 2.13



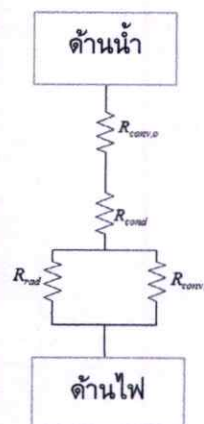
รูปที่ 2.13 หม้อน้ำชนิดลูกผสม [10]

โดยความพิเศษของหม้อน้ำชนิดดังกล่าวคือมีการเพิ่มพื้นที่การถ่ายเทความร้อนโดยติดตั้งห้องเผาไหม้ ซึ่งมีท่อน้ำอยู่รอบๆ ทำให้สามารถผลิตไอน้ำได้เพิ่มขึ้น อีกทั้งการบำรุงรักษาง่ายกว่าเนื่องจากซี่ไถ่ส่วนใหญ่จะตกค้างอยู่ในห้องเผาไหม้ เมื่อทำความสะอาดสามารถกวาดออกมาได้ง่าย

2.3 ทฤษฎีการถ่ายเทความร้อน

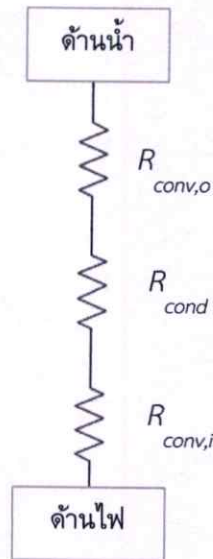
2.3.1 การคำนวณค่าสัมประสิทธิ์การถ่ายเทความร้อนรวม

ทฤษฎีการนำ การพา และแผ่รังสีความร้อนเพื่อหาค่าสัมประสิทธิ์การถ่ายเทความร้อนรวม ความต้านทานความร้อนของการแผ่รังสีจะถูกรวมกับการพาความร้อน เป็นสมมติฐานในห้องเผาไหม้ หรือท่อไฟใหญ่สำหรับหม้อน้ำชนิดท่อไฟซึ่งมี Thermal resistance ดังรูปที่ 2.14



รูปที่ 2.14 Thermal resistance diagram ของการถ่ายเทความร้อนจากท่อไฟใหญ่

สำหรับในท่อไฟเล็กตั้งสมมติฐานให้มีการถ่ายเทความร้อนแบบพาความร้อน และนำความร้อนเท่านั้น ส่งผลให้ Thermal resistance เป็นลักษณะดังรูปที่ 2.15



รูปที่ 2.15 Thermal resistance diagram ของการถ่ายเทความร้อนจากท่อไฟเล็ก

จากรูปที่ 2.14 สามารถนำผลรวม R_{th} มารวมกันได้ ตัวแปร U คือ สัมประสิทธิ์การถ่ายเทความร้อนรวม โดย หาได้จากสมการดังต่อไปนี้

$$\frac{1}{UA_s} = R_{tot} = \frac{1}{\frac{1}{R_{rad}} + \frac{1}{R_{conv,o}}} + R_{cond} + R_{conv,i} \quad (2.1)$$

$$R_{rad} = \frac{1}{h_{rad}A_s} \quad (2.2)$$

เมื่อนำ R_{rad} แทนค่าลงในสมการที่ (2.1)

$$\frac{1}{U_o\pi D_o} = \frac{\frac{1}{h_o h_{rad}}}{\left(\frac{1}{h_o} + \frac{1}{h_{rad}}\right)\pi D_o} + \frac{\ln \frac{D_o}{D_i}}{2\pi k} + \frac{1}{h_i\pi D_i} \quad (2.3)$$

สำหรับกรณีของรูปที่ 2.15 จะได้สมการ U ดังต่อไปนี้

$$\frac{1}{U\pi D} = \frac{1}{h_i\pi D_i} + \frac{\ln \frac{D_o}{D_i}}{2\pi k} + \frac{1}{h_o\pi D_o} \quad (2.4)$$

2.3.2 การคำนวณการถ่ายเทความร้อนแบบแผ่รังสี

สำหรับสมการสำหรับหาค่าสัมประสิทธิ์การถ่ายเทความร้อนรวม ซึ่งจะนำไปคำนวณพื้นที่การถ่ายเทความร้อน โดยจากการคำนวณพบว่าตัวแปรที่มีผลต่อค่า สัมประสิทธิ์การถ่ายเทความร้อนรวม คือ h หรือ สัมประสิทธิ์การถ่ายเทความร้อน ค่าสัมประสิทธิ์การถ่ายเทความร้อนที่ถูกใช้ในสเปรทซีมีทั้งหมด 5 ชนิด คือ สัมประสิทธิ์การถ่ายเทความร้อนแบบพาความร้อนทางด้านไฟ สัมประสิทธิ์การถ่ายเทความร้อนแบบพาความร้อนทางด้านน้ำ โดยหาจากความสัมพันธ์ของการพาความร้อนกับการไหลของของไหลในรูปของตัวเลขชั้นเซลท์ สัมประสิทธิ์การถ่ายเทความร้อนของการเดือดแบบฟองแอ่ง (Nucleate pool boiling) สัมประสิทธิ์การถ่ายเทความร้อนของน้ำสองสถานะในท่อน้ำที่มีการไหล (Nucleate flow boiling) และสัมประสิทธิ์การถ่ายเทความร้อนแบบการแผ่รังสี [11] โดยจะเริ่มบรรยายในส่วนของการแผ่รังสีก่อนดังสมการที่ (2.5)

$$h_{rad} = \epsilon \sigma (T_s^2 - T_{surr}^2)(T_s - T_{surr}) \quad (2.5)$$

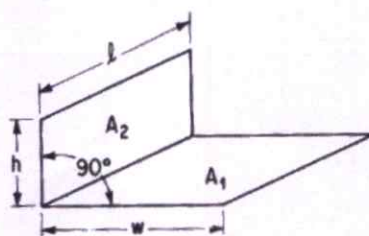
ค่าสัมประสิทธิ์การแผ่รังสีของแก๊สไอเสียหาจาก วิธีการถดถอยหลายเชิงแบบกำลังสองน้อยที่สุดโดยใช้พหุนาม (Least Squares Regression by Polynomials) [12] สำหรับสร้างเส้นแนวโน้มจากกราฟความแตกต่างสัมประสิทธิ์การแผ่รังสีความร้อน (Delta epsilon) โดยระเบียบวิธีเชิงตัวเลขดังกล่าวถูกใช้เพื่อคำนวณหาสัมประสิทธิ์การแผ่รังสีความร้อนของแก๊สไอเสีย [13] ตามสมการที่ (2.6)

$$\epsilon_g = C_c \epsilon_{c,lam} + C_w \epsilon_{w,lam} - \Delta \epsilon \quad (2.6)$$

สำหรับการถ่ายเทความร้อนในหม้อน้ำชนิดลูกผสมจะมีการแผ่รังสีความร้อนไปยังท่อน้ำที่ติดตั้งอยู่ภายในห้องเผาไหม้รอบกำแพง จำเป็นต้องใช้การวิเคราะห์ View factor เนื่องจากสมมติฐานการคำนวณแตกต่างจากในท่อไฟใหญ่ซึ่งการแผ่รังสีในท่อไฟใหญ่มีพื้นผิวรับรังสีเพียงพื้นผิวเดียว โดยสมการที่ใช้วิเคราะห์ view factor [14] มี สองสมการคือ

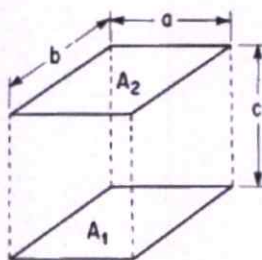
$$F_{1-2} = \frac{1}{W\pi} \left(W \tan^{-1} \frac{1}{W} + H \tan^{-1} \frac{1}{H} - \sqrt{H^2 + W^2} \tan^{-1} \frac{1}{\sqrt{H^2 + W^2}} \right) + \frac{1}{4} \ln \left\{ \frac{(1+W^2)(1+H^2)}{1+W^2+H^2} \left[\frac{W^2(1+W^2+H^2)}{(1+W^2)(W^2+H^2)} \right]^{W^2} \left[\frac{H^2(1+H^2+W^2)}{(1+H^2)(H^2+W^2)} \right]^{H^2} \right\} \quad (2.7)$$

สำหรับวิเคราะห์การแผ่รังสีของพื้นที่ตั้งฉากกันสองพื้นที่ และสมการสำหรับวิเคราะห์ view factor ของการแผ่รังสีสำหรับพื้นที่สองพื้นที่ที่ขนานกัน



รูปที่ 2.16 พื้นที่รับรังสีความร้อนในห้องเผาไหม้ เป็นพื้นที่สี่เหลี่ยมขอบรวมมุม 90 องศา [14]

$$F_{1-2} = \frac{2}{\pi XY} \left\{ \begin{aligned} & \ln \left[\frac{(1+X^2)(1+Y^2)}{1+X^2+Y^2} \right]^{1/2} + X\sqrt{1+Y^2} \tan^{-1} \frac{X}{\sqrt{1+Y^2}} \\ & + Y\sqrt{1+X^2} \tan^{-1} \frac{Y}{\sqrt{1+X^2}} - X \tan^{-1} X - Y \tan^{-1} Y \end{aligned} \right\} \quad (2.8)$$



รูปที่ 2.17 พื้นที่รับรังสีความร้อนในห้องเผาไหม้เป็นพื้นที่สี่เหลี่ยมที่มีขนาดเท่ากันตั้งตรงข้ามกันในแนวตรง [14]

2.3.3 การคำนวณการถ่ายเทความร้อนของการไหลของน้ำในท่อ

สำหรับการเลือกใช้สมการเพื่อหาค่า Nusselt number นั้นมีหลักการพิจารณาสมมติฐานจากพฤติกรรมการเคลื่อนที่ของของไหลและการถ่ายเทความร้อนเพื่อจำแนกว่า ของไหลดังกล่าวมีลักษณะการถ่ายเทความร้อนเป็นแบบใด โดยกำหนดสมมติฐานให้การถ่ายเทความร้อนไปสู่ น้ำในหม้อน้ำมีลักษณะเป็นการเดือดอย่างเต็มที (Nucleate pool boiling) และพฤติกรรมการไหลของน้ำในท่อในส่วนของห้องเผาไหม้ หรือท่อไพใหญ่มีสมมติฐานเป็นการพาความร้อนแบบบังคับ (Force convection) โดยใช้ความสัมพันธ์ของ Gnielinski [15] ในการวิเคราะห์ค่า Nusselt number

$$Nu = \frac{(\frac{f}{8})(Re-1000)Pr}{1+12.7(\frac{f}{8})^{0.5}(Pr^{0.667}-1)} \quad (2.9)$$

สำหรับค่า friction factor สามารถหาได้จากความสัมพันธ์ของ Darcy ซึ่งมีสมการดังต่อไปนี้

$$f = (0.79 \ln(Re) - 1.64)^{-2} \quad (2.10)$$

2.3.4 การคำนวณการถ่ายเทความร้อนแบบการเดือดแบบแอ่ง (Pool boiling)

โดยขอบเขตของการใช้ความสัมพันธ์ดังกล่าวต้องอยู่ในเงื่อนไขว่าค่า Pr ต้องมีค่าอยู่ระหว่าง 0.5 ถึง 2000 และ ค่า Reynold number อยู่ระหว่าง 3,000-5,000,000 และจากสมการความสัมพันธ์การเดือดแบบแอ่งของ Rohsenow [16] มีสมการดังนี้

$$\frac{C_l \Delta T_x}{h_{fg} Pr_l^{1.7}} = C_{sf} \left[\frac{q''}{\mu_l h_{fg}} \sqrt{\frac{g_c \sigma_{tension}}{g(\rho_l - \rho_v)}} \right]^{0.33} \quad (2.11)$$

Rohsenow กล่าวว่าสมการดังกล่าวรูปลักษณ์ของภาชนะ ไม่ส่งผลมากนักต่อการถ่ายเทความร้อนของการเดือดแบบแอ่ง สิ่งที่สำคัญขึ้นอยู่กับพื้นผิวที่น้ำรับความร้อน ไม่ใช่รูปร่างของภาชนะรับความร้อน [16] ดังนั้นการวิเคราะห์การถ่ายเทความร้อนของท่อไฟเล็กในแต่ละช่วงจึงสามารถใช้สมการดังกล่าวได้ สำหรับการหาสัมประสิทธิ์การถ่ายเทความร้อนของแบบแอ่ง การหาค่า h_o สามารถหาได้จากความสัมพันธ์ของ Mostinski [17]

$$h_o = 0.00417q^{0.7} p_{cr}^{0.69} F_p \quad (2.12)$$

$$F_p = 1.8Pr^{0.17} + 4Pr^{1.2} + 10Pr^{10}, Pr = \frac{P}{P_{cr}} \quad (2.13)$$

2.3.5 การคำนวณการถ่ายเทความร้อนแบบผ่านผิวด้านนอกท่อทรงกระบอก

และในส่วนของหม้อน้ำด้านน้ำ การไหลนั้นตั้งสมมติฐานเป็นการไหลแบบภายนอก (External flow) โดยเลือกใช้ความสัมพันธ์เชิงตัวเลขของ Jakob [18] และ Zukauskas [19] ซึ่งเป็นการถ่ายเทความร้อนผ่านผิวด้านนอกของท่อทรงกระบอก และสื่อกลางที่พาความร้อนสามารถเป็นได้ทั้งสถานะแก๊ส และของเหลว โดยความสัมพันธ์เขียนได้ดังต่อไปนี้

$$Nu = 0.989 Re^{0.330} Pr^{1/3}; 0.4 \leq Re < 4$$

$$Nu = 0.911 Re^{0.385} Pr^{1/3}; 4 \leq Re < 40$$

$$\begin{aligned} Nu &= 0.683Re^{0.466} Pr^{1/3}; 40 \leq Re < 4000 \\ Nu &= 0.193Re^{0.618} Pr^{1.3}; 4000 \leq Re < 40000 \\ Nu &= 0.027Re^{0.805} Pr^{1/3}; 40000 \leq Re < 400000 \end{aligned} \quad (2.14)$$

2.3.6 การคำนวณการถ่ายเทความร้อนแบบการเดือดแบบไหล (Flow boiling)

สำหรับการถ่ายเทความร้อนของการไหลในท่อแนวตั้งสำหรับหม้อน้ำชนิดลูกผสมนั้นเลือกใช้ความสัมพันธ์ของ Jallouk [20] ซึ่งเป็นสมการหาสัมประสิทธิ์การถ่ายเทความร้อนของน้ำ 2 สถานะ โดยสมการนี้ถูกพัฒนามาจากความสัมพันธ์ของการพาความร้อนของ Chen [21] และ สมการความสัมพันธ์ของการเดือดแบบ Nucleate boiling ของ Foster & Zuber [22] โดยสามารถเขียนได้ดังนี้

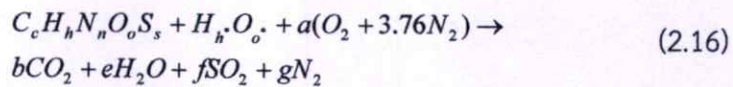
$$\begin{aligned} h_{tp} &= h_l \frac{0.533}{Co^{0.79}} + 5.08(Bo(10^4))^{0.5}, \text{ for } (Co > 0.65) \\ h_{tp} &= h_l \frac{1.876}{Co^{0.79}} + 1.547(Bo(10^4))^{0.5}, \text{ for } (Co \leq 0.65) \end{aligned} \quad (2.15)$$

โดยสมมติฐานของการใช้ความสัมพันธ์ดังกล่าวต้องตั้งอยู่ในสมมติฐานว่า การไหลของน้ำจะต้องเป็นการไหลแบบคงตัว ไม่มี slug flow เป็นการไหลแบบเต็มท่อ เป็นการไหลในแนวตั้ง สถานะของน้ำที่ไหลจะต้องอยู่ในสถานะอิ่มตัว หรือ 2 สถานะผสมกัน และฟลักซ์ทางความร้อนมีค่าต่ำกว่าฟลักซ์ความร้อนวิกฤติ

2.4 ทฤษฎีการเผาไหม้

2.4.1 การวิเคราะห์แยกธาตุ

การวิเคราะห์แยกธาตุ วิเคราะห์เพื่อหาค่าองค์ประกอบโมเลกุลของไอเสีย เพื่อนำมาวิเคราะห์หาคุณสมบัติทางความร้อนของไอเสีย ก่อนนำไปวิเคราะห์ความสามารถในการถ่ายเทความร้อนไปยังน้ำในหม้อน้ำ จากสมการการเผาไหม้ทางทฤษฎี (Stoicheometric) [23] และสมการการเผาไหม้สัดส่วนอากาศมากกว่าเชื้อเพลิง [24] (Lean combustion)



โดยองค์ประกอบของเชื้อเพลิงจะมีน้ำเป็นส่วนประกอบ หากจะทำมาวิเคราะห์แยกธาตุจำเป็นที่จะต้องวิเคราะห์เชิงปริมาตรโดยคิดเฉพาะเชื้อเพลิงไม่มีความชื้นสมการต่อไปนี้

$$\left(\frac{m}{m}\right)_{dry} = \frac{(x_{fuel})(100)}{100 - (V_{mois})} \quad (2.17)$$

จะต้องประกอบเชื้อเพลิงแต่ละธาตุซึ่งประกอบด้วย คาร์บอน(C) ไฮโดรเจน(H) ไนโตรเจน(N) ออกซิเจน(O) ซัลเฟอร์(S) และ เถ้า (Ash) จากนั้นนำองค์ประกอบของธาตุดังกล่าวให้อยู่ในหน่วยมวลต่อกิโลกรัมเชื้อเพลิง

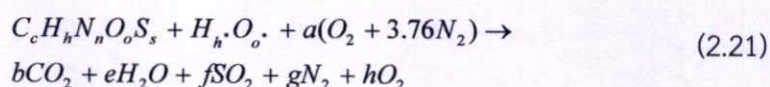
$$m_{perkgfuel} = \frac{(\% \frac{m}{m})_{dry} (100 - V_{mois})}{100} \quad (2.18)$$

สำหรับธาตุไฮโดรเจน และออกซิเจนของน้ำที่อยู่ภายในเชื้อเพลิงในหน่วยมวลต่อกิโลกรัมเชื้อเพลิงสามารถหาได้จากสมการ

$$m_{h,perkgfuel} = \frac{V_{mois} (\frac{2}{18})}{100} \quad (2.19)$$

$$m_{o,perkgfuel} = \frac{V_{mois} (\frac{16}{18})}{100} \quad (2.20)$$

การวิเคราะห์แยกธาตุ ทำให้ทราบถึงจำนวนโมลของแต่ละโมเลกุลในไอเสียของการเผาไหม้ทางทฤษฎี และการเผาไหม้จริง



จากสมการดังกล่าวคือสมการการเผาไหม้แบบสัดส่วนอากาศมากกว่าเชื้อเพลิง (Lean combustion) จะมีออกซิเจนที่เหลือจากการเผาไหม้ในไอเสีย เมื่อดุลสมการเสร็จสมบูรณ์จะทราบสัดส่วนโมล และสัดส่วนมวล ของแต่ละโมเลกุลของไอเสีย นำข้อมูลดังกล่าวมาเขียนสเปคทซ์โดยตัวแปรต้นคืออุณหภูมิของไอเสียซึ่งมาจากการคำนวณ และตัวแปรตามคือคุณสมบัติทั้งเชิงกล และทางความร้อนของไอเสีย

2.4.2 ทฤษฎีการเผาไหม้ การคำนวณปริมาณเชื้อเพลิงและปริมาณไอเสียที่ผ่านชุดท่อไฟ

อัตราการจ่ายเชื้อเพลิงคือปริมาณความร้อนที่ทำให้น้ำมีอุณหภูมิ ความดัน และสถานะที่ต้องการหารด้วยค่าความร้อนทางต่ำของเชื้อเพลิง (Low Heating Value) โดยตั้งสมมติฐานให้การเผาไหม้เชื้อเพลิงจนหมด ดังนั้นอัตราการไหลของไอเสีย หาค่าได้จากสมการดังต่อไปนี้

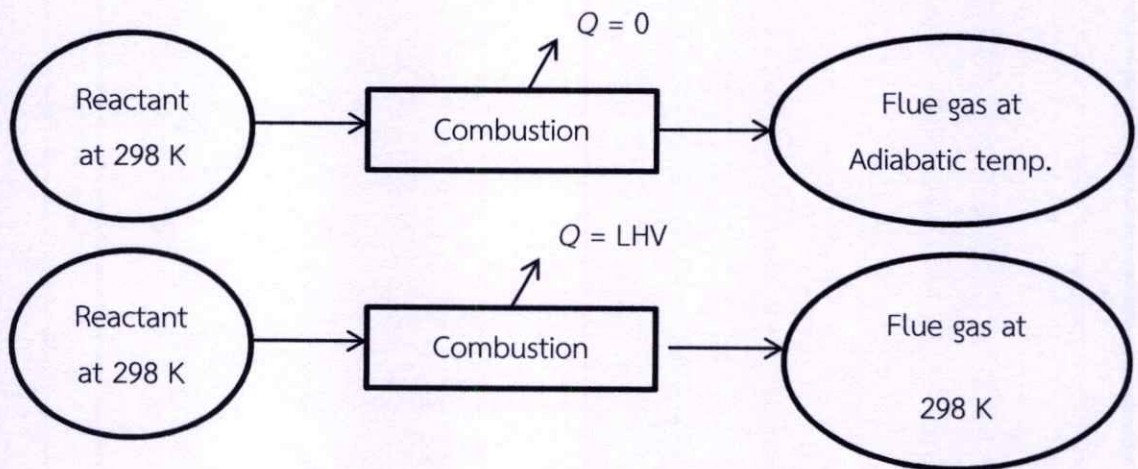
$$\dot{m}_{fuel} = \frac{Q}{LHV} \quad (2.22)$$

$$Q = \frac{Q_{com-sat.liq} + Q_{sat.liq-sat.vapor}}{\frac{eff}{100}} \quad (2.23)$$

$$\dot{m}_{fluegas} = (1 - \frac{(\% \frac{m}{m})_{ash}}{100}) [(\dot{m}_{fuel}) + (AF_{actual})(\dot{m}_{fuel})] \quad (2.24)$$

โดยการคำนวณคิดเสมือนการเผาไหม้จริงเพราะฉะนั้นจะมีเถ้าเหลือจากการเผาไหม้ ไม่ถูกเผาไปด้วย จึงต้องมีตัวประกอบค่าแก้สำหรับสมการอัตราการไหลของไอเสีย สำหรับการวิเคราะห์การพาความร้อน

ร้อนภายในท่อไฟ และการวิเคราะห์การแผ่รังสีความร้อนในท่อไฟใหญ่ ตั้งสมมติฐานโดยให้อุณหภูมิเปลวไฟนั้นเป็นเปลวไฟอะเดียแบติก โดยคำนวณแบบวนซ้ำเพื่อหาอุณหภูมิเปลวไฟอะเดียแบติก และอุณหภูมิไอเสียที่ทางเข้าของหม้อน้ำ โดยใช้สมการสมดุลเอนทัลปีของการเผาไหม้ [25]



รูปที่ 2.18 ภาพแสดงที่มาของการคำนวณหาอุณหภูมิอะเดียแบติก

จากรูปที่ 2.18 พบว่าจากสมดุลเอนทัลปีการเผาไหม้ หากนำสมการของรูปบนลงด้วยรูปล่าง พจน์เอนทัลปีของสารตั้งต้นจะถูกหักลบออกเหลือแต่เพียงความร้อนเท่ากับอินทิเกรต c_p เซิงโมล เทียบ T ซึ่งเป็นไปตามสมการที่ 2.25

$$Q = LHV = \sum_{i=1}^n \int_{298}^T \bar{c}_{p,i} dT \quad (2.25)$$

จากนั้นใช้สมการดังกล่าวนำมาเชื่อมโยงในรูปของสเปรทซีทโดยคำนวณแบบวนซ้ำเพื่อหาอุณหภูมิไอเสียที่ทางเข้าของหม้อน้ำ และอุณหภูมิเปลวไฟอะเดียแบติก ซึ่งจะแสดงไว้ในบทที่ 3 โดยอุณหภูมิไอเสียนั้นคำนวณจากการเผาไหม้จริง มีอัตราส่วนอากาศเกินในระบบ ส่วนอุณหภูมิเปลวไฟอะเดียแบติกนั้นคำนวณจากการเผาไหม้แบบสมบูรณ์

2.4.3 ประสิทธิภาพของหม้อน้ำ

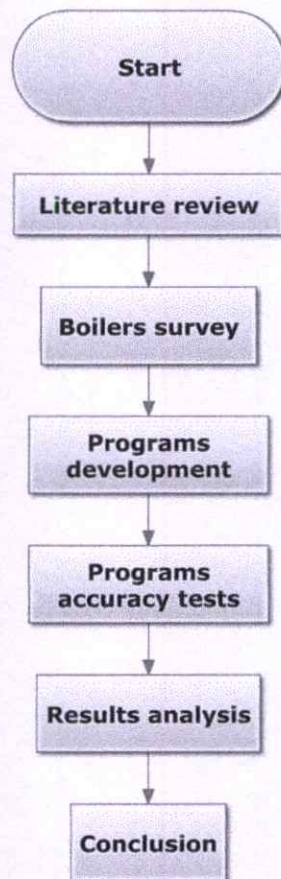
สำหรับการคำนวณประสิทธิภาพหม้อน้ำจริง จำนวนได้จากสมการดังต่อไปนี้ ซึ่งเป็นประสิทธิภาพจากการตรวจวัดจากหม้อน้ำจริง

$$eff = \frac{h_{boiler} - h_{w,input}}{Q_{actual}} \times 100 \quad (2.26)$$

บทที่ 3 วิธีดำเนินการวิจัย

3.1 ภาพรวมของการดำเนินการวิจัย

ขั้นตอนของการดำเนินการวิจัยในภาพรวมแบ่งออกเป็น ขั้นตอนดังต่อไปนี้



รูปที่ 3.1 ขั้นตอนการดำเนินการวิจัย

จากผังงานดังกล่าวจะเห็นได้ว่าขั้นตอนการวิจัยนั้นแบ่งออกเป็น 6 ขั้นตอนด้วยกันซึ่งในขั้นตอนการพัฒนาสเปรตชีท (Spreadsheet development) เป็นขั้นตอนที่แบ่งย่อยผังงานสเปรตชีทออกเป็นสัดส่วนเพื่อความสะดวกในการศึกษาวิธีการพัฒนาสเปรตชีทซึ่งแบ่งออกได้ดังต่อไปนี้

1) สเปรตชีทคำนวณการเผาไหม้

- คำนวณค่าสัดส่วนมวลของโมเลกุลแต่ละโมเลกุลจากวิธีวิเคราะห์แยกธาตุแบบ dry basis เพื่อนำไปใช้หาคุณสมบัติต่างๆของก๊าซไอเสีย
- คำนวณอัตราส่วนอากาศเชื้อเพลิงของการเผาไหม้ทางทฤษฎีจากการกรอกค่าองค์ประกอบของเชื้อเพลิง

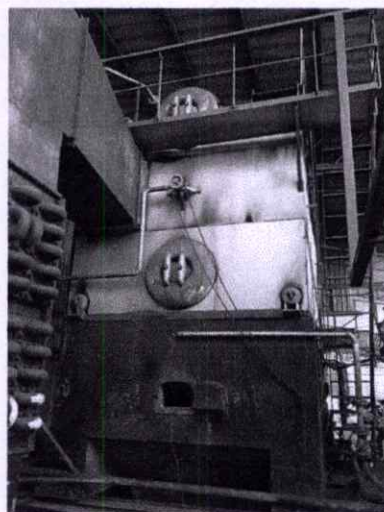
- 2) สเปรทซีฟิคาชันปริมาณความร้อน
 - ค่าความคุณสมบัติทางพลังงานของน้ำที่สถานะของเหลวอิ่มตัว และไอน้ำอิ่มตัว
 - ค่าความประสิทธิภาพหม้อน้ำ
- 3) สเปรทซีฟิคาชันคุณสมบัติทางความร้อนของน้ำ
- 4) สเปรทซีฟิคาชันปริมาณการแผ่รังสีความร้อน แบ่งออกเป็น 2 สเปรทซีฟิคาชันด้วยกัน
 - สเปรทซีฟิคาชันการแผ่รังสีความร้อนในท่อไฟใหญ่ของหม้อน้ำชนิดท่อไฟ
 - สเปรทซีฟิคาชันการแผ่รังสีความร้อนในห้องเผาไหม้ของหม้อน้ำชนิดลูกผสม
- 5) สเปรทซีฟิคาชันสัมประสิทธิ์การแผ่รังสีความร้อนของก๊าซไอเสีย
- 6) สเปรทซีฟิคาชันพื้นที่การถ่ายเทความร้อน
 - พื้นที่การถ่ายเทความร้อนในแต่ละส่วนของหม้อน้ำชนิดท่อไฟ
 - พื้นที่การถ่ายเทความร้อนในห้องเผาไหม้ของหม้อน้ำชนิดลูกผสม
 - จำนวนจำนวนท่อ และความยาวท่อไฟใหญ่
 - ค่าปริมาณการถ่ายเทความร้อนในแต่ละส่วนของหม้อน้ำ

รายละเอียดของการพัฒนาสเปรทซีฟิคาชันจะถูกเขียนไว้ในหัวข้อ 3.3 ของบทนี้ โดยกล่าวถึงรายละเอียดของการพัฒนาสเปรทซีฟิคาชันในแต่ละสัดส่วนของแต่ละหัวข้อคือ สเปรทซีฟิคาชันการเผาไหม้ สเปรทซีฟิคาชันปริมาณความร้อน สเปรทซีฟิคาชันคุณสมบัติทางความร้อนของน้ำ และของไอเสีย สเปรทซีฟิคาชันปริมาณการแผ่รังสีความร้อน สเปรทซีฟิคาชันสัมประสิทธิ์การแผ่รังสีความร้อนของก๊าซไอเสีย และสเปรทซีฟิคาชันพื้นที่การถ่ายเทความร้อน

3.2 การสำรวจหม้อน้ำ (Boilers survey)

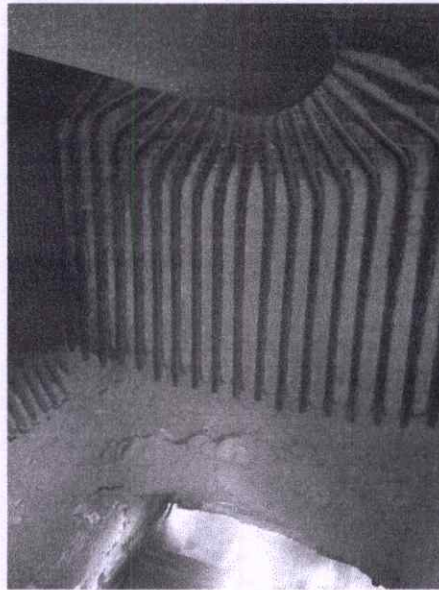
3.2.1 สำรวจหม้อน้ำชนิดท่อน้ำ

ในการศึกษาเบื้องต้นหลังจากการค้นคว้าโปรแกรมคำนวณ และงานวิจัยเกี่ยวกับความสัมพันธ์ของการถ่ายเทความร้อน และการเผาไหม้ จึงสำรวจลักษณะการทำงานของหม้อน้ำจริงซึ่งหม้อน้ำแรกที่สำรวจ คือหม้อน้ำชนิดท่อน้ำใช้เชื้อเพลิงถ่านหินดังรูปที่ (3.2)



รูปที่ 3.2 ภายนอกหม้อน้ำชนิดท่อน้ำ (อนุเคราะห์ภาพโดยบริษัท เพอร์โก อินดัสทรี จำกัด)

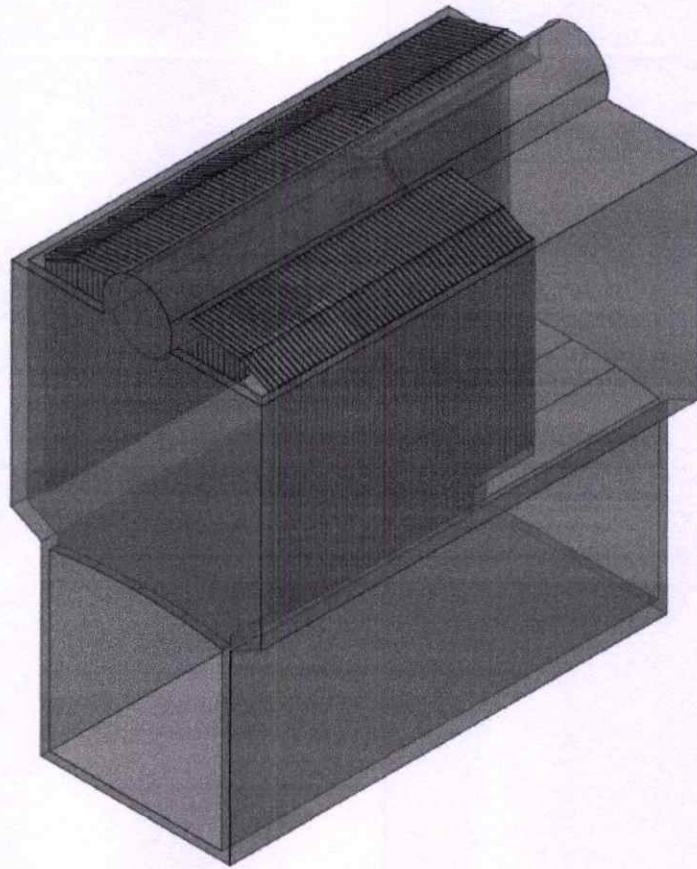
โดยเข้าสำรวจในวันที่ 27 ธันวาคม 2556 เป็นวันที่หม้อน้ำถูกนี้ปิดซ่อมแซม และทำความสะอาด โดยเข้าไปสำรวจอุปกรณ์ และส่วนต่างๆของหม้อน้ำ เพื่อเป็นแนวความคิดสำหรับออกแบบสเปรทซีท โดยหม้อน้ำนี้ติดตั้ง economizer ไว้เพื่อลดอัตราการบริโภคน้ำมันเชื้อเพลิง ภายในหม้อน้ำชนิดนี้จะมีท่อดรัมอยู่ทางด้านบน และท่อน้ำเรียงโดยรอบภายในห้องเผาไหม้ดังรูปที่ (3.3) โดยเชื้อเพลิงจะถูกลำเพียงเข้าทางด้านล่างของรูปที่ (3.3) และเกิดการเผาไหม้ในพื้นที่ดังกล่าว สำหรับทางออกของไอเสียจะถูกลำเลียงโดยลมดูดไปทางด้านหลังโดยทางออกดังกล่าวก็มีท่อน้ำติดตั้งอยู่ดังรูปที่ (3.4) ซึ่งทางออกไอเสียดังกล่าวอยู่ทางด้านซ้ายของภาพ พื้นที่ดังกล่าวถือว่าเป็นพื้นที่รับความร้อนเช่นเดียวกันกับในห้องเผาไหม้จากการสำรวจภายในหม้อน้ำสามารถเขียนแบบออกมาได้ลักษณะดังรูปที่ (3.5)



รูปที่ 3.3 ดรัมและท่อที่เรียงในห้องเผาไหม้ของหม้อน้ำ และช่องลำเลียงเชื้อเพลิง (อนุเคราะห์ภาพโดยบริษัท เพอร์โก อินดัสทรี จำกัด)



รูปที่ 3.4 ทางออกของไอเสียของหม้อน้ำ (อนุเคราะห์ภาพโดยบริษัท เพอร์โก อินดัสทรี จำกัด)



รูปที่ 3.5 เขียนแบบโครงสร้างภายในห้องเผาไหม้ด้วยสเปรทซีทสำหรับการออกแบบ

ประโยชน์จากการสำรวจดังกล่าวเพื่อให้เห็นภาพจริงก่อนการเขียนสเปรทซีท ในตอนแรกหม้อน้ำลูกนี้ จะถูกใช้สอบเทียบ และเขียนสเปรทซีทสำหรับหม้อน้ำชนิดท่อน้ำ แต่เนื่องจากปัญหาทางการตรวจวัด ความหนาของท่อ อีกทั้งไม่มีคู่มือจึงไม่สามารถนำมาทดสอบได้ จึงนำส่วนของ economizer ของ หม้อน้ำมาสำรวจเพื่อเขียนสเปรทซีทคำนวณอัตราการถ่ายเทความร้อนของน้ำกับไอเสีย เพื่อเป็น แนวทางในการศึกษา และทดสอบการเขียนสเปรทซีทสำหรับการออกแบบ economizer แต่ เนื่องจากผลการทดลองนั้นไม่ทราบความหนาของท่อ รวมถึงอัตราการไหลของน้ำ จึงไม่สามารถนำ ผลทดสอบมาเทียบกับการคำนวณในส่วนของ economizer และมารวมในสเปรทซีทตรวจสอบและ ออกแบบหม้อน้ำได้

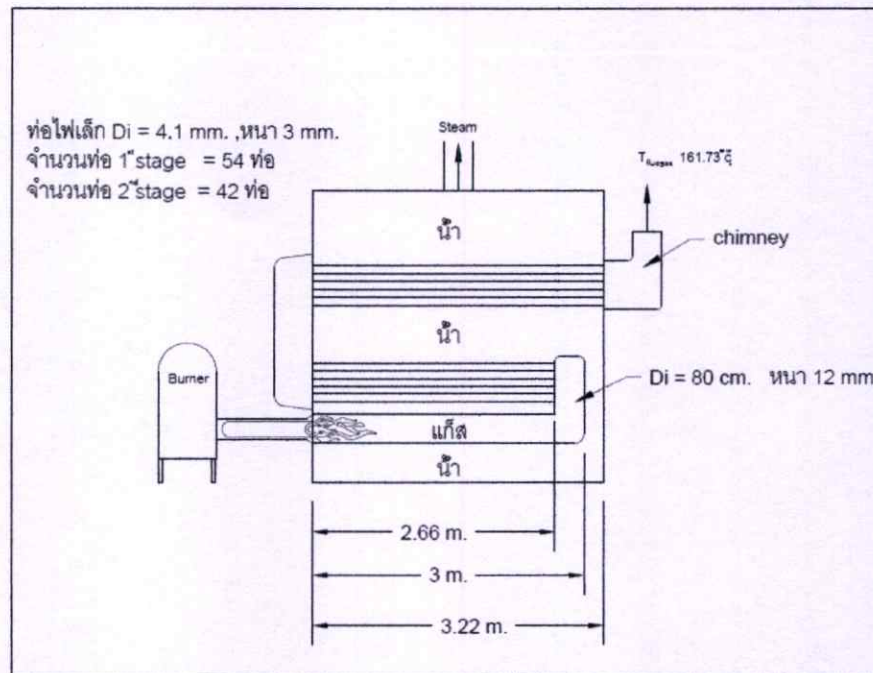
3.2.2 สำรวจหม้อน้ำชนิดท่อไฟ

การสำรวจหม้อน้ำจาก ชนิดท่อไฟขนาด 3 ตัน ใช้เชื้อเพลิงเป็นขี้เลื่อยอัดแท่งจากบริษัท แอล วายอินดัสทรี จำกัด เป็นหม้อน้ำที่ใช้สอบเทียบกับสเปรทซีทที่พัฒนาขึ้นมา โดยการสำรวจแบ่ง ออกเป็น 2 ช่วง คือช่วงหยุดการทำงานเพื่อทำความสะอาด กับช่วงวัดประสิทธิภาพหม้อน้ำ ในช่วงที่ หม้อน้ำหยุดการทำงาน เป็นการสำรวจภายในหม้อน้ำเพื่อวัดขนาดของท่อไฟใหญ่ ท่อไฟเล็ก และนับ จำนวนท่อไฟทั้งหมด ก่อนบันทึกไว้เพื่อใช้เป็นค่าพารามิเตอร์เริ่มต้นในสเปรทซีทคำนวณ ในการ ตรวจวัดช่วงแรกนั้นต้องเข้าไปยังท่อไฟใหญ่ในด้านในเพื่อวัดความยาว และเส้นผ่านศูนย์กลาง ดังรูปที่ (3.6)



รูปที่ 3.6 การวัดเส้นผ่านศูนย์กลางในท่อไฟใหญ่

จากการสำรวจพบว่าหม้อน้ำชนิดท่อไฟลูกนี้ มีความยาวท่อไฟใหญ่ 3 เมตร ความยาวท่อไฟเล็กกลับแรก 2.66 เมตร และความยาวท่อไฟเล็กกลับที่ 2 มีความยาว 3.22 เมตร โดยเส้นผ่านศูนย์กลางท่อไฟใหญ่มีขนาด 80 เซนติเมตร เส้นผ่านศูนย์กลางท่อไฟเล็กมีขนาด 4 เซนติเมตร ความหนาของท่อไฟใหญ่ และของท่อไฟเล็ก มีขนาด 12.5 และ 3.2 มิลลิเมตรตามลำดับ จำนวนท่อกลับแรก 54 ท่อ และจำนวนท่อกลับที่ 2 จำนวน 42 ท่อ โดยสามารถดูแบบจำลองดังกล่าวได้จากรูปที่ (3.7)



รูปที่ 3.7 เขียนแบบโครงสร้างหม้อน้ำชนิดท่อไฟด้วยสเปรทซีทสำหรับใช้ในการออกแบบ

ในช่วงถัดมาหลังจากตรวจสอบภายในหม้อน้ำแล้ว จึงตรวจสอบในส่วนองประสิทธิภาพหม้อน้ำซึ่งหลักการตรวจวัดเพื่อวิเคราะห์หาประสิทธิภาพของหม้อน้ำ และประสิทธิภาพการเผาไหม้เชื้อเพลิง จะทำการตรวจวัดและบันทึกข้อมูลเพื่อใช้ประกอบการคำนวณด้วยวิธีดังต่อไปนี้

- ปริมาณน้ำป้อนเฉลี่ย : บันทึกข้อมูลตัวเลขมิเตอร์น้ำป้อนเข้าหม้อน้ำแต่ละวัน และนำมาคำนวณหาปริมาณน้ำป้อนเฉลี่ย
- ชั่วโมงการทำงานของหม้อน้ำ : บันทึกเวลาเปิด-ปิดหม้อน้ำแต่ละวัน และนำมาคำนวณหาระยะเวลาที่หม้อน้ำทำงาน
- อุณหภูมิน้ำป้อนหม้อน้ำเฉลี่ย : ตรวจวัดอุณหภูมิน้ำป้อนที่อยู่ใกล้พักน้ำป้อนโดยใช้เครื่องวัดอุณหภูมิแบบดิจิตอล (Digital Thermometer) วัดอุณหภูมิ ณ ช่วงเวลาต่างๆ ของวัน และนำมาคำนวณหาอุณหภูมิน้ำป้อนเฉลี่ย เปรียบเทียบกับค่าที่อ่านได้จากเกจวัดอุณหภูมิที่ถึงพักน้ำป้อน
- ความดันไอน้ำที่ผลิตได้ : บันทึกค่าความดันที่อ่านได้จากเกจวัดความดันที่หม้อน้ำ และตรวจสอบกับค่าความดันที่กำหนดไว้ที่สวิตช์ควบคุมความดัน (Pressure switch) ณ ช่วงเวลาต่างๆ ของวัน และนำมาคำนวณหาความดันไอน้ำเฉลี่ย
- อัตราเชื้อเพลิงที่ป้อนให้หม้อน้ำ : บันทึกจำนวน big pack ของเชื้อเพลิงที่ใช้ในช่วงเวลาที่ทดสอบ 100 ชั่วโมง และนำมาคำนวณหาอัตราการใช้เชื้อเพลิงเฉลี่ย
- อัตราน้ำโบลว์ดาวน์ที่ระบายทิ้ง : ตรวจวัดขนาดเส้นผ่าศูนย์กลางของท่อโบลว์ดาวน์เพื่อนำมาหาค่าอัตราน้ำที่โบลว์ดาวน์

- ปริมาณออกซิเจนในไอเสีย : ตรวจวัดปริมาณออกซิเจนในไอเสียโดยใช้เครื่องวัดและวิเคราะห์ไอเสีย (Flue Gas Analyzer) นำมาคำนวณหาค่าปริมาณออกซิเจนเฉลี่ยในช่วงเวลาที่เกิดการเผาไหม้
- อุณหภูมิไอเสียและอุณหภูมิแวดล้อม : ตรวจวัดอุณหภูมิไอเสียและอุณหภูมิแวดล้อมโดยใช้เครื่องวัดและวิเคราะห์ไอเสีย (Flue Gas Analyzer) นำมาคำนวณหาค่าอุณหภูมิไอเสียเฉลี่ยและอุณหภูมิแวดล้อมเฉลี่ยในช่วงเวลาที่เกิดการเผาไหม้
- ปริมาณก๊าซคาร์บอนไดออกไซด์ และ ก๊าซคาร์บอนมอนอกไซด์ : ตรวจวัดปริมาณก๊าซคาร์บอนไดออกไซด์และก๊าซคาร์บอนมอนอกไซด์โดยใช้เครื่องวัดและวิเคราะห์ไอเสีย (Flue Gas Analyzer) นำมาคำนวณหาค่าเฉลี่ยจากไอเสียที่ออกจากหม้อน้ำในช่วงเวลาที่เกิดการเผาไหม้

โดยค่าดังกล่าวถูกวัดโดยทีมทดสอบประสิทธิภาพจากบริษัท โพรเอนเนอร์ยี แอนด์ เอนจิเนียริง จำกัด สำหรับเอกสารดังกล่าวสามารถตรวจสอบได้ที่ภาคผนวกท้ายเล่ม โดยค่าที่ถูกตรวจวัดนั้นมีค่าดังตารางที่ (3.1) และ (3.2) โดยค่าดังกล่าวถูกใช้เป็นตัวเริ่มต้นของการคำนวณในสเปรดชีตเพื่อตรวจสอบสมรรถนะของสเปรดชีตทั้งในส่วนของการออกแบบพื้นที่การถ่ายเทความร้อน และ ตรวจสอบการถ่ายเทความร้อนในแต่ละส่วน ของหม้อน้ำชนิดท่อไฟ

ตารางที่ 3.1 ข้อมูลของน้ำในหม้อน้ำ และอัตราการใช้เชื้อเพลิง

ข้อมูล	ค่าตรวจวัด/บันทึก	หน่วย
อัตราการน้ำป้อนเฉลี่ย	0.392	m ³ /hr
อุณหภูมิน้ำป้อนเฉลี่ย	76.367	°C
ความดันไอน้ำเฉลี่ย (P _{abs})	5.113	bar
อัตราการน้ำที่โบลว์ดาวน์	14.460*	kg/hr
อัตราเชื้อเพลิงที่ใช้เฉลี่ย	61.135	kg/hr
ค่าความร้อนต่ำของเชื้อเพลิง (Wood Pellet)	17.795	MJ/kg

*เป็นการประเมินค่าจากเส้นผ่านศูนย์กลางท่อโบลว์ดาวน์

ตารางที่ 3.2 ข้อมูลของไอเสียที่ออกจากหม้อน้ำ

ข้อมูล	ค่าตรวจวัด/บันทึก	หน่วย
% ออกซิเจนในไอเสียเฉลี่ย	10.827	%
% คาร์บอนไดออกไซด์เฉลี่ย	9.640	%
คาร์บอนมอนอกไซด์เฉลี่ย	267.205	ppm
ซัลเฟอร์ไดออกไซด์เฉลี่ย	-	ppm
ออกไซด์ของไนโตรเจนเฉลี่ย	-	ppm

อุณหภูมิไอเสียเฉลี่ย	161.733	°C
อุณหภูมิสิ่งแวดล้อมเฉลี่ย	41.163	°C
ค่าความร้อนต่ำของเชื้อเพลิง	4,251	kcal/kg
ค่าความจุความร้อนจำเพาะของ ก๊าซเสียที่อุณหภูมิ 161.733 °C	0.3281	kcal/ Nm ₃ °C

สำหรับค่าดังกล่าวถูกใช้สำหรับสเปรทซีทคำนวณดังตารางที่ (3.3) ในตารางดังกล่าว แสดงถึงความสัมพันธ์ของตัวแปรต้นกับสเปรทซีทว่าค่าดังกล่าวที่ตรวจวัดจะถูกนำไปใช้ในสเปรทซีทใด การสำรวจข้อมูลทั้ง 2 ขั้นตอนนั้นอาจไม่เพียงพอสำหรับใช้ออกแบบ และสร้างหม้อน้ำเพราะการออกแบบหม้อน้ำทั้งลูกนั้น ต้องคำนึงถึงความแข็งแรงและความปลอดภัย แต่ข้อมูลดังกล่าวสามารถใช้กับสเปรทซีทออกแบบพื้นที่การถ่ายเทความร้อน และสเปรทซีทตรวจสอบสมรรถนะหม้อน้ำได้ เพราะข้อมูลนั้นครบถ้วนสำหรับส่วนของการพัฒนาสเปรทซีทนี้

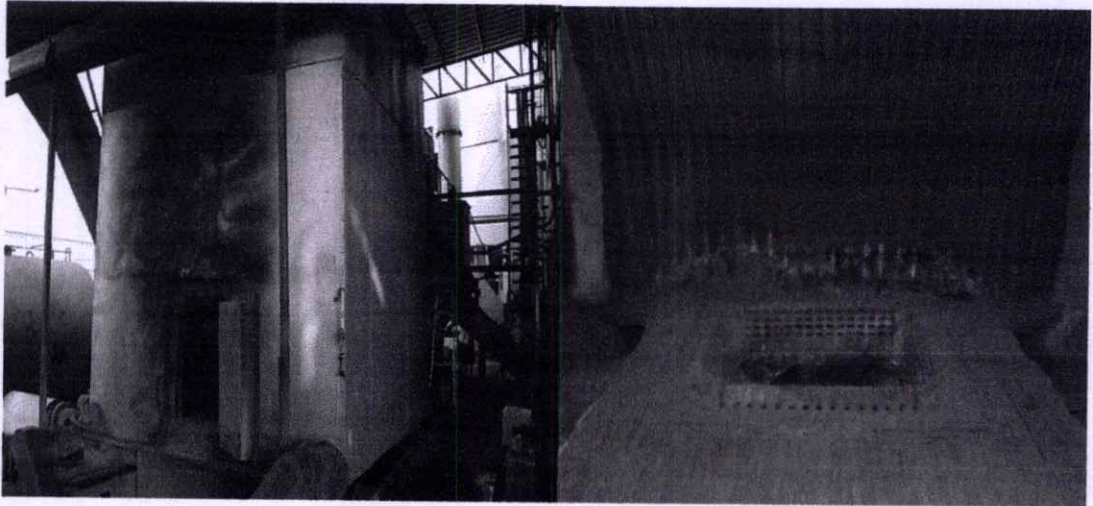
ตารางที่ 3.3 ตารางแสดงความสัมพันธ์ของข้อมูลที่ตรวจวัดกับสเปรทซีท

ข้อมูล	สเปรทซีท
อัตราการไอน้ำเฉลี่ย (m ³ /hr)	คำนวณประสิทธิภาพหม้อน้ำ
อุณหภูมิน้ำป้อนเฉลี่ย (°C)	คำนวณเอนทาลปี และประสิทธิภาพหม้อน้ำ
ความดันไอน้ำเฉลี่ย (bar)	คำนวณเอนทาลปี และประสิทธิภาพหม้อน้ำ
อัตราน้ำที่โบลว์ดาวน์ (kg/hr)	คำนวณเอนทาลปี และประสิทธิภาพหม้อน้ำ
อัตราเชื้อเพลิงที่ใช้เฉลี่ย (kg/hr)	คำนวณประสิทธิภาพหม้อน้ำ
ค่าความร้อนต่ำของเชื้อเพลิง (kJ/kg)	คำนวณประสิทธิภาพหม้อน้ำ
% ออกซิเจนในไอเสียเฉลี่ย (%)	คำนวณการเผาไหม้
% คาร์บอนไดออกไซด์เฉลี่ย (%)	คำนวณการเผาไหม้
คาร์บอนมอนนอกไซด์เฉลี่ย (ppm)	-
ซัลเฟอร์ไดออกไซด์เฉลี่ย (ppm)	-
ออกไซด์ของไนโตรเจนเฉลี่ย (ppm)	-
อุณหภูมิไอเสียเฉลี่ย (°C)	คำนวณปริมาณการถ่ายเทความร้อน ,คำนวณพื้นที่แลกเปลี่ยนความร้อน
อุณหภูมิสิ่งแวดล้อมเฉลี่ย (°C)	คำนวณอุณหภูมิเปลวไฟอะเดียแบติก
ค่าความจุความร้อนจำเพาะของก๊าซเสียที่ อุณหภูมิ 161.733 °C (kcal/ Nm ₃ °C)	คำนวณปริมาณการถ่ายเทความร้อน

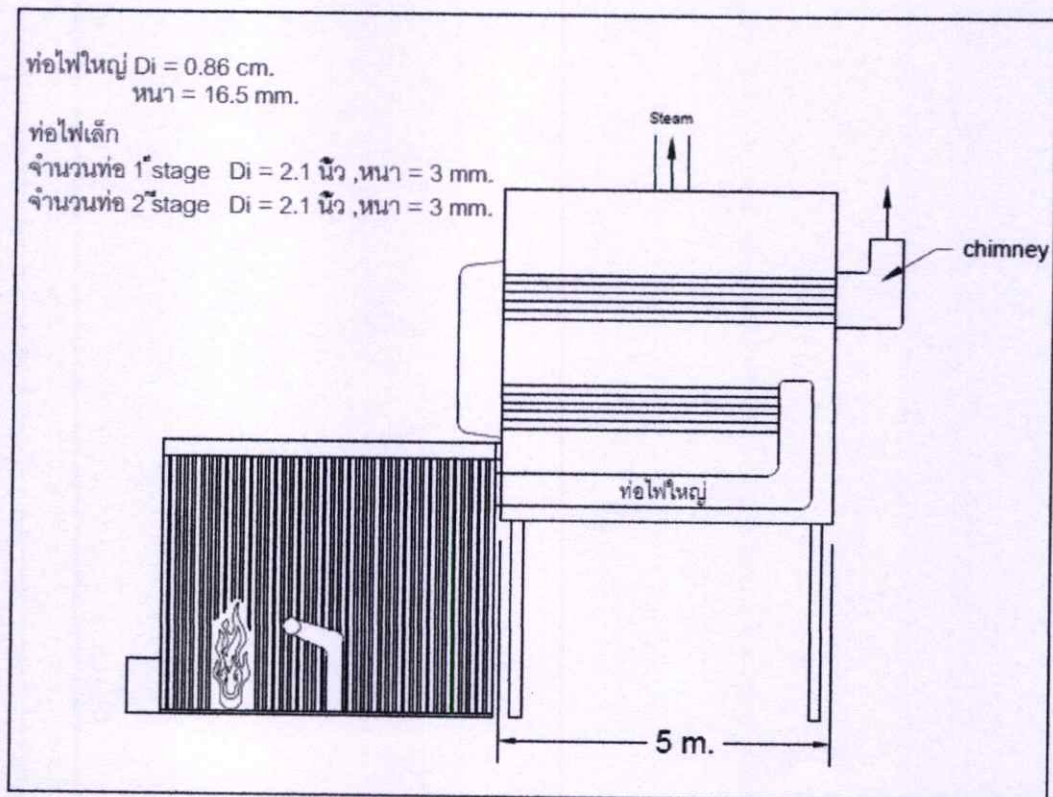
3.2.3 การสำรวจหม้อน้ำชนิดลูกผสม

ความแตกต่างระหว่างหม้อน้ำชนิดท่อน้ำกับท่อไฟ จะเห็นได้ชัดจากหัวข้อที่ผ่านมา แต่สำหรับหม้อน้ำลูกผสมแล้ว จะมีความคล้ายคลึงกับหม้อน้ำทั้งสองแบบ โดยห้องเผาไหม้จะมีลักษณะเป็นกำแพงที่มีท่อน้ำล้อมรอบ และมีช่องให้อิเสียผ่านดังรูปที่ (3.8) โดยช่องดังกล่าวจะผ่านไปยังท่อ

ไฟใหญ่ และท่อไฟเล็ก ดังนั้นหม้อน้ำชนิดลูกผสมมีความคล้ายคลึงกับหม้อน้ำชนิดท่อไฟ เพียงแต่เพิ่มขนาดของห้องเผาไหม้ขึ้นสำหรับเพิ่มพื้นที่การถ่ายเทความร้อน โดยแบบจำลองข้อหม้อน้ำดังกล่าวสามารถดูตัวอย่างได้ดังรูปที่ (3.9)

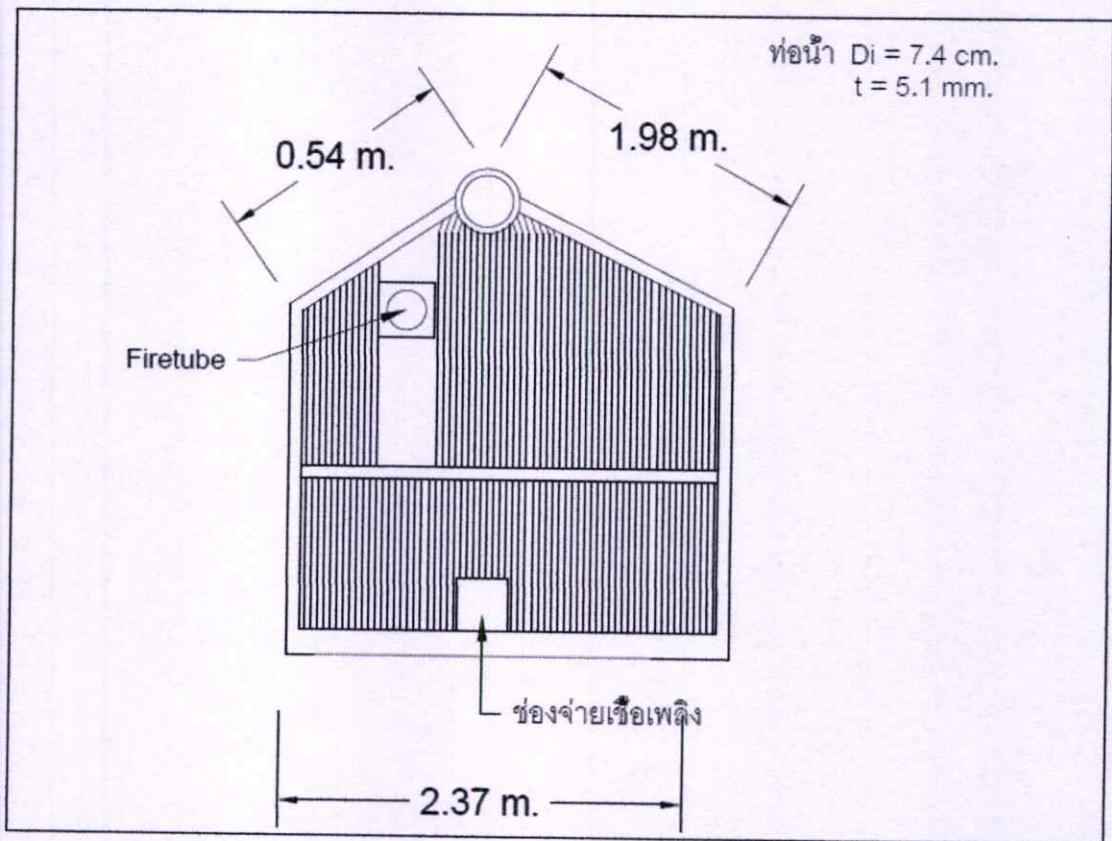


รูปที่ 3.8 ห้องเผาไหม้ของหม้อน้ำชนิดลูกผสม



รูปที่ 3.9 เขียนแบบโครงสร้างหม้อน้ำชนิดลูกผสมด้วยสเปรทซ์ที่ใช้ในการออกแบบ

การสำรวจหม้อน้ำชนิดดังกล่าวจะแตกต่างจากตอนสำรวจหม้อน้ำชนิดท่อไฟตรงที่ ครั้งนี้มีการตรวจภายในถังเก็บน้ำด้วย ทำให้การวัดความหนามีความแม่นยำกว่าเนื่องจากวัดโดยตรงจากท่อไฟเล็กในถังเก็บน้ำ วัดโดยตรงในท่อไฟใหญ่ รวมถึงท่อน้ำในห้องเผาไหม้ด้วย ต่างกับการสำรวจหม้อน้ำชนิดท่อไฟซึ่งทราบความหนาจากแคตตาล็อก โดยในหม้อน้ำเมื่อถูกใช้งานเป็นระยะเวลาหนึ่งความหนาของท่อที่ถูกความร้อนจะบางลง จากการสำรวจพบว่าหม้อน้ำชนิดลูกผสมนี้แบ่งออกเป็น 4 ส่วนด้วยกันคือ ห้องเผาไหม้ ท่อไฟใหญ่ และท่อไฟเล็กอีก 2 กลีบ โดยในส่วนแรกห้องเผาไหม้นั้นมีขนาดกว้าง 2.37 เมตร ยาว 2.6 เมตร และสูง 4.04 เมตร มีลักษณะดังรูปที่ (3.10) จำนวนท่อน้ำในห้องเผาไหม้ทั้งหมด 182 ท่อ เส้นผ่านศูนย์กลางภายนอก 7.4 เซนติเมตร ความหนา 5.2 มิลลิเมตร ความยาวเฉลี่ย 4.32 เมตร สำหรับท่อไฟใหญ่นั้นมีความยาว 5 เมตร เส้นผ่านศูนย์กลางภายใน 86 เซนติเมตร ความหนา 16.5 มิลลิเมตร และท่อไฟเล็กมีความยาว 5 เมตร เส้นผ่านศูนย์กลางภายใน 5.4 เซนติเมตร ความหนา 2.5 มิลลิเมตร จำนวนท่อไฟเล็กกลีบแรก 57 ท่อ กลีบที่สอง 48 ท่อ



รูปที่ 3.10 เขียนแบบห้องเผาไหม้ของหม้อน้ำชนิดลูกผสมด้วยสเปรทซีทสำหรับการออกแบบ

การตรวจสอบขั้นตอนที่สองคือนำผลการตรวจวัดอุณหภูมิไอเสีย ปริมาณน้ำป้อน อัตราการไหลคาร์บอน ความดันใช้งาน อุณหภูมิน้ำป้อนเฉลี่ย อัตราการป้อนเชื้อเพลิง อุณหภูมิห้องเผาไหม้ และชนิดเชื้อเพลิง

ตารางที่ 3.4 ข้อมูลของน้ำในหม้อน้ำ และอัตราการใช้เชื้อเพลิง

ข้อมูล	ค่าตรวจวัด/บันทึก	หน่วย
อัตราการน้ำป้อนเฉลี่ย	2700	m ³ /hr
อุณหภูมิน้ำป้อนเฉลี่ย	30	°C
ความดันไอน้ำเฉลี่ย (P _{abs})	7	bar
อัตราการที่โบลว์ดาวน์	1*	%
อัตราเชื้อเพลิงที่ใช้เฉลี่ย	473.75	kg/hr
ค่าความร้อนต่ำของเชื้อเพลิง (Subbituminous)	18.84	MJ/kg
อุณหภูมิไอเสีย	170	°C
อุณหภูมิห้องเผาไหม้	540	°C

* คิดเป็นเปอร์เซ็นต์ของปริมาณน้ำป้อน

ข้อมูลดังกล่าวจะถูกใช้ป้อนเข้าสเปรทชีทเพื่อคำนวณสมรรถนะทางความร้อน ดังตารางที่ 5 แสดงความสัมพันธ์ของข้อมูลที่ตรวจวัดกับสเปรทชีท

ตารางที่ 3.5 ตารางแสดงความสัมพันธ์ของข้อมูลที่ตรวจวัดกับสเปรทชีท

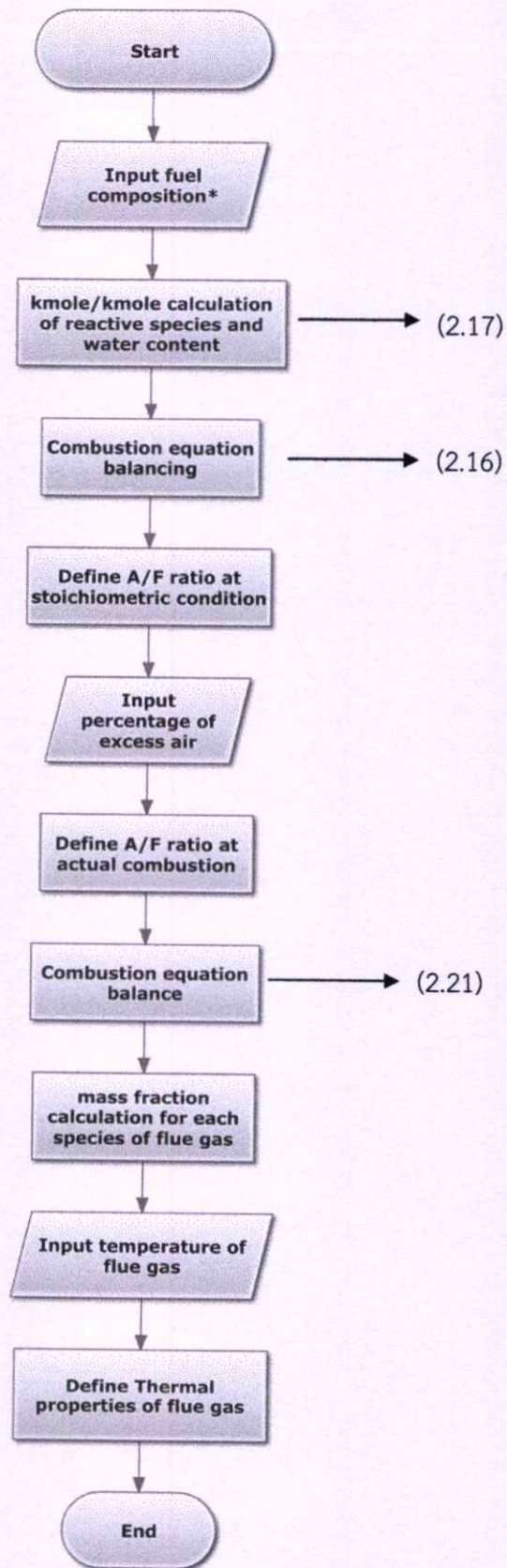
ข้อมูล	สเปรทชีท
อัตราการน้ำป้อนเฉลี่ย (m ³ /hr)	คำนวณประสิทธิภาพหม้อน้ำ
อุณหภูมิน้ำป้อนเฉลี่ย (°C)	คำนวณเอนทัลปี และประสิทธิภาพหม้อน้ำ
ความดันไอน้ำเฉลี่ย (bar)	คำนวณเอนทัลปี และประสิทธิภาพหม้อน้ำ
อัตราการที่โบลว์ดาวน์ (kg/hr)	คำนวณเอนทัลปี และประสิทธิภาพหม้อน้ำ
อัตราเชื้อเพลิงที่ใช้เฉลี่ย (kg/hr)	คำนวณประสิทธิภาพหม้อน้ำ
ค่าความร้อนต่ำของเชื้อเพลิง (kJ/kg)	คำนวณประสิทธิภาพหม้อน้ำ
อุณหภูมิไอเสียเฉลี่ย (°C)	คำนวณปริมาณการถ่ายเทความร้อน ,คำนวณพื้นที่แลกเปลี่ยนความร้อน

3.3 การพัฒนาสเปรทชีท

ในหัวข้อ 3.3 จะแสดงผังการทำงาน (Flow chart) ของแต่ละสเปรทชีทที่ถูกแบ่งไว้ในหัวข้อ 3.1 ผังงานรวมของสเปรทชีทมีความยาวมากเนื่องจากมีหลายที่ทำงานร่วมกันเพราะฉะนั้นจึงแบ่งผังงานดังกล่าวออกมาเพื่อความสะดวกในการทำความเข้าใจ และเชื่อมโยงในแต่ละสเปรทชีท โดยในผังงานจะมีลูกศรชี้บอกถึงสมการที่เกี่ยวข้องกำกับไว้ ซึ่งเชื่อมโยงกับสมการจากบทที่ 2

3.3.1 สเปรทชีทคำนวณการเผาไหม้

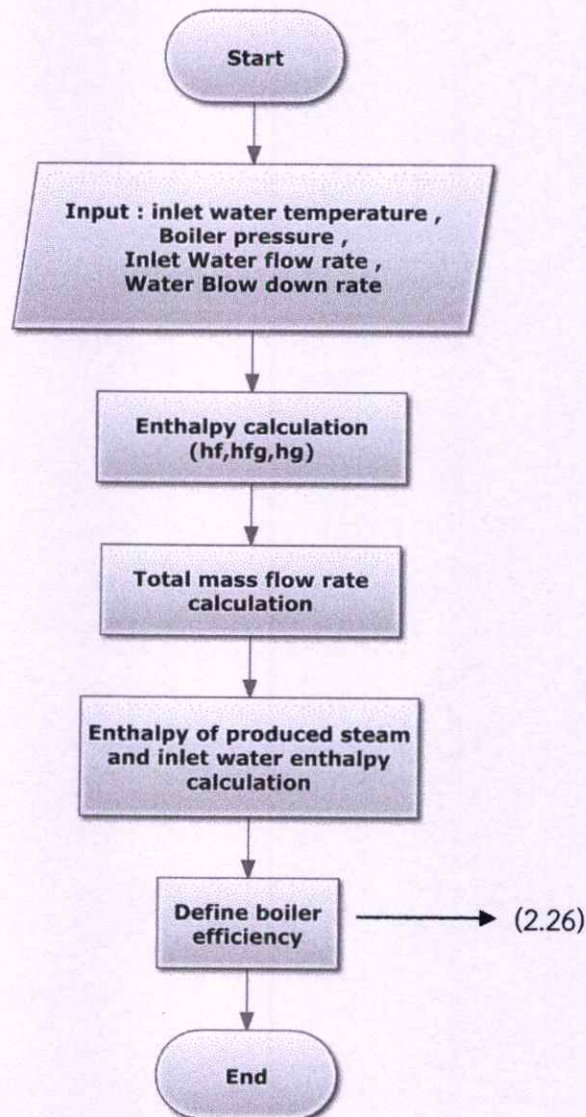
สเปรทซีฟที่เกี่ยวข้องกับการเผาไหม้ทั้งหมด 3 รูปแบบด้วยกันคือ สเปรทซีฟคำนวณอัตราส่วนอากาศเชื้อเพลิงทางทฤษฎีกับสเปรทซีฟคำนวณค่าสัดส่วนมวลของก๊าซไอเสียแต่ละโมเลกุล จากวิธีวิเคราะห์แยกธาตุแบบ dry basis เพื่อนำไปใช้หาคุณสมบัติต่างๆของก๊าซไอเสีย ทั้ง 2 สเปรทซีฟใช้ค่าป้อนเข้าสเปรทซีฟเดียวกันคือ องค์ประกอบของเชื้อเพลิง แต่กระบวนการคำนวณต่างกัน สำหรับสเปรทซีฟคำนวณอัตราส่วนอากาศเชื้อเพลิงทางทฤษฎีนั้นหลังจากดุลสมการการเผาไหม้แล้วสเปรทซีฟจะใช้ค่าจากการดุลสมการ คำนวณหาอัตราส่วนอากาศเชื้อเพลิง แต่สเปรทซีฟคำนวณค่าสัดส่วนมวลนั้นจะนำสัมประสิทธิ์ของผลิตภัณฑ์จากการเผาไหม้ไปคำนวณเพื่อหาสัดส่วนมวลต่อ โดยค่าสัดส่วนมวลจะถูกใช้คำนวณหาคุณสมบัติทางความร้อนของไอเสียที่อุณหภูมิต่างๆจากตารางคุณสมบัติของก๊าซ CO_2 , H_2O , S , O_2 , N_2 [25]



รูปที่ 3.11 สเปรทซีทค่านวนคุณสมบัติของก๊าซไอเสีย

3.3.2 สเปรทซีทคำนวณปริมาณความร้อน และประสิทธิภาพของหม้อน้ำ

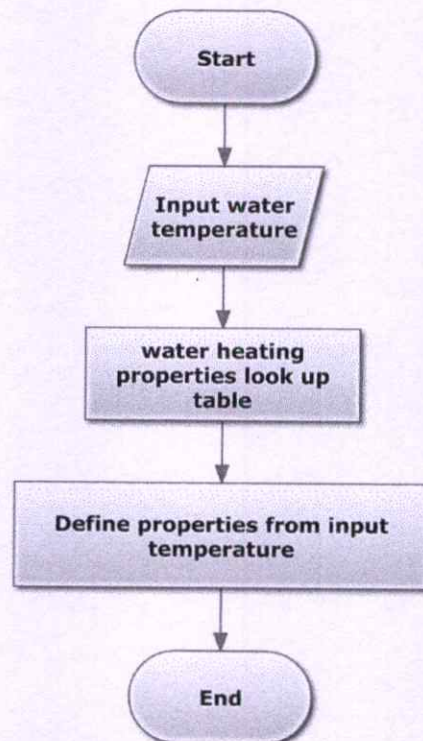
สเปรทซีทในหัวข้อนี้คำนวณคุณสมบัติทางอุณหพลศาสตร์ของน้ำที่สถานะของเหลวอิ่มตัว ไอ น้ำอิ่มตัว จำนวนประสิทธิภาพหม้อน้ำ และอุณหภูมิของน้ำที่สถานะไอ น้ำอิ่มตัว โดยค่าที่ป้อนเข้าสเปรทซีทคือ อุณหภูมิน้ำป้อน ความดันของหม้อน้ำ อัตราการไหลของน้ำป้อน และอัตราการโบว์ดาวน์ โดยค่าดังกล่าวได้จากการสำรวจหม้อน้ำ โดยสเปรทซีทคำนวณคุณสมบัติทางอุณหพลศาสตร์ของน้ำมีผังการทำงานดังรูปที่ 3.12 โดยค่าเอนทัลปีมาจากตารางอุณหพลศาสตร์ของน้ำ A-4 และ A-5 [26]



รูปที่ 3.12 สเปรทซีทคำนวณประสิทธิภาพหม้อน้ำ

3.3.3 สเปรทซ์ที่คำนวณคุณสมบัติทางความร้อนของน้ำ

สเปรทซ์ที่คำนวณคุณสมบัติทางความร้อนของน้ำไม่มีความซับซ้อน หากเทียบกับสเปรทซ์ที่อื่นๆ เนื่องจากค่าที่ป้อนในสเปรทซ์มีเพียง อุณหภูมิของน้ำเท่านั้น โดยตารางดังกล่าวจะแสดงคุณสมบัติของน้ำทั้งของเหลว และไอน้ำ โดยการทำงานของสเปรทซ์ดังกล่าวจะเป็นไปตาม รูปที่ (3.13) คุณสมบัติดังกล่าวจะถูกใช้ในสเปรทซ์ที่คำนวณพื้นที่การถ่ายเทความร้อนทุกขั้นตอนในหม้อน้ำ เพราะฉะนั้นมีความสำคัญมาก หากผิดพลาดจะส่งผลกระทบต่อค่าที่ใช้ตรวจสอบหรือออกแบบโดยตรง

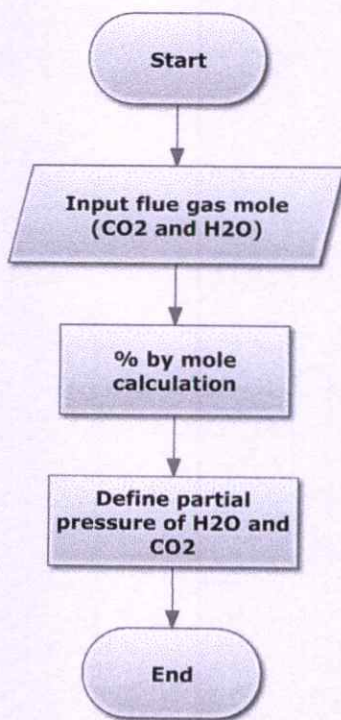


รูปที่ 3.13 สเปรทซ์ที่คำนวณคุณสมบัติทางความร้อนของน้ำ

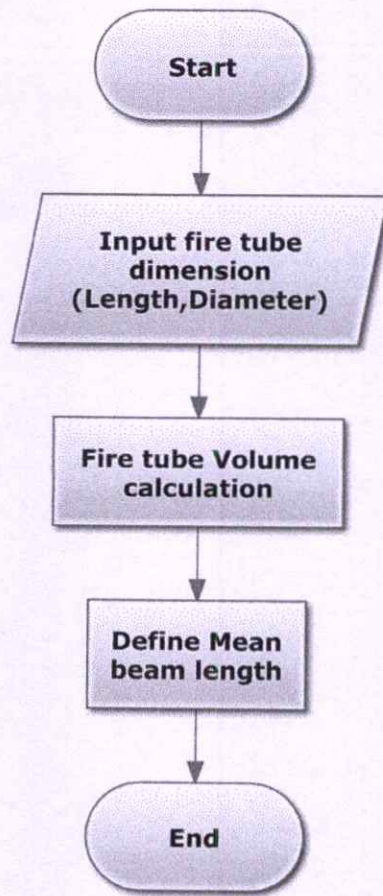
3.3.4 สเปรทซ์ที่คำนวณสัมประสิทธิ์การแผ่รังสีความร้อน

สเปรทซ์นี้ใช้คำนวณค่าสัมประสิทธิ์การแผ่รังสีความร้อนของก๊าซไอเสียโดยใช้ค่าป้อนเข้าสเปรทซ์ที่เป็นโมลของ CO_2 และ H_2O ในไอเสีย สำหรับคำนวณค่า partial pressure และขนาดของท่อไฟใหญ่เพื่อนำไปคำนวณหาค่า mean beam length โดยตามปกติการคำนวณค่าสัมประสิทธิ์การแผ่รังสีความร้อนของก๊าซ จำเป็นต้องใช้กราฟ Correction factor ของน้ำ และคาร์บอนไดออกไซด์ และกราฟค่าแก้สัมประสิทธิ์การแผ่รังสี เพื่อช่วยหาค่าสัมประสิทธิ์การแผ่รังสีความร้อนของก๊าซ โดยสเปรทซ์นี้ได้ใช้วิธีการถดถอยหลายเชิงแบบกำลังสองน้อยที่สุดโดยใช้พหุนาม (Least Squares Regression by Polynomials) สำหรับสร้างเส้นแนวโน้มจากกราฟความแตกต่างสัมประสิทธิ์การแผ่รังสีความร้อน (Delta epsilon) และกราฟแก้ (Correction factor) ของน้ำและคาร์บอนไดออกไซด์ เพื่อปรับใช้ในรูปแบบของสูตรคำนวณ เพื่อความสะดวก และความต่อเนื่องของสเปรทซ์ สำหรับฝั่งงานของสเปรทซ์ดังกล่าวสามารถดูได้ดัง รูปที่ (3.14) รูปที่ (3.15) และรูปที่ (3.16) โดยแบ่งไว้เพื่อ

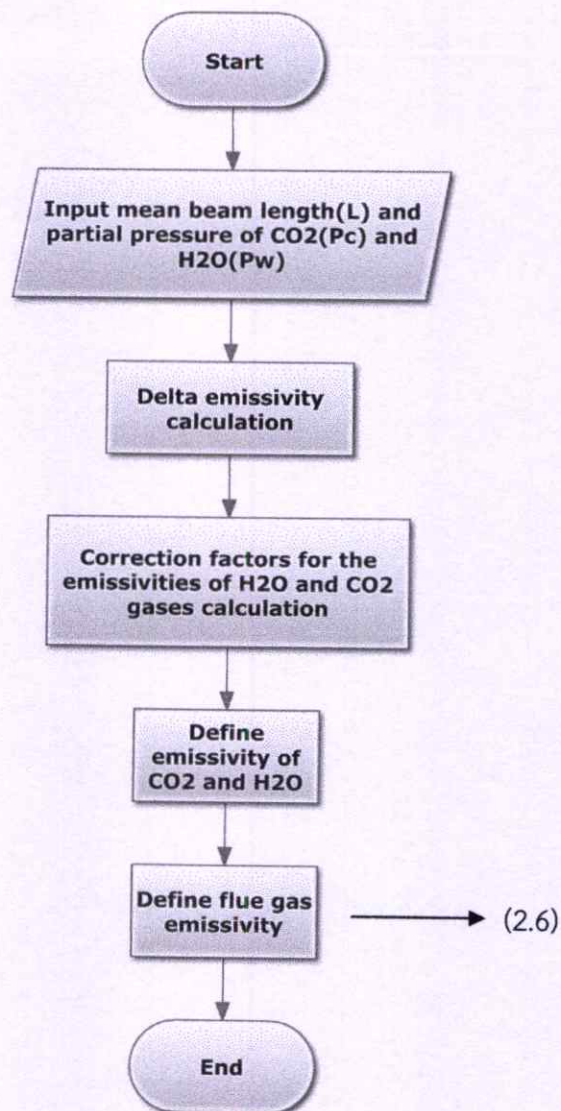
ความสะดวกในการตรวจสอบกระบวนการทำงาน สำหรับกราฟของ Hottel ที่ถูกนำมาใช้แปลงเป็นสมการพหุนามสำหรับคำนวณ



รูปที่ 3.14 กระบวนการคำนวณค่า Partial pressure



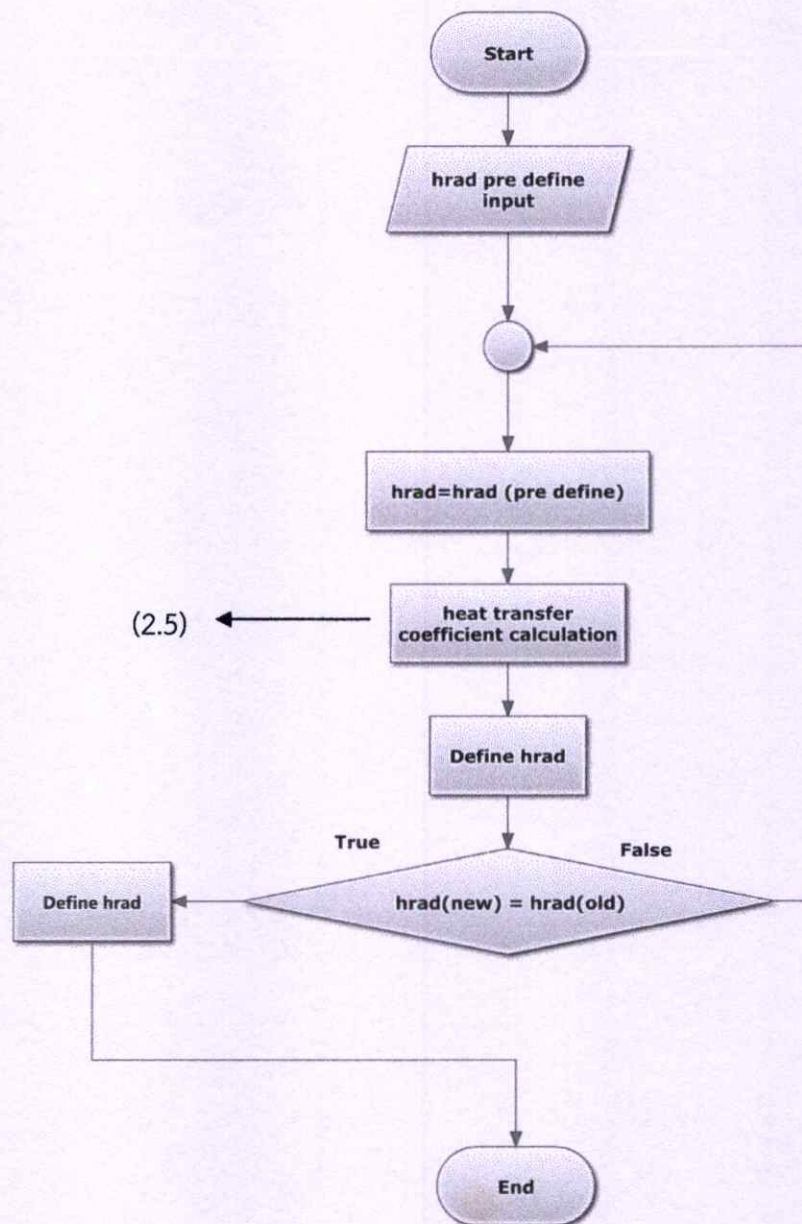
รูปที่ 3.15 กระบวนการคำนวณค่า mean beam length



รูปที่ 3.16 สเปรทซีทคำนวณค่าสัมประสิทธิ์การแผ่รังสีความร้อนของก๊าซไอเสีย

3.3.5 สเปรทซีทคำนวณสัมประสิทธิ์การถ่ายเทความร้อนจากการแผ่รังสีในท่อไฟใหญ่

เหตุผลที่แยกสเปรทซีทดังกล่าวออกมาแสดงเพราะว่า ในการคำนวณค่าสัมประสิทธิ์การถ่ายเทความร้อนจากการแผ่รังสีในท่อไฟใหญ่นั้นมีการคำนวณแบบวนซ้ำ จึงแสดงผังงานแยกจากสเปรทซีทคำนวณพื้นที่การถ่ายเทความร้อน ซึ่งจะแสดงในหัวข้อถัดไป โดยค่าที่ใช้เป็นค่าป้อนเข้าคือค่า h_{rad} โดยเป็นค่าที่สุ่มขึ้นมาก่อน และใช้ค่าอุณหภูมิเปลวไฟอะเดียแบติกคำนวณ โดยผลลัพธ์จากการคำนวณนั้นคือ h_{rad} จะถูกนำมาใช้แทนค่าที่ป้อนเข้าจากนั้นทำการคำนวณซ้ำจนกระทั่งผลลัพธ์คู่เข้าคำตอบ โดยสามารถดูการทำงานของสเปรทซีทได้จากรูปที่ (3.17)



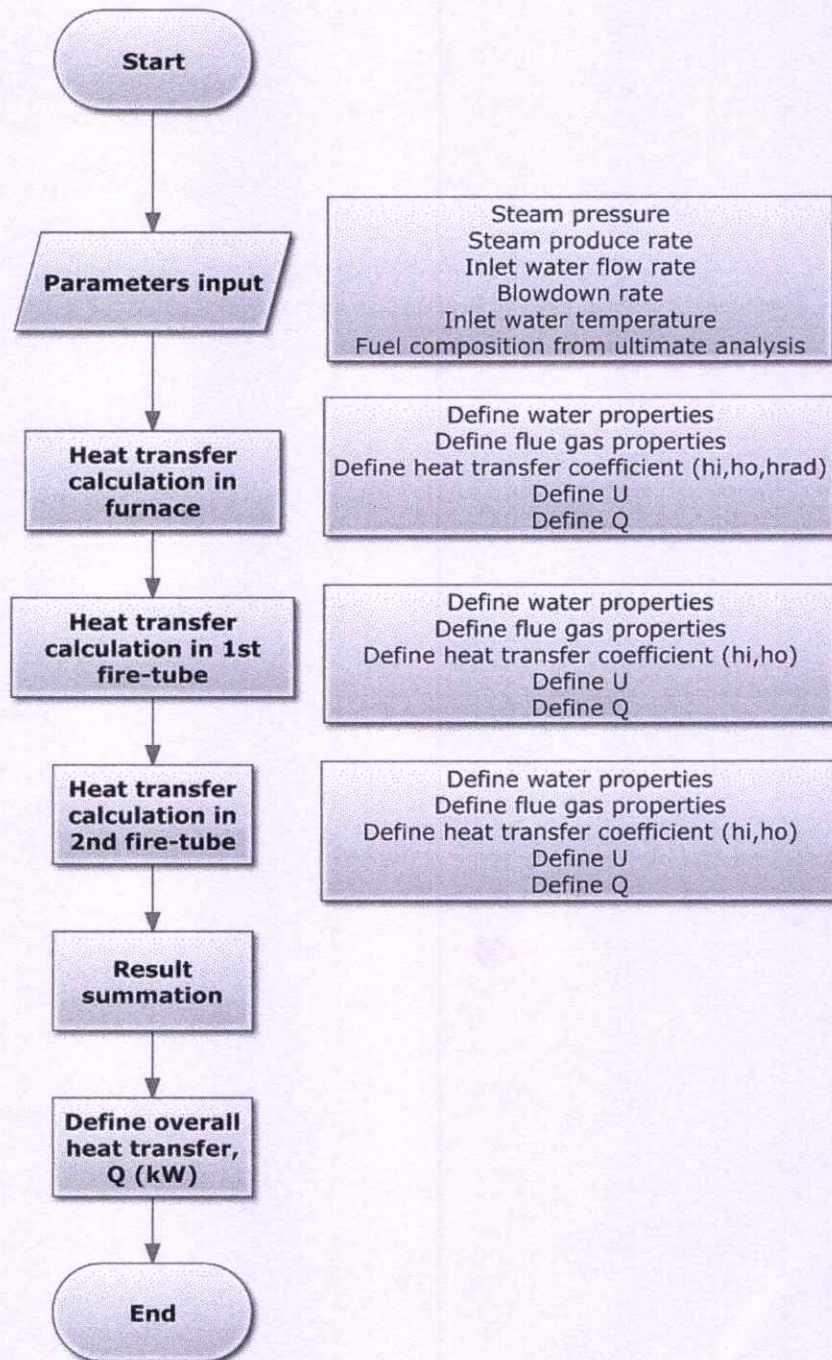
รูปที่ 3.17 สเปรตซีทคำนวณสัมประสิทธิ์การถ่ายเทความร้อนของการแผ่รังสีความร้อนในท่อไฟใหญ่

การคำนวณสัมประสิทธิ์การถ่ายเทความร้อนค่าหรือค่า h_{rad} จะหยุดคำนวณต่อเมื่อค่าความแตกต่างของ h_{rad} ใหม่กับ h_{rad} เดิมมีค่าใกล้เคียงกันโดยกำหนดค่าความแตกต่างสูงสุดที่รับได้ในการคำนวณแบบวนซ้ำอยู่ที่ 0.0001

3.4 การพัฒนาสเปรตชีทคำนวณพื้นที่การถ่ายเทความร้อน

3.4.1 การพัฒนาสเปรตชีทสำหรับตรวจสอบสมรรถนะหม้อน้ำชนิดท่อไฟ

ในหัวข้อนี้จะอธิบายในส่วนของสเปรตชีทหลักซึ่งโดยสเปรตชีทสำหรับทดสอบสมรรถนะนั้น จะมีภาพรวมของสเปรตชีทโดยแบ่งสัดส่วนการคำนวณตามรูปที่ (3.18) ดังนี้



รูปที่ 3.18 ภาพรวมของสเปรตชีทคำนวณสมรรถนะทางความร้อนหม้อน้ำชนิดท่อไฟ

จากรูปที่ (3.18) จะเห็นได้ว่าการทำงานของสเปรทซีที่นั่นแบ่งตามการเดินทางของก๊าซไอเสียในแต่ละช่วงได้แก่ ช่วงท่อไฟใหญ่ ท่อไฟเล็กกลับแรก และท่อไฟเล็กกลับที่สอง การคำนวณในแต่ละส่วนค่าคุณสมบัติทางความร้อนต่างๆจะถูกคำนวณโดยสเปรทซีที่อยู่ในหัวข้อที่ 3.3 สำหรับค่าตัวแปรต้นสำหรับสเปรทซีที่คำนวณสมรรถนะของหม้อน้ำชนิดท่อไฟนั้น มีตัวแปรดังต่อไปนี้ตามตารางที่ (3.6) และ (3.7)

ตารางที่ 3.6 ตัวอย่างพารามิเตอร์ของน้ำที่ถูกใช้เป็นตัวแปรต้นสำหรับสเปรทซีที่ตรวจสอบสมรรถนะทางความร้อน

Liquid data	
Boiler efficiency, targeted value, %	81.594
inlet liq temp (celcius deg)	76.37*
Pressure (kPa)	511.3*
Inlet Water flow rate (m ³ /hr)	0.392*
Water Blow down rate (kg/hr)	14.46*
Specific volume of water at inlet liq temp (m ³ /kg)	0.0010268
Inlet Water flow rate (kg/hr)	381.76
Inlet Water enthalpy (kJ/hr)	122075.23
Enthalpy of produced steam (kJ/hr)	1009737.07
h (kJ/kg)	319.77
T outlet (celcius deg)	152.65
hf (kJ/kg)	643.63
hfg (kJ/kg)	2105.42
hg (kJ/kg)	2749.07
total mass steam flow rate (kg/hr)	367.30

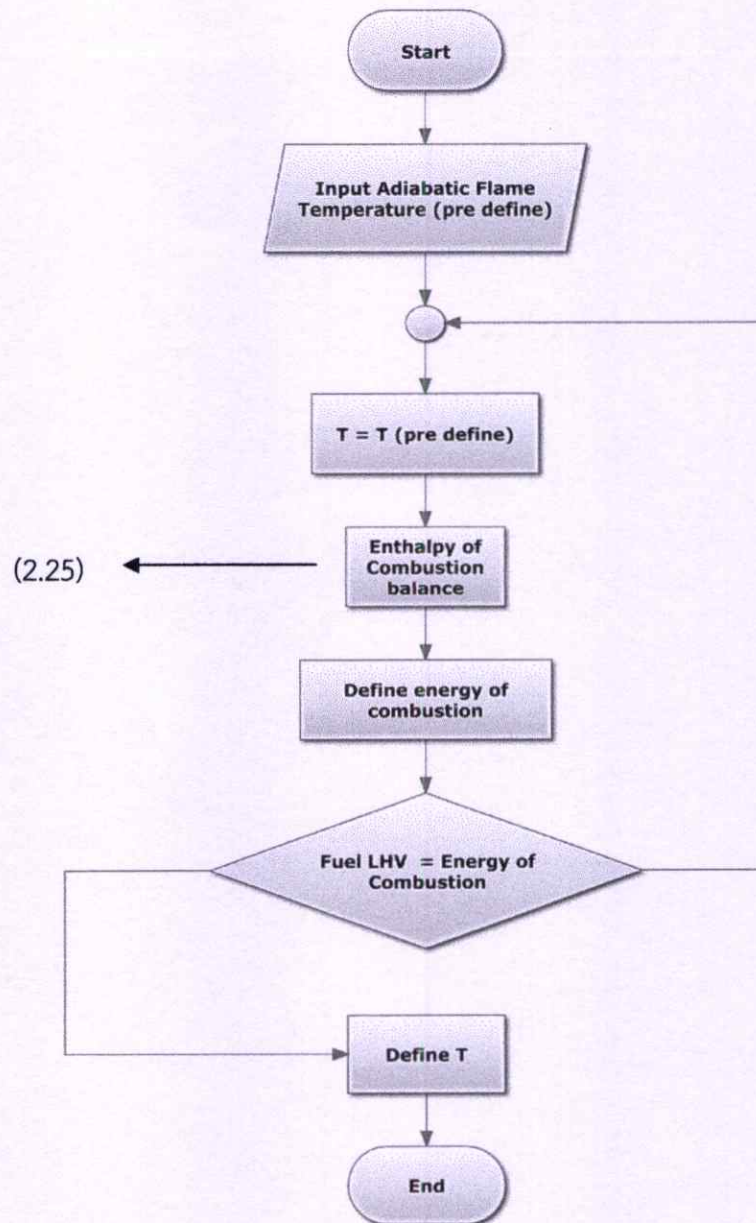
*ค่าจากการสำรวจหม้อน้ำเป็นค่าป้อนเข้าสเปรทซี

ตารางที่ 3.7 ตัวอย่างพารามิเตอร์ของก๊าซร้อนที่ถูกใช้เป็นตัวแปรต้นสำหรับสเปรทซีทตรวจสอบ
สมรรถนะทางความร้อน

Hot gas data	
Fuel stoi. A/F ratio	5.806
Excess air, %	120.06
Fuel LHV, kJ/kg	17795*
Fuel feed (kg/hr)	61.135*
Total heat fuel->steam (kJ/hr)	1087897.325
Avg. Flue gas Cp (kJ/kg K)	1.187
Thermal throughput, kw	303.77
Fuel feed rate, kg/sec (FFR)	0.017
total flue gas flow rate (kg/s)	0.233
Flue gas temp in furnace (deg. Celcius)	1124.20
flame temp at stoi (deg.Calsius)	2272.56
Flue gas temp. in chimney (deg. Celsius)	161.73
Flue gas average temp. in Boiler (deg. Celsius)	642.97

*ค่าจากการสำรวจหม้อน้ำเป็นค่าป้อนเข้าสเปรทซีท

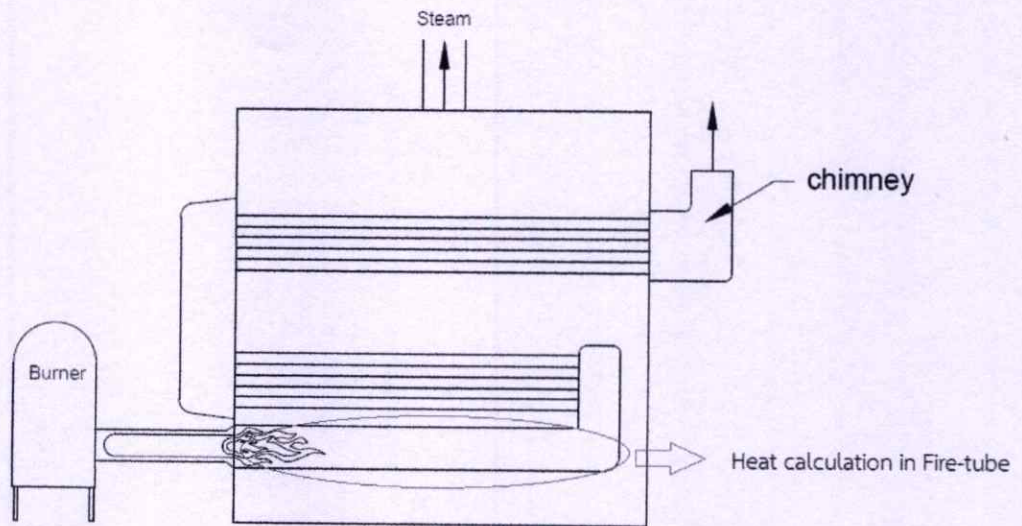
จากตารางที่ 3.7 การคำนวณอุณหภูมิไอเสียที่ทางเข้าหม้อน้ำ และอุณหภูมิเปลวไฟอะเดียแบติกนั้น
คำนวณมาจากสมการสมดุลเอนทัลปีของการเผาไหม้ โดยเป็นการคำนวณแบบวนซ้ำ โดยเริ่มจากการ
สุ่มค่าอุณหภูมิก่อนจากนั้นคำนวณเพื่อหาอุณหภูมิไอเสียที่ทางเข้าหม้อน้ำ และอุณหภูมิเปลวไฟอะเดีย
แบติก โดยการคำนวณแบบวนซ้ำจะเชื่อมโยงกับสเปรทซีทสเปรทซีทคำนวณการเผาไหม้ในรูปที่
(3.11) ทำงานโดยนำโมลของไอเสียมาคำนวณ โดยการทำงานของสเปรทซีทดังกล่าวเป็นไปตามรูปที่
(3.19)



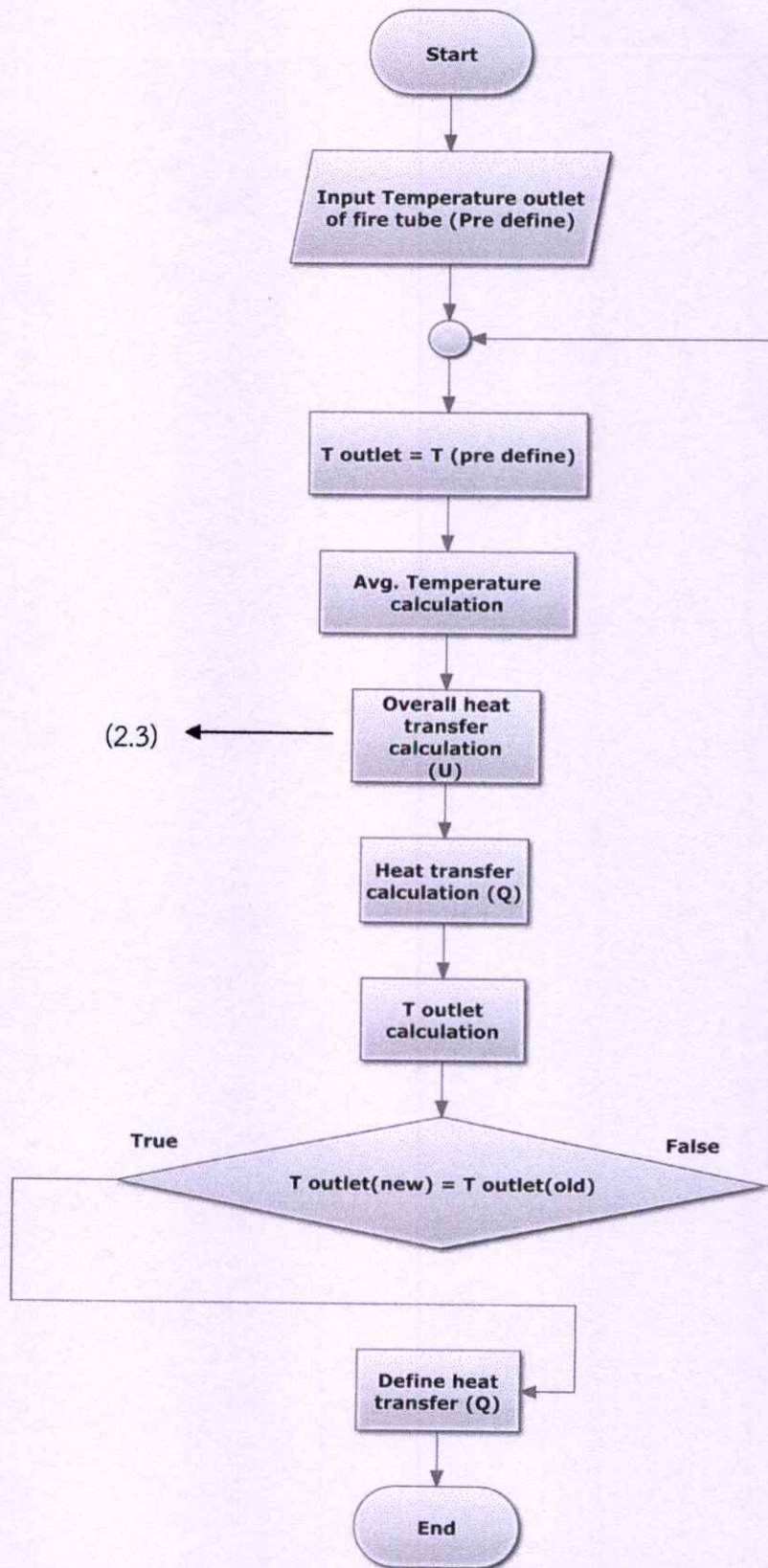
รูปที่ 3.19 สเปรทซีหาคำนวณอุณหภูมิไอเสียที่ทางเข้าหม้อน้ำ และอุณหภูมิเปลวไฟอะเดียแบติก

ค่าอุณหภูมิไอเสียที่ทางเข้าหม้อน้ำ และอุณหภูมิเปลวไฟอะเดียแบติกจะหยุดคำนวณต่อเมื่อค่าความแตกต่างของ อุณหภูมิไอเสียที่ทางเข้าหม้อน้ำ และอุณหภูมิเปลวไฟอะเดียแบติก ใหม้กับ อุณหภูมิไอเสียที่ทางเข้าหม้อน้ำ และอุณหภูมิเปลวไฟอะเดียแบติกเดิมมีค่าใกล้เคียงกันโดยกำหนดค่าความแตกต่างสูงสุดที่รับได้ในการคำนวณแบบวนซ้ำอยู่ที่ 0.0001 จากการคำนวณของสเปรทซีดังกล่าว จะทำให้ได้ค่าป้อนเข้าสำหรับสเปรทซีคำนวณพื้นที่การถ่ายเทความร้อนในท่อไฟใหญ่ คืออุณหภูมิทางเข้าของท่อไฟ โดยในส่วนของ การตรวจสอบสมรรถนะจะเป็นการคำนวณหาค่าความร้อนที่ถูกถ่ายเทในท่อไฟใหญ่ หลักการของสเปรทซีคือการคำนวณแบบวนซ้ำเพื่อหาค่า อุณหภูมิก๊าซไอเสียที่ทางออกของท่อไฟใหญ่ และอุณหภูมิเฉลี่ยภายในท่อไฟใหญ่ ก่อนนำไปคำนวณเพื่อหาค่าการถ่ายเทความร้อน แล้วจากนั้นนำค่าความร้อน Q (kW) กลับมาหาค่าอุณหภูมิก๊าซไอเสียที่ทางออกของท่อไฟ

ใหญ่อีกครั้ง หลังจากผ่านกระบวนการนี้แบบวนซ้ำ จะทำให้อุณหภูมิ โดยการทำงานเป็นไปตามรูปที่ (3.21) ซึ่งเป็นการคำนวณความร้อนในท่อไฟใหญ่ดังรูปที่ (3.20)

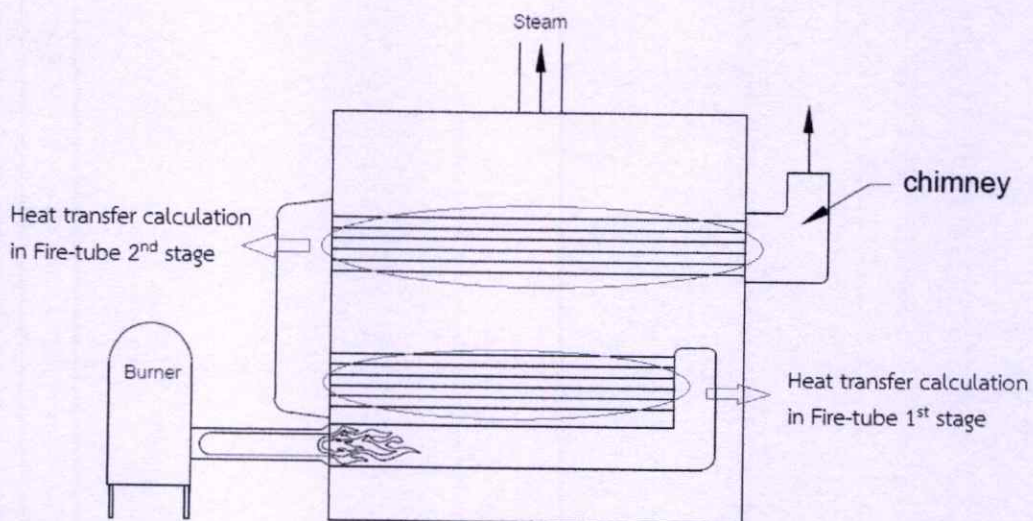


รูปที่ 3.20 แสดงบริเวณการคำนวณการถ่ายเทความร้อนในท่อไฟใหญ่ตามผังงานรูปที่ 3.21

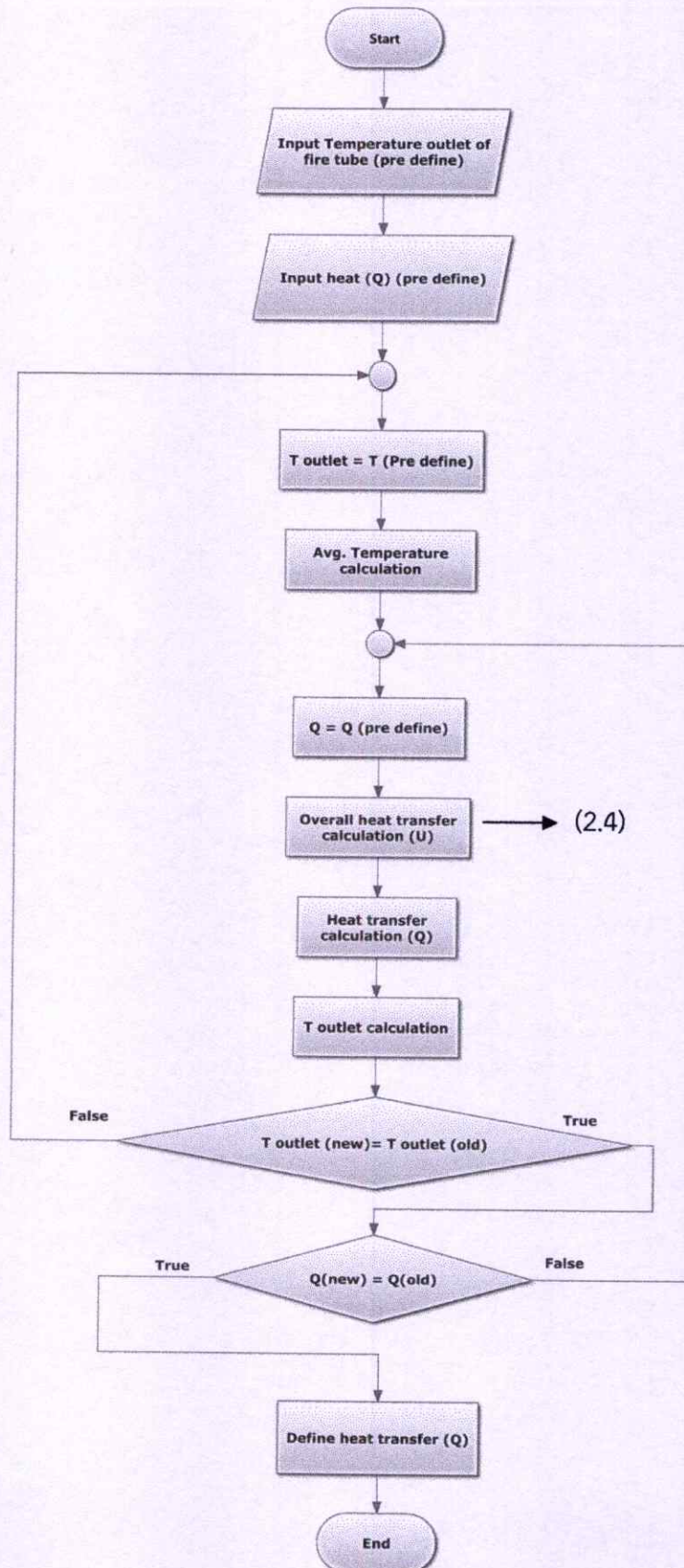


รูปที่ 3.21 สเปรทซ์หาคำนวณการถ่ายเทความร้อนในท่อไฟใหญ่

ค่า T_{out} จะหยุดคำนวณต่อเมื่อค่าความแตกต่างของ T_{out} ใหม่กับ T_{out} เดิมมีค่าใกล้เคียงกันโดยกำหนดค่าความแตกต่างสูงสุดที่รับได้ในการคำนวณแบบวนซ้ำอยู่ที่ 0.0001 การคำนวณค่า U หรือสัมประสิทธิ์การถ่ายเทความร้อนรวมในท่อไฟใหญ่นั้น มีการคำนวณด้วยค่า สัมประสิทธิ์การถ่ายเทความร้อน (h) ของการนำความร้อนผ่านเนื้อท่อ การพาความร้อนของทางฝั่งน้ำ การพาความร้อนและการแผ่รังสีความร้อนของก๊าซร้อนในท่อไฟ โดยค่า h ของการแผ่รังสีความร้อนนั้นหาได้จากการคำนวณแบบวนซ้ำจากฝั่งงานรูปที่ (3.17) ในหัวข้อ 3.3.5 ที่ผ่านมา ในการคำนวณถัดจากท่อไฟใหญ่เป็นการคำนวณในท่อไฟเล็กกลับแรก โดยฝั่งงานจะมีความแตกต่างจากฝั่งงานแรก เนื่องจากค่าที่ถูกวนซ้ำเพื่อคำนวณใหม่ นอกจากจะเป็นค่าอุณหภูมิที่ทางออกของท่อไฟเล็กแล้ว ยังใช้ค่าการถ่ายเทความร้อนในท่อไฟเล็ก นำไปคำนวณซ้ำในการคำนวณค่า สัมประสิทธิ์การถ่ายเทความร้อนจากการเดือดแบบ Pool boiling อีกด้วย ทำให้การคำนวณในกลับแรกของท่อไฟเล็กมีความซับซ้อนกว่า โดยฝั่งงานของสเปรตซีทคำนวณการถ่ายเทความร้อนในท่อไฟเล็กกลับที่หนึ่ง เป็นไปตามฝั่งงานรูปที่ (3.23) การคำนวณทั้งสองขั้นตอนที่ผ่านมาใช้ค่าอุณหภูมิที่ทางออกจากท่อไฟเป็นอุณหภูมิเข้าของท่อถัดมา การทำงานของสเปรตซีทจะทำงานเชื่อมโยงกัน เพราะฉะนั้นหากมีข้อผิดพลาดเกิดขึ้น จะส่งผลต่อค่าที่คำนวณทั้งหมด และสเปรตซีทสุดท้ายของการตรวจสอบสมรรถนะทางความร้อนของหม้อน้ำคือสเปรตซีทคำนวณการถ่ายเทความร้อนท่อไฟเล็กกลับที่สอง ความแตกต่างของสเปรตซีทสุดท้ายคือใช้ค่าอุณหภูมิไอเสียจากการตรวจวัดจริงเป็นอุณหภูมิที่ทางออกของท่อไฟเล็กกลับที่สอง การคำนวณในขั้นตอนสุดท้ายจึงไม่มีการคำนวณแบบวนซ้ำ เป็นการคำนวณตามกระบวนการเพื่อหาสัมประสิทธิ์การถ่ายเทความร้อนรวมเพื่อค่าการถ่ายเทความร้อนในท่อไฟเล็กกลับที่สอง โดยสามารถดูได้จากฝั่งงานรูปที่ (3.24) ขั้นตอนสุดท้ายคือนำค่าการถ่ายเทความร้อนจากสเปรตซีทส่วนมารวมกันแล้วเปรียบเทียบกับค่าการถ่ายเทความร้อนจากการสำรวจหม้อน้ำเพื่อเปรียบเทียบค่าความคลาดเคลื่อนที่เกิดขึ้น แล้วจึงแก้ไข หรือตรวจสอบความผิดพลาดเพื่อลดค่าความคลาดเคลื่อนดังกล่าว สำหรับรูปประกอบแสดงพื้นที่การคำนวณการถ่ายเทความร้อนในท่อไฟเล็กกลับที่ 1 และ 2 สามารถดูได้ดังรูปที่ (3.22)

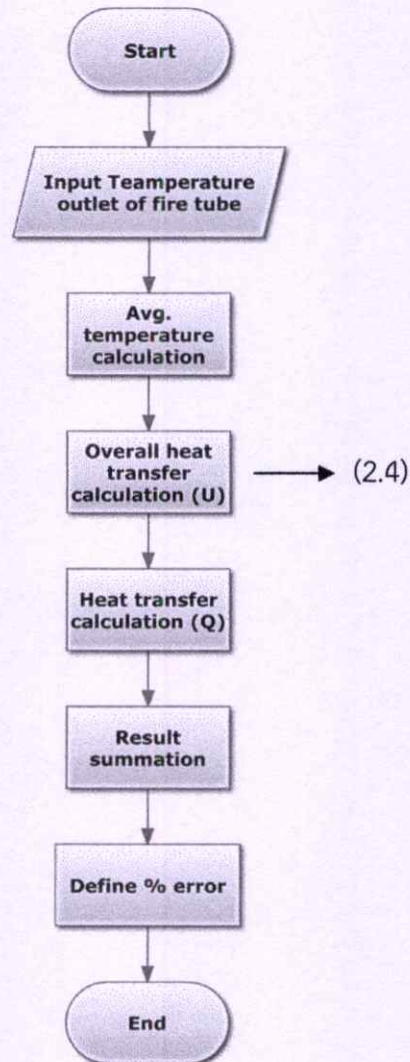


รูปที่ 3.22 แสดงบริเวณการคำนวณการถ่ายเทความร้อนในท่อไฟใหญ่ตามฝั่งงานรูปที่ 3.23 และ 3.24



รูปที่ 3.23 สเปรทซีหาคำนวณการถ่ายเทความร้อนในท่อไฟเล็กกลับที่หนึ่ง

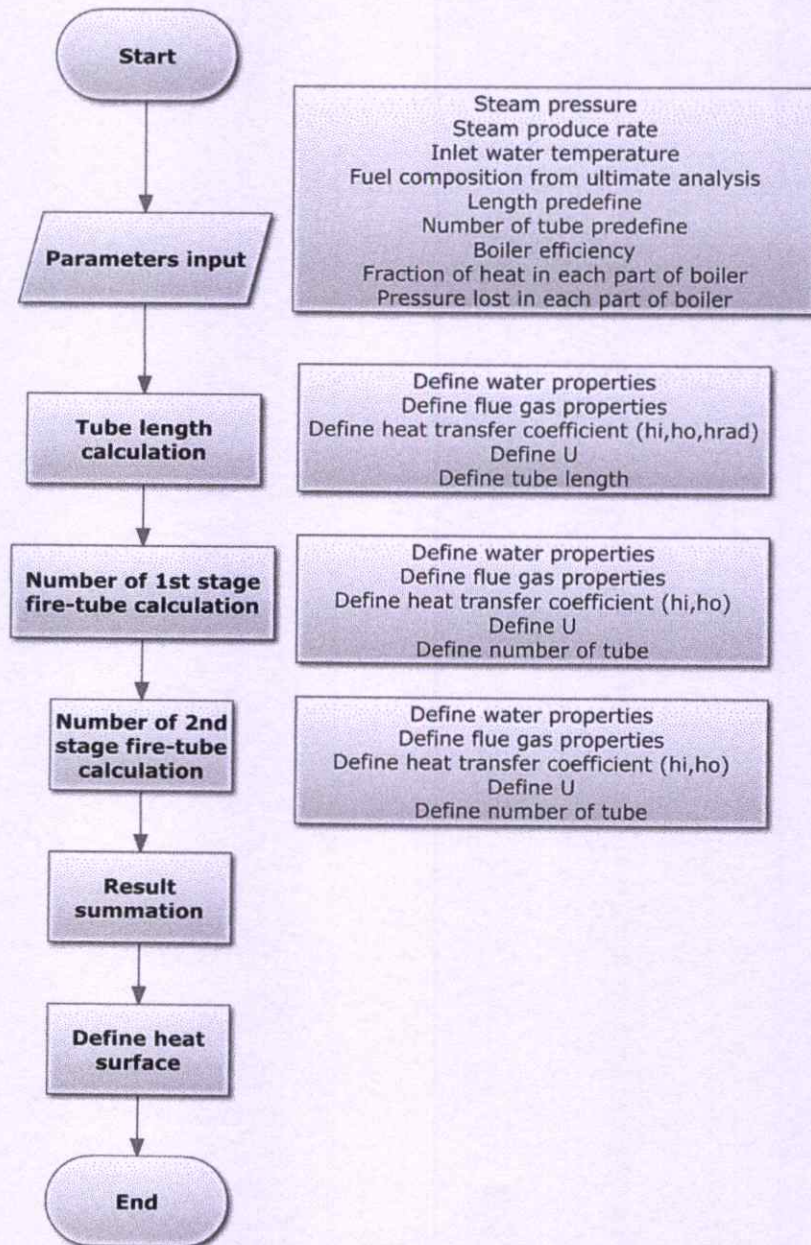
ค่า T_{out} จะหยุดคำนวณต่อเมื่อค่าความแตกต่างของ T_{out} ใหม่กับ T_{out} เดิมมีค่าใกล้เคียงกันโดยกำหนดค่าความแตกต่างสูงสุดที่รับได้ในการคำนวณแบบวนซ้ำอยู่ที่ 0.0001 และค่า Q จะหยุดคำนวณต่อเมื่อค่าความแตกต่างของ Q ใหม่กับ Q เดิม มีค่าใกล้เคียงกันโดยกำหนดค่าความแตกต่างสูงสุดที่รับได้ในการคำนวณแบบวนซ้ำอยู่ที่ 0.0001



รูปที่ 3.24 สเปรทซีทคำนวณการถ่ายเทความร้อนในท่อไฟเหล็กกลับที่สอง

ในผังงานสุดท้ายค่า T_{out} คืออุณหภูมิที่ปล่องในขั้นตอนนี้จะไม่มีการคำนวณแบบวนซ้ำ และจะคำนวณหาปริมาณ Q ออกมาโดยตรงก่อนนำมารวมผลกับความร้อนในสองส่วนที่คำนวณผ่านมา เพื่อหาความคลาดเคลื่อน

3.4.2 สเปรทซีหาคำนวณพื้นที่การถ่ายเทความร้อนของหม้อน้ำ



รูปที่ 3.25 ภาพรวมสเปรทซีหาคำนวณพื้นที่การถ่ายเทความร้อนหม้อน้ำชนิดท่อไฟ

สเปรทซีต่อไปนี้เป็นการพัฒนาสำหรับการออกแบบหม้อน้ำซึ่งต่างกับหัวข้อที่ 3.4.1 ซึ่งออกแบบเพื่อตรวจสอบสมรรถนะ แต่สิ่งที่เหมือนกันคือสเปรทซีทั้งสองใช้ความสัมพันธ์รวมถึงสมการเดียวกันได้การคำนวณเพียงแต่ผลลัพธ์จากสเปรทซีที่แตกต่างกัน ในหัวข้อนี้ สเปรทซีจะคำนวณความยาวท่อไฟใหญ่ และจำนวนท่อไฟเล็กที่ต้องใช้ ซึ่งทั้งสองตัวแปรจะมีผลโดยตรงกับค่าพื้นที่การถ่ายเทความร้อน จากนั้นจึงนำค่าที่คำนวณได้ไปเปรียบเทียบกับจำนวนพื้นที่การถ่ายเทความ

ร้อนจริงจากการสำรวจ จากตารางที่ (3.8) และ (3.9) แสดงถึงตัวแปรตั้งต้นสำหรับการออกแบบพื้นที่การถ่ายเทความร้อนของหม้อน้ำชนิดท่อไฟด้วยสเปรทซีท

ตารางที่ 3.8 ตัวอย่างพารามิเตอร์ของก๊าซร้อนที่ถูกใช้เป็นตัวแปรตั้งต้นสำหรับสเปรทซีทคำนวณพื้นที่การถ่ายเทความร้อน

Hot gas data	
Fuel stoi. A/F ratio	5.806
Excess air,%	120.06*
Fuel LHV, kj/kg	17795*
Avg. Flue gas Cp (kj/kg K)	1.187
Thermal throughput, kw	301.806
Fuel feed rate, kg/sec (FFR)	0.017
total flue gas flow rate (kg/s)	0.231
Flue gas temp (deg. Celcius)	1124.20
L predefined (m)	3.00*
flame temp at stoi	2272.56

*ค่าจากการสำรวจหม้อน้ำเป็นค่าป้อนเข้าของสเปรทซีท

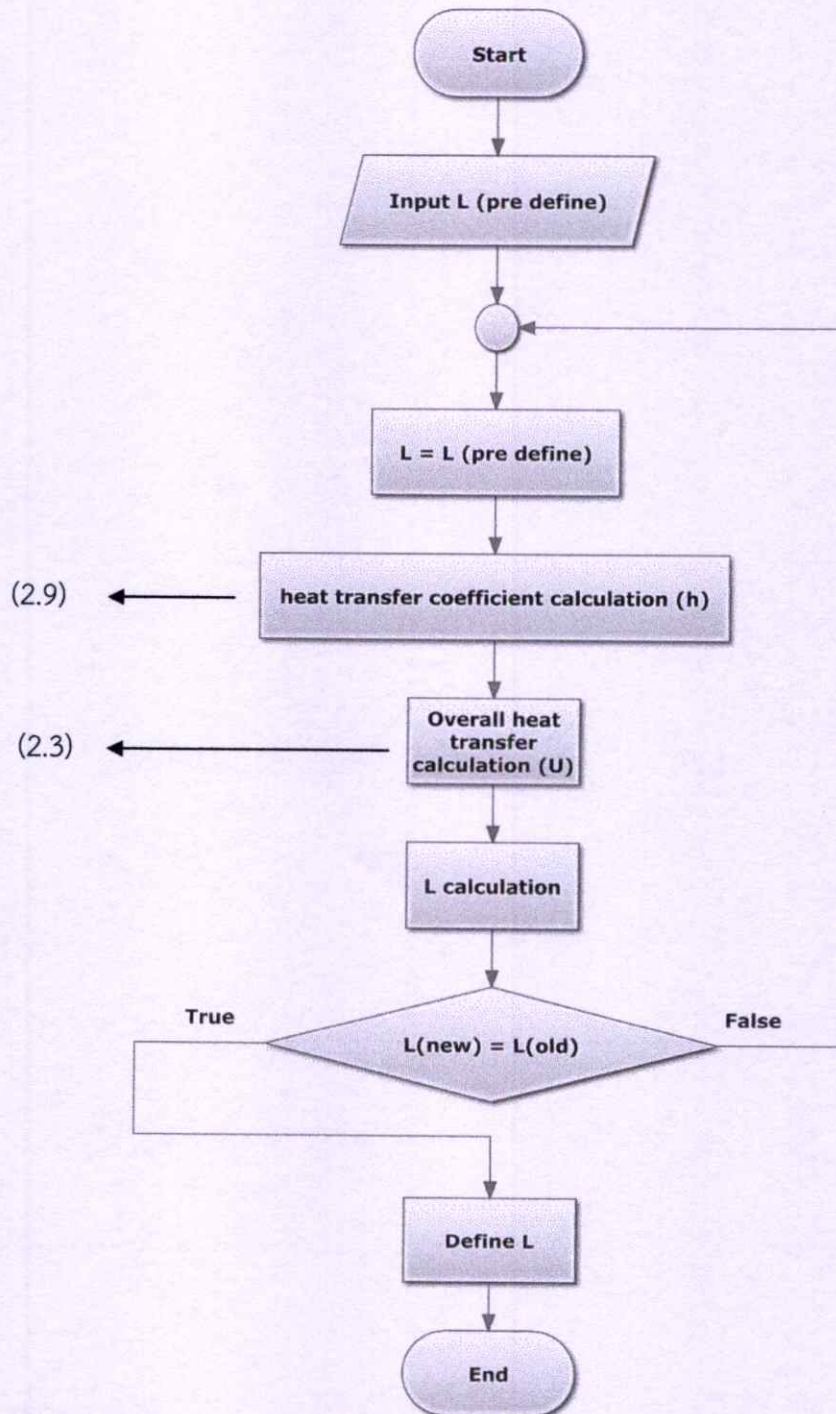
ตารางที่ 3.9 ตัวอย่างพารามิเตอร์ของน้ำที่ถูกใช้เป็นตัวแปรตั้งต้นสำหรับสเปรทซีทตรวจสอบสมรรถนะทางความร้อน

Liquid data	
Boiler efficiency, %	81.567*
inlet liq temp (celcius deg)	76.37*
P(kPa)	511.3*
h (kj/kg)	335.02
T outlet (celcius deg)	152.65
hf (kj/kg)	643.63
hfg (kj/kg)	2105.42
total mass flow rate (kg/s)	0.102*

*ค่าจากการสำรวจหม้อน้ำเป็นค่าป้อนเข้าของสเปรทซีท

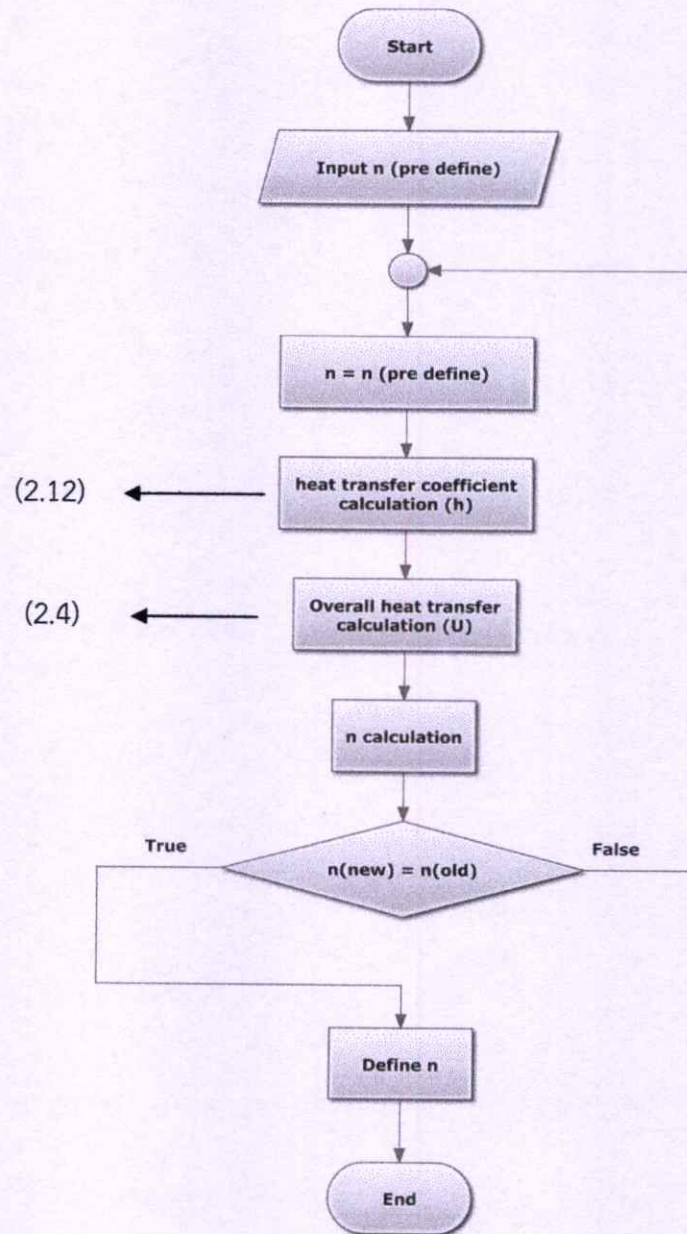
จากตารางที่ (3.6) ค่าที่ป้อนเข้าสเปรทซีทคือเปอร์เซ็นต์อากาศส่วนเกิน ค่าความร้อนของเชื้อเพลิง และค่าความยาว L ซึ่งเป็นค่าตั้งต้นที่กำหนดมาก่อนให้สเปรทซีทคำนวณแบบวนซ้ำเพื่อคำนวณหาความ

ยาวในการออกแบบท่อไฟใหญ่ ซึ่งความยาวที่พอเหมาะนั้น ขึ้นอยู่กับการกำหนดอัตราส่วนการออกแบบสัดส่วนทางความร้อน (%) จากการคำนวณเอนทาลปีในตารางที่ (3.7) ว่าการทำความร้อนให้น้ำมีอุณหภูมิ ความดัน และอัตราการผลิตไอ ถึงค่าที่ต้องการนั้นต้องใช้ปริมาณความร้อนเท่าไร โดยการทำงานของสเปรทซีหาคำนวณความยาวของท่อไฟใหญ่เป็นไปตามผังงานรูปที่ (3.26) ดังนี้



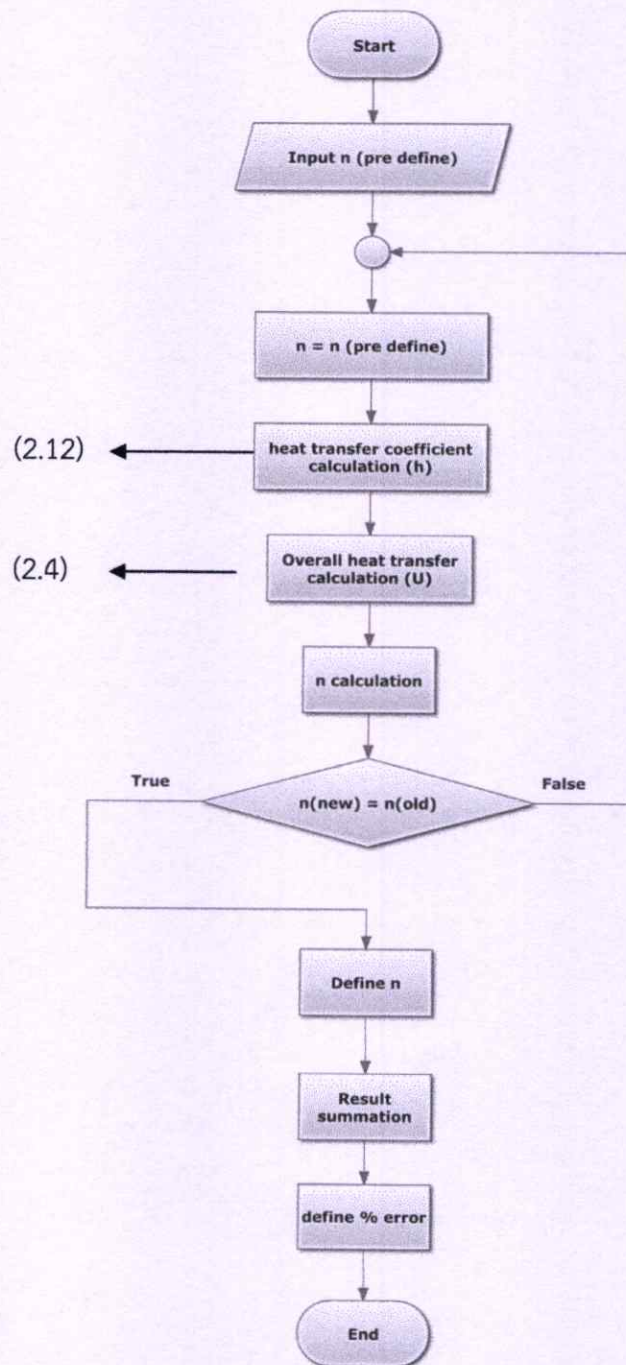
รูปที่ 3.26 สเปรทซีหาคำนวณความยาวท่อไฟใหญ่ที่จำเป็นเพื่อคำนวณพื้นที่การถ่ายเทความร้อน

ค่า L จะหยุดคำนวณต่อเมื่อค่าความแตกต่างของ L ใหม่กับ L เดิมมีค่าใกล้เคียงกันโดยกำหนดค่าความแตกต่างสูงสุดที่รับได้ในการคำนวณแบบวนซ้ำอยู่ที่ 0.0001 ในขั้นตอนถัดมาเป็นการคำนวณเพื่อหาจำนวนท่อไฟเล็กที่ใช้ในการออกแบบ โดยกำหนดสัดส่วนความร้อนเช่นเดียวกันกับในสเปรตชีทแรก จากนั้นป้อนค่า จำนวนท่อ (n) ในท่อไฟเล็กกลับที่หนึ่ง เป็นค่าตั้งต้นก่อนคำนวณแบบวนซ้ำเพื่อหาผลลัพธ์ ความแตกต่างของสเปรตชีทแรกกับสเปรตชีทที่สองแตกต่างกันที่สูตรที่ใช้เนื่องจากสมมติฐานแตกต่างกัน และต่างกันที่ผลลัพธ์ที่หา โดยสามารถดูกระบวนการทำงานของสเปรตชีทได้ในผังงานรูปที่ (3.27)



รูปที่ 3.27 สเปรตชีทคำนวณจำนวนท่อที่ใช้ในสเปรตชีทการคำนวณพื้นที่การถ่ายเทความร้อน

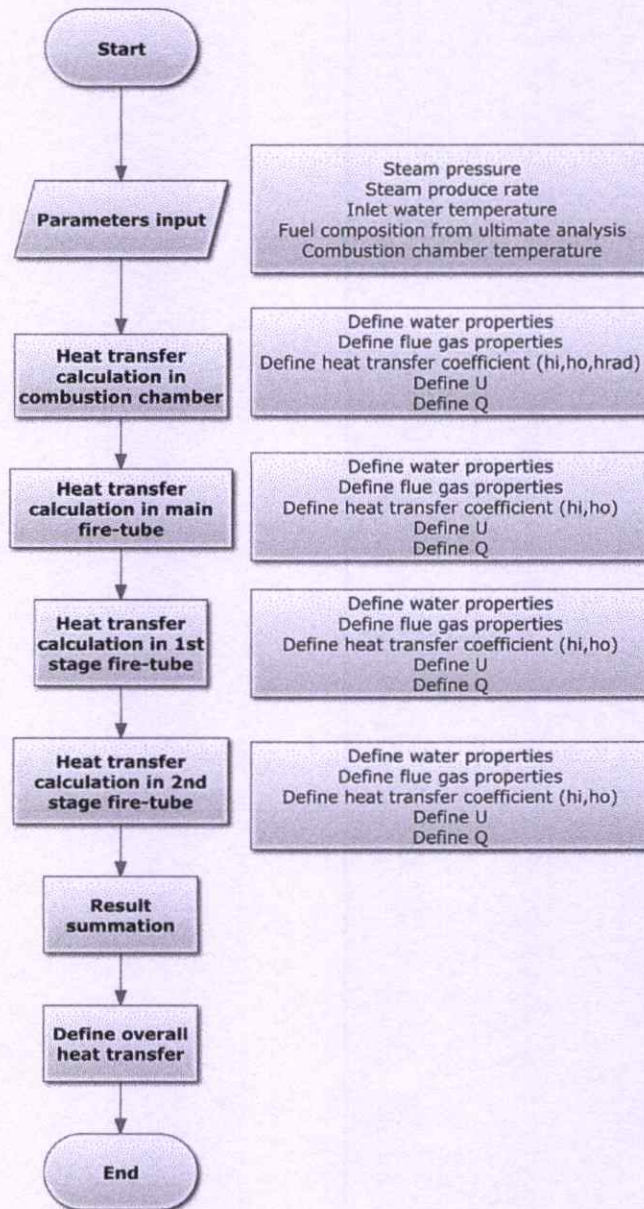
ค่า n จะหยุดคำนวณต่อเมื่อค่าความแตกต่างของ n ใหม่กับ n เดิมมีค่าใกล้เคียงกันโดยกำหนดค่าความแตกต่างสูงสุดที่รับได้ในการคำนวณแบบวนซ้ำอยู่ที่ 0.0001 สเปรทซีฟสุดท้ายหลังจากการกำหนดสัดส่วนความร้อนในสเปรทซีฟที่ผ่านมาทั้งสองขั้นตอน ความร้อนในส่วนที่เหลือจะถูกนำไปใช้คำนวณจำนวนท่อในท่อไฟเล็กกลับที่สอง โดยสเปรทซีฟนี้มีความเหมือนกับสเปรทซีฟคำนวณท่อไฟเล็กในกลับที่หนึ่ง สามารถดูได้จากผังงานรูปที่ (3.28)



รูปที่ 3.28 สเปรทซีฟคำนวณพื้นที่การถ่ายเทความร้อนของหม้อน้ำชนิดท่อไฟ

ค่า n จะหยุดคำนวณต่อเมื่อค่าความแตกต่างของ n ใหม่กับ n เดิมมีค่าใกล้เคียงกันโดยกำหนดค่าความแตกต่างสูงสุดที่รับได้ในการคำนวณแบบวนซ้ำอยู่ที่ 0.0001

3.4.3 สเปรตซีที่ตรวจสอบสมรรถนะของหม้อน้ำชนิดลูกผสม

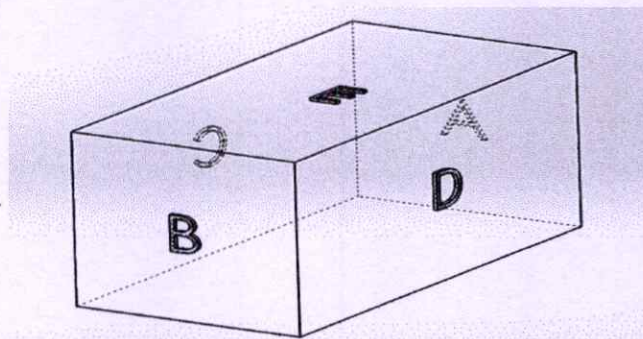


รูปที่ 3.29 ภาพรวมสเปรตซีที่ตรวจสอบสมรรถนะทางความร้อนหม้อน้ำชนิดลูกผสม

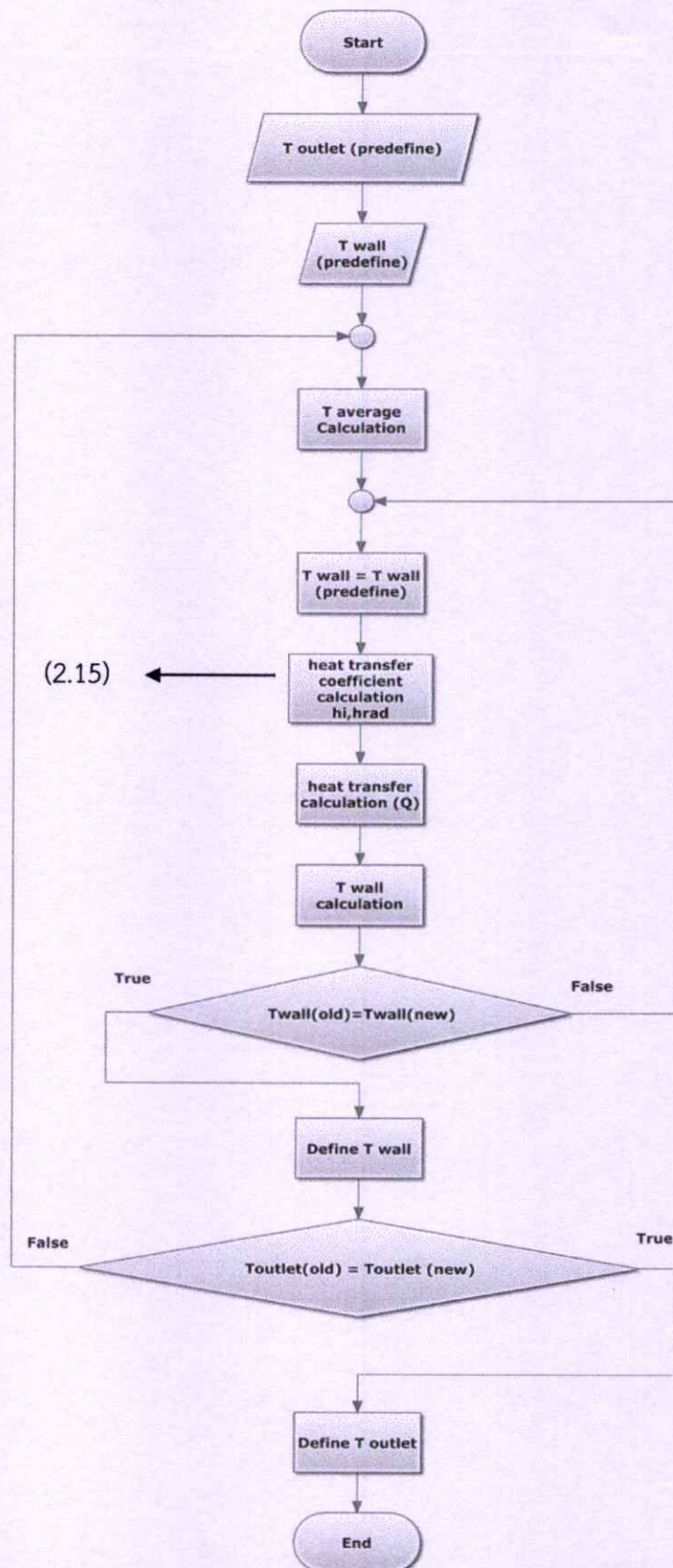
ในหม้อน้ำลูกผสมมีการแบ่งการคำนวณออกเป็น 4 ขั้นตอนคือ การคำนวณความร้อนในห้องเผาไหม้ที่มีท่อน้ำล้อมรอบ ท่อไฟใหญ่ ท่อไฟเล็กกลับที่หนึ่ง และท่อไฟเล็กกลับที่สอง สำหรับสเปรตซีที่คำนวณการถ่ายเทความร้อนในท่อไฟเล็กกลับที่หนึ่ง และท่อไฟเล็กกลับที่สอง สามารถดูการทำงานได้จากผังงานรูปที่ (3.23) และ (3.24) ได้เนื่องจากมีการทำงานเหมือนกัน แต่สำหรับท่อไฟ

ใหญ่ และห้องเผาไหม้นั้น มีข้อแตกต่างจากสเปรทซ์ที่ผ่านมานี้เนื่องจาก สมมติฐานของการถ่ายเทความร้อนแตกต่างกัน สเปรทซ์คำนวณการถ่ายเทความร้อนในห้องเผาไหม้นั้นมีลักษณะผังงานเป็นไปตามผังงานรูปที่ (3.31) ซึ่งมีการคำนวณสัมประสิทธิ์การแผ่รังสีความร้อนแตกต่างจากในหม้อน้ำชนิดท่อไฟ สิ่งที่แตกต่างกันคือในสเปรทซ์หม้อน้ำชนิดลูกผสมถึงแม้จะมีการคำนวณแบบวนซ้ำโดยกำหนดอุณหภูมิที่ทางออกของแต่ละส่วนของหม้อน้ำเช่นเดียวกัน แต่การวนหาค่าตอบนั้นใช้การวนซ้ำย่อยภายในอีก สามารถตรวจสอบผังงานดังกล่าวได้ในผังงานรูปที่ (3.31) ซึ่งเป็นการกำหนดค่าอุณหภูมิผังงานเฉลี่ยตั้งต้นของจากผังงานที่รับรังสีความร้อน 5 ผังก่อนนำมาคำนวณแบบวนซ้ำเพื่อหาอุณหภูมิผังงานเฉลี่ยก่อนคำนวณค่าสัมประสิทธิ์การแผ่รังสีความร้อนเฉลี่ย เพื่อนำไปใช้ในการคำนวณค่าสัมประสิทธิ์การถ่ายเทความร้อนรวมในการคำนวณหลัก การคำนวณเพื่อหาค่าการถ่ายเทความร้อนในห้องเผาไหม้ มีความแตกต่างของสมมติฐานทำให้การคำนวณการแผ่รังสีความร้อนมีความซับซ้อนมากยิ่งขึ้น หากเปรียบเทียบกับในท่อไฟใหญ่ พื้นที่ผิวทรงกระบอกถือว่าเป็นพื้นที่ผิวเพียงด้านเดียวที่รับรังสี แต่ในห้องเผาไหม้ที่มีท่อน้ำล้อมรอบนั้น ทุกด้านคือพื้นที่ที่รับรังสี ดังรูปที่ (3.30) โดยตั้งสมมติฐานให้เปลวไฟแผ่รังสีคือพื้นที่ตรงพื้นของห้องเผาไหม้ ส่งผลให้สมมติฐานแตกต่างกันกับในท่อไฟใหญ่ และสมมติฐานในท่อไฟใหญ่หม้อน้ำชนิดลูกผสมก็มีความแตกต่าง หากเปรียบเทียบกับหม้อน้ำชนิดท่อไฟ ตรงที่มีการถ่ายเทความร้อนจากการพาความร้อนเท่านั้น ไม่มีการแผ่รังสีเนื่องจากไม่มีเปลวไฟในท่อเหมือนในหม้อน้ำชนิดท่อไฟ ทำให้สมมติฐานแตกต่างกัน โดยการทำงานของสเปรทซ์ดังกล่าวเป็นไปตามผังงานรูปที่ (3.21) แตกต่างเพียงสมมติฐานที่ใช้ และสูตรคำนวณในสเปรทซ์เท่านั้น

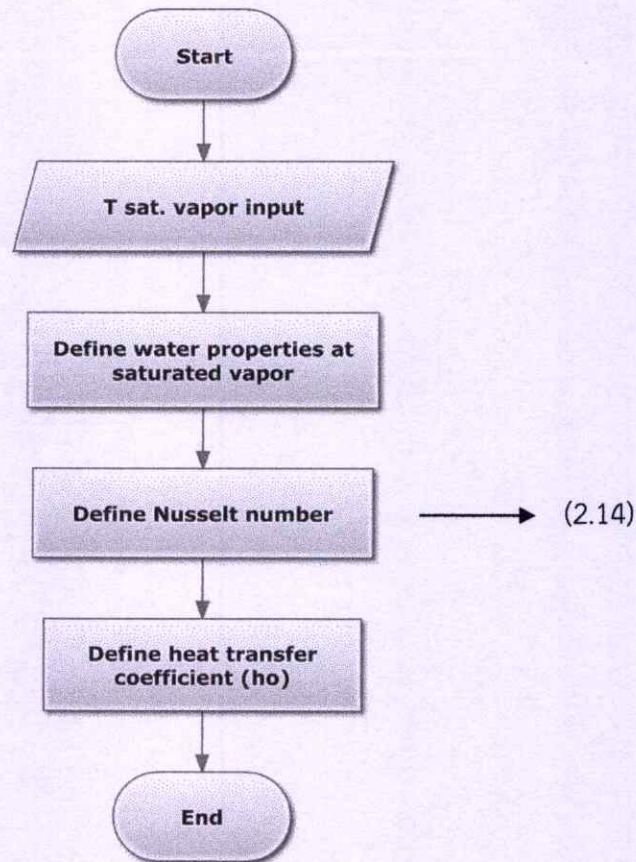
สำหรับการคำนวณคุณสมบัติของน้ำนั้นเป็นไปตามผังงานรูปที่ (3.32) การคำนวณคุณสมบัติของน้ำของทุกสเปรทซ์มีลักษณะเดียวกัน คือใช้ค่าป้อนเข้าคือ อุณหภูมิของน้ำในสถานะไอน้ำอิ่มตัว จากนั้นนำอุณหภูมิดังกล่าวไปคำนวณหาคุณสมบัติเพื่อนำมาคำนวณหาค่าสัมประสิทธิ์การถ่ายเทความร้อนของด้านน้ำ (h_o)



รูปที่ 3.30 พื้นที่รับรังสีความร้อนในห้องเผาไหม้ของหม้อน้ำชนิดลูกผสม (พื้นที่ A-E)



รูปที่ 3.31 สเปทชีทคำนวณการถ่ายเทความร้อนในห้องเผาไหม้

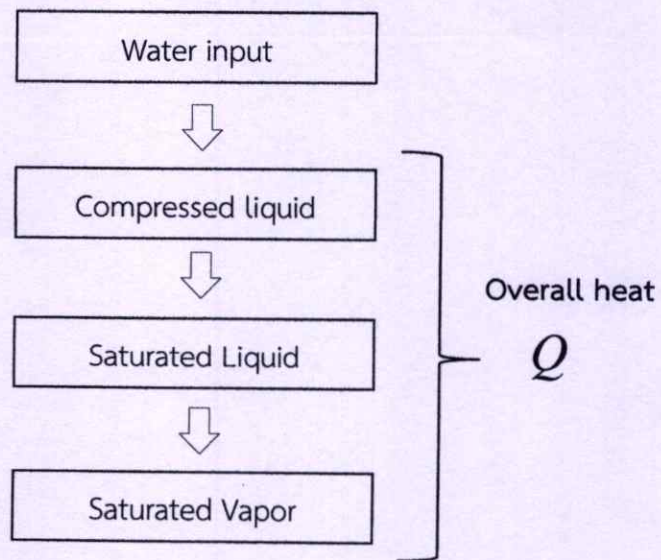


รูปที่ 3.32 สเปรทซีทคำนวณสัมประสิทธิ์การถ่ายเทความร้อนด้านน้ำ

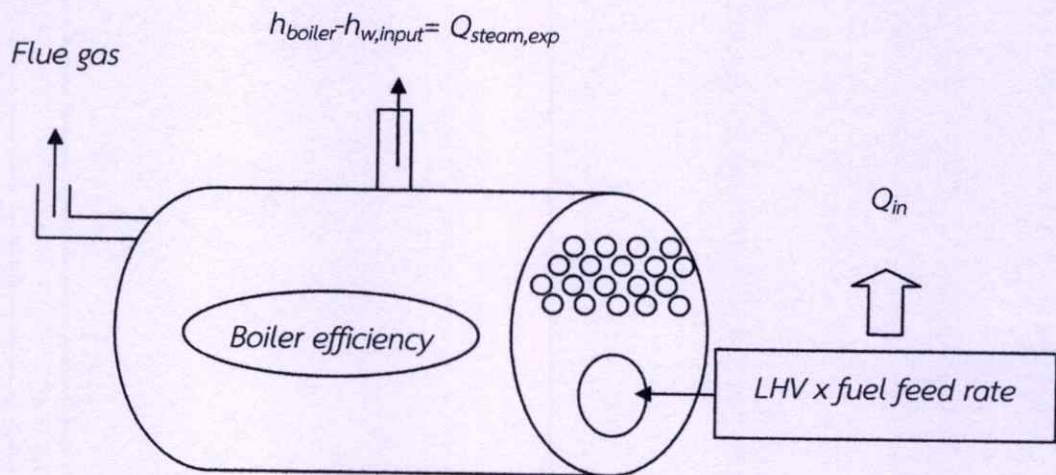
3.5 วิธีการตรวจสอบความถูกต้องของสเปรทซีท

3.5.1 วิธีการตรวจสอบความถูกต้องของสเปรทซีท

การตรวจสอบความถูกต้องของการคำนวณนั้นตรวจสอบจากสเปรทซีทตรวจสอบสมรรถนะทางความร้อนของหม้อน้ำ โดยใช้ผลรวมของปริมาณการถ่ายเทความร้อนแต่ละส่วนของหม้อน้ำที่สเปรทซีทคำนวณออกมาได้ ตามผังงานในหัวข้อ 3.3 เทียบกับปริมาณความร้อนที่จำเป็นต้องใช้ในการทำให้น้ำเดือดถึงสถานะไออิ่มตัว โดยนำความร้อนดังกล่าวมาเทียบเพื่อหาเปอร์เซ็นต์ความคลาดเคลื่อน ดังรูปที่ (3.33) เพื่อนำมาวิเคราะห์หาถึงสาเหตุของความคลาดเคลื่อนดังกล่าว วิธีการนี้ถูกใช้ทั้งในสเปรทซีทสำหรับตรวจสอบสมรรถนะทั้งในหม้อน้ำชนิดท่อไฟ และลูกผสม โดยปริมาณความร้อนที่ใช้ในการเปลี่ยนสถานะของน้ำนั้นแปรผันตามอัตราการผลิตไอน้ำจากผู้ใช้งานหม้อน้ำจริง โดยค่าที่ถูกเก็บผลเพื่อนำมาใช้คำนวณปริมาณความร้อนในการเปลี่ยนสถานะน้ำคือ ปริมาณน้ำป้อนหม้อน้ำ กับอัตราการไหลของน้ำป้อนหม้อน้ำ โดยปริมาณน้ำป้อนจะถูกนำไปเชื่อมโยงกับตารางเทอมโอดนามิกส์เพื่อหาเอนทัลปีของการเปลี่ยนสถานะจากของเหลวเป็นไอน้ำอิ่มตัว สำหรับอัตราการไหลของน้ำป้อนคือปริมาณน้ำที่ถูกทิ้งจากหม้อน้ำ เพราะฉะนั้นหากลบอัตราไหลของน้ำป้อน จะได้อัตราการผลิตไอน้ำ ซึ่งอัตราการผลิตไอน้ำนั้นจะถูกนำไปคูณด้วยเอนทัลปีของการเปลี่ยนสถานะจากของเหลวเป็นไอน้ำอิ่มตัว เพื่อนำค่าดังกล่าวเทียบกับปริมาณความร้อนที่ต้องจ่ายให้กับหม้อน้ำ เพื่อคำนวณหาประสิทธิภาพหม้อน้ำดังรูปที่ (3.34)



รูปที่ 3.33 ปริมาณความร้อนที่ต้องการในการทำให้น้ำเปลี่ยนสถานะจากของเหลวเป็นไออิ่มตัว



รูปที่ 3.34 การเทียบปริมาณความร้อนที่จ่ายหม้อน้ำเทียบกับพลังงานความร้อนจากไอน้ำ เพื่อหาประสิทธิภาพหม้อน้ำ

การตรวจสอบความถูกต้องด้วยวิธีการดังกล่าว เป็นการตรวจสอบเบื้องต้นว่าผลจากการคำนวณโดยสเปรทชีทนั้น ถูกต้องตามทฤษฎีหรือไม่ สำหรับการตรวจสอบความแม่นยำของสเปรทชีทนั้น ยังมีวิธีอื่น เช่นการตรวจสอบอุณหภูมิในแต่ละส่วนของหม้อน้ำเทียบกับหม้อน้ำจริง แต่ด้วยข้อจำกัดของการทดลองทำให้ไม่สามารถตรวจสอบได้ โดยจะบรรยายไว้ในบทที่ 5 ในหัวข้อที่ 5.4 หลังจากแสดงผลการคำนวณของสเปรทชีท

บทที่ 4

วิเคราะห์ผลการทดลอง และการประยุกต์ใช้สเปรทซีทเพื่อ ออกแบบหม้อน้ำ

4.1 สเปรทซีททดสอบสมรรถนะทางความร้อนของหม้อน้ำชนิดท่อไฟ

ในหัวข้อนี้ แสดงผลการทดสอบสเปรทซีทตามบทที่ 3 ในหัวข้อที่ 3.4.1 ตามผังงานการทำงานของสเปรทซีท การวิเคราะห์ทดลองมีจุดประสงค์ดังต่อไปนี้

- ตรวจสอบสมรรถนะของสเปรทซีท โดยเทียบการถ่ายเทความร้อนที่ใช้จริง กับการคำนวณจากสเปรทซีทและวิเคราะห์ความคลาดเคลื่อน
- วิเคราะห์อิทธิพลของการถ่ายเทความร้อน โดยวิเคราะห์จากการคำนวณของสเปรทซีท ในเทอมของค่า Overall heat transfer coefficient ในแต่ละส่วนของท่อไฟ

4.1.1 การตรวจสอบสมรรถนะของสเปรทซีท

ตรวจสอบโดยเปรียบเทียบค่าจากการตรวจวัดจริง กับค่าที่คำนวณจากสเปรทซีท สำหรับค่าที่ตรวจวัดจริงคำนวณมาจากตัวแปรต้นซึ่งถูกวัดค่ามาจากหม้อน้ำชนิดท่อไฟ โดยตัวแปรที่ใช้ในการคำนวณคือ อัตราการไหลมวล ความดันใช้งาน อุณหภูมิน้ำป้อน อัตราการไหลน้ำป้อน ชนิดของเชื้อเพลิง และพารามิเตอร์ของท่อไฟ ค่าดังกล่าวถูกนำมาใช้คำนวณเพื่อหาความความร้อนที่ใช้ในการทำให้น้ำเดือดเป็นไอ จากการทดลองหม้อน้ำชนิดท่อไฟใช้ความร้อนในการทำให้น้ำเดือดดังตารางที่ (4.1)

ตารางที่ 4.1 ตารางแสดงปริมาณความร้อนที่ใช้ในการทำให้น้ำเปลี่ยนสถานะ

Heat required for Com. liq to Sat. liq (kW)	33.04	ของเหลวอัด ---> ของเหลวอิ่มตัว
Heat required for vaporization (kW)	214.81	ของเหลวอิ่มตัว ---> ไออิ่มตัว
Total heat from experiment (kW)	247.86	

จากการคำนวณของสเปรทซีทพบว่า การถ่ายเทความร้อนนั้นต่ำกว่าจากการทดลอง โดยผลการทดลองจะแสดงถึงปริมาณความร้อนในแต่ละส่วนของการคำนวณ และค่าความคลาดเคลื่อนที่เกิดขึ้น โดยเทียบกับค่าความร้อนจากการทดลองดังตารางที่ (4.2) และ (4.3)

ตารางที่ 4.2 ตารางเปรียบเทียบผลการทดลองกับค่าจากการคำนวณจากสเปรทซีทตรวจสอบสมรรถนะหม้อน้ำท่อไฟ

พื้นที่การถ่ายเทความร้อน	พารามิเตอร์ของท่อไฟ	ปริมาณการถ่ายเทความร้อน(kW)
ท่อไฟใหญ่	ยาว 3 เมตร จำนวน 1 ท่อ	53.54
ท่อไฟเล็กกลับที่ 1	ยาว 2.66 เมตร จำนวน 42 ท่อ	148.20
ท่อไฟเล็กกลับที่ 2	ยาว 3.22 เมตร จำนวน 54 ท่อ	29.92
Total heat from calculation		231.66

% error

6.53 %

ตารางที่ 4.3 ปริมาณความร้อนที่คำนวณจากสเปรทซีฟในแต่ละส่วนของหม้อน้ำชนิดท่อไฟ

พื้นที่การถ่ายเทความร้อน	ปริมาณการถ่ายเทความร้อน (kW)	สัดส่วนการถ่ายเทความร้อนในแต่ละช่วงของหม้อน้ำ (%)
ท่อไฟใหญ่	53.77	21.60
ท่อไฟเล็กกลับที่ 1	143.33	59.79
ท่อไฟเล็กกลับที่ 2	29.39	12.07
% total heat from calculation		93.47

จากผลการทดลองพบว่า การถ่ายเทความร้อนที่ถูกคำนวณจากสเปรทซีฟนั้น ขาดไปถึง 6.53 % ซึ่งในทางปฏิบัติ ผู้ใช้หม้อน้ำ จำเป็นต้องเพิ่มพื้นที่การถ่ายเทความร้อน โดยเพิ่มจำนวนท่อไฟเล็ก ให้มากขึ้น จึงจะพอสำหรับการผลิตไอน้ำตามความต้องการ แต่ในการพัฒนาสเปรทซีฟ การเกิด error วิเคราะห์สาเหตุได้โดยวิเคราะห์สมมติฐานที่เลือกใช้

การเลือกใช้สมการหาค่า Nusselt number ส่งผลต่อการคำนวณการถ่ายเทความร้อนโดยตรง โดยในเบื้องต้นได้ทำ การทดสอบสเปรทซีฟโดยเลือกใช้สมการที่แตกต่างกันทั้งทางด้านน้ำ และด้านก๊าซร้อน การตั้งสมมติฐานส่งผลโดยตรงกับการเลือกใช้สมการ ทำให้การคำนวณการถ่ายเทความร้อนเปลี่ยนแปลง หากสมมติฐานไม่ใกล้เคียงกับปรากฏการณ์ที่เกิดขึ้นจริงในหม้อน้ำ โดยสมมติฐานที่เลือกใช้ กับปรากฏการณ์จริงแตกต่างกันดังตารางที่ (4.4) ต่อไปนี้

ตารางที่ 4.4 ตารางจำแนกความแตกต่างระหว่างสมมติฐานที่ตั้งขึ้น กับปรากฏการณ์จริงในหม้อน้ำชนิดท่อไฟ

สมมติฐาน	ปรากฏการณ์จริง	สาเหตุของความคลาดเคลื่อน
อัตราการไหลน้ำป้อนเป็นการไหลแบบคงที่	อัตราการไหลน้ำป้อนเป็นการไหลแบบไม่คงที่	การเติมน้ำเข้าหม้อน้ำ ขึ้นอยู่กับปริมาณ ความร้อนที่ต้องการ หากมีความต้องการใช้น้ำมากขึ้น จำเป็นต้องป้อนเชื้อเพลิงเพิ่มส่งผลต่อปริมาณน้ำป้อน
น้ำในหม้อน้ำบริเวณพื้นที่ท่อไฟใหญ่เป็น convection heat transfer ในขณะที่ท่อไฟเล็กมีลักษณะการเดือดแบบ Pool boiling	มีการเดือดในลักษณะ Pool boiling และ convection heat transfer บนพื้นที่ท่อใหญ่ และท่อไฟเล็กผสมกัน	การเลือกใช้สมการเป็นสมการเฉพาะของ convection heat transfer กับ Pool boiling และแบ่งเป็นสัดส่วนตามส่วนของพื้นที่การถ่ายเทความร้อน
การเผาไหม้เป็นการเผาไหม้สมบูรณ์โดยเผาไหม้เชื้อเพลิงจนหมด	การเผาไหม้ไม่สม่ำเสมอ เชื้อเพลิงเผาไหม้ไม่หมด	อัตราการไหลของไอเสียจากการคำนวณ ไม่เท่ากับอัตราการไหลจริงในท่อไฟ

พื้นที่การถ่ายเทความร้อนไม่รวม Endplate ของหม้อน้ำ	Endplate เป็นพื้นที่การถ่ายเทความร้อนในหม้อน้ำ	พื้นที่การถ่ายเทความร้อนที่คำนวณจากสเปรทซีฟไม่เท่ากับการทดลอง ทำให้เกิดความคลาดเคลื่อน
การถ่ายเทความร้อนในท่อไฟใหญ่มีการถ่ายเทความร้อนแบบแผ่รังสีความร้อน การพาความร้อนเท่านั้น	การถ่ายเทความร้อนในท่อไฟใหญ่ เปลวไฟมีลักษณะพุ่งชน Endplate ต้องพิจารณาการถ่ายเทความร้อนแบบ Impinging jet ด้วย	เปลวไฟในส่วนปลาย และใน ส่วนอื่นๆ บางครั้งสัมผัสกับเนื้อท่อโดยตรง ทำให้เกิดการถ่ายเทความร้อนมากกว่าสมมติฐานที่ตั้งไว้

4.1.2 วิเคราะห์อิทธิพลของการถ่ายเทความร้อนในแต่ละส่วนของหม้อน้ำ

การถ่ายเทความร้อนในแต่ละส่วนของหม้อน้ำ วิเคราะห์ได้จากเทอมของค่า U หรือสัมประสิทธิ์การถ่ายเทความร้อนรวม ซึ่งเป็นค่าที่รวมผลของการถ่ายเทความร้อนตั้งแต่ก๊าซร้อน ผ่านผิวท่อ ไปยังด้านน้ำ โดยในหัวข้อนี้ จะจำแนกในแต่ละส่วน เพื่อวิเคราะห์การถ่ายเทความร้อนในแต่ละช่วงของหม้อน้ำ โดยเริ่มจากการวิเคราะห์ในพื้นที่การถ่ายเทความร้อนของท่อไฟใหญ่ในแต่ละเทอม ดังตารางที่ (4.5) โดยเทอมที่มีอิทธิพลต่อสัมประสิทธิ์การถ่ายเทความร้อนรวม หมายความว่า เทอมที่ยังสามารถเพิ่มสมรรถนะการถ่ายเทความร้อนได้ เพื่อเพิ่มสัมประสิทธิ์การถ่ายเทความร้อนรวม โดยเทอมดังกล่าวเป็นเทอมที่มีค่าจากการคำนวณสูงสุดที่สุดเปรียบเทียบกับเทอมอื่นๆ

ตารางที่ 4.5 ค่าการถ่ายเทความร้อนในแต่ละเทอมของสมการสัมประสิทธิ์การถ่ายเทความร้อนรวมจากหม้อน้ำส่วนท่อไฟใหญ่

$$\frac{1}{U_o} = \pi D_o \left[\frac{1/h_i h_{rad}}{\left(\frac{1}{h_i} + \frac{1}{h_{rad}} \right) \pi D_i} + \frac{\ln(D_o / D_i)}{2\pi k} + \frac{1}{h_o \pi D_o} \right]$$

เทอมของสมการ	ค่าที่คำนวณได้จากสเปรทซีฟ	การถ่ายเทความร้อน
Term 1	0.00601	การแผ่รังสีความร้อน และ การพาความร้อน ด้านไฟ
Term 2	0.00006	การนำความร้อนผ่านผิวท่อ
Term 3	0.04301	การพาความร้อน ด้านน้ำ
สัมประสิทธิ์การถ่ายเทความร้อนรวม (W/m ² K)	7.87	การถ่ายเทความร้อนรวม

จากตารางที่ (4.5) วิเคราะห์ได้ว่า เทอมที่มีอิทธิพลต่อค่าสัมประสิทธิ์การถ่ายเทความร้อนคือ เทอม ที่

3 คือฝั่งการถ่ายเทความร้อนทางด้านน้ำ จากตารางที่ (4.5) จะพบว่าค่าในเทอมที่ 3 นั้นมีค่ามากที่สุด จึงเป็นเทอมที่มีอิทธิพลต่อสัมประสิทธิ์การถ่ายเทความร้อนรวม หากต้องการเพิ่มการถ่ายเทความร้อนในบริเวณท่อไฟใหญ่นั้นจึงต้องเพิ่มการถ่ายเทความร้อนทางด้านน้ำ เช่น การติดครีบริบรอบท่อไฟใหญ่ทางด้านน้ำ เพื่อเพิ่มสัมประสิทธิ์การถ่ายเทความร้อน สำหรับในเทอมที่ 1 ซึ่งเป็นการถ่ายเทความร้อนแบบผสมระหว่างการแผ่รังสี และการพาความร้อนนั้น จะเห็นได้ว่าค่ามีค่าต่ำกว่าเทอมที่ 3 โดยต่างกันที่ทศนิยม 1 ตำแหน่ง การเพิ่มการถ่ายเทความร้อนจะยังมีอิทธิพลต่อค่าสัมประสิทธิ์การถ่ายเทความร้อน การเพิ่มการถ่ายเทความร้อนทางฝั่งก๊าซร้อนนั้นทำได้โดยการติดครีบริบ แต่ต้องระวังความดันลด (Pressure lost) ที่จะเกิดขึ้นในกรณีติดครีบริบเพื่อเพิ่มการถ่ายเทความร้อน สำหรับในเทอมที่ 2 เป็นเทอมที่สัมพันธ์ระหว่างความหนาของท่อ กับสัมประสิทธิ์การถ่ายเทความร้อนรวมนั้น หากตั้งสมมติฐานให้ความหนาของเขม่าที่จับผิวท่อด้านในเปรียบเสมือนเป็นเนื้อที่พบหากความหนาของเขม่าหนา 1 มิลลิเมตร ส่งผลให้สัมประสิทธิ์การถ่ายเทความร้อนรวมลดลง 0.31 % ผลการทดสอบการเพิ่มค่าของสัมประสิทธิ์การถ่ายเทความร้อนในท่อไฟใหญ่ในแต่ละเทอม สามารถตรวจสอบได้ดังตารางที่ (4.6)

ตารางที่ 4.6 ผลการทดสอบการเพิ่มค่าของสัมประสิทธิ์การถ่ายเทความร้อนในท่อไฟใหญ่ในแต่ละเทอม 2 เท่า โดยแสดงผลการเพิ่มของค่าสัมประสิทธิ์การถ่ายเทความร้อนรวมเป็น %

เทอมของสมการ	ค่าสัมประสิทธิ์การถ่ายเทความร้อนรวม (U) หลังจากเพิ่มค่าสัมประสิทธิ์การถ่ายเทความร้อน (h) 2 เท่า (W/m^2K) $U_{initial} = 7.87 W/m^2K$	การเพิ่มขึ้นของสัมประสิทธิ์การถ่ายเทความร้อน (%)	หมายเหตุ
Term 1	7.90	0.38	เพิ่ม h_i ของการพาความร้อน
Term 1	8.51	6.22	เพิ่ม h_{rad} ของการแผ่รังสี
Term 3	13.86	76.11	เพิ่ม h_o ของการพาความร้อน

สำหรับการวิเคราะห์อิทธิพลของการถ่ายเทความร้อนในส่วนของท่อไฟเล็กกลับที่ 1 และ 2 วิเคราะห์ด้วยเทอมของสมการสัมประสิทธิ์การถ่ายเทความร้อนรวมเช่นเดียวกัน แต่สมการจะแตกต่างกับการคำนวณที่ท่อไฟใหญ่เนื่องจาก สมมติฐานการถ่ายเทความร้อนแตกต่างกัน โดยการวิเคราะห์ในพื้นที่การถ่ายเทความร้อนของท่อไฟเล็กตรวจสอบได้ดังตารางที่ (4.7) และ (4.8)

ตารางที่ 4.7 ค่าการถ่ายเทความร้อนในแต่ละเทอมของสมการสัมประสิทธิ์การถ่ายเทความร้อนรวม จากหม้อน้ำส่วนท่อไฟเล็กกลับที่ 1

$$\frac{1}{U_o} = \pi D_o \left[\frac{1}{h_i \pi D_i} + \frac{\ln(D_o / D_i)}{2\pi k} + \frac{1}{h_o \pi D_o} \right]$$

เทอมของสมการ	ค่าที่คำนวณได้จากสเปรทชีท	การถ่ายเทความร้อน
Term 1	0.42162	การพาความร้อน ด้านไฟ
Term 2	0.00029	การนำความร้อนผ่านฉนวน
Term 3	0.00039	Pool boiling ด้านน้ำ
สัมประสิทธิ์การถ่ายเทความร้อนรวม (W/m ² K)	15.91	การถ่ายเทความร้อนรวม

ตารางที่ 4.8 ค่าการถ่ายเทความร้อนในแต่ละเทอมของสมการสัมประสิทธิ์การถ่ายเทความร้อนรวม จากหม้อน้ำส่วนท่อไฟเล็กกลับที่ 2

เทอมของสมการ	ค่าที่คำนวณได้จากสเปรทชีท	การถ่ายเทความร้อน
Term 1	0.38939	การพาความร้อน ด้านไฟ
Term 2	0.00002	การนำความร้อนผ่านฉนวน
Term 3	0.00122	Pool boiling ด้านน้ำ
สัมประสิทธิ์การถ่ายเทความร้อนรวม (W/m ² K)	17.20	การถ่ายเทความร้อนรวม

การวิเคราะห์ ผลการคำนวณในท่อไฟเล็กกลับที่ 1 และ 2 สามารถวิเคราะห์พร้อมกันได้เนื่องจากมีสมมติฐานเดียวกัน โดยเทอมที่ส่งผลต่อค่าสัมประสิทธิ์การถ่ายเทความร้อนรวมคือเทอมที่ 1 โดยจากผลการคำนวณโดยสเปรทชีทจะเห็นได้ว่า ส่วนที่ส่งผลให้การถ่ายเทความร้อนไม่เต็มสมรรถนะที่สามารถทำได้ เนื่องจากค่าที่คำนวณในเทอมที่ 1 ไปลดสมรรถนะดังกล่าวไว้ การเพิ่มการถ่ายเทความร้อนในเทอมที่ 1 เป็นการถ่ายเทความร้อนแบบพาความร้อนภายในท่อไฟเล็ก การเพิ่มการถ่ายเทความร้อนสามารถทำได้โดยติดตั้ง ใบพัด หรือครีบเพื่อเพิ่มการถ่ายเทความร้อน จะเพิ่มสมรรถนะของการถ่ายเทความร้อนในท่อไฟเล็กกลับที่ 1 และ 2 ได้ แต่ต้องระวังในเรื่องของความดันลด (Pressure drop) ที่เกิดขึ้นเมื่อติดตั้งครีบดังกล่าว หากเปรียบเทียบการคำนวณในแต่ละเทอมของ ท่อไฟใหญ่ กับท่อไฟเล็ก จะพบว่าแตกต่างกันในเทอมที่ 1 และ 3 โดยในท่อไฟใหญ่จะพบว่าเทอมที่ 3 มีผลกับค่า

สัมประสิทธิ์การถ่ายเทความร้อน ขณะที่ในท่อไฟเล็กนั้นเทอมที่ 1 จะมีอิทธิพลต่อค่าสัมประสิทธิ์การถ่ายเทความร้อนมากกว่าเทอมที่ 3 ผลการทดสอบการเพิ่มค่าของสัมประสิทธิ์การถ่ายเทความร้อนในท่อไฟใหญ่ในแต่ละเทอม สามารถตรวจสอบได้ดังตารางที่ (4.9) และ (4.10)

ตารางที่ 4.9 ผลการทดสอบการเพิ่มค่าของสัมประสิทธิ์การถ่ายเทความร้อนในท่อไฟเล็กกลับที่ 1 ในแต่ละเทอม 2 เท่า โดยแสดงผลการเพิ่มของค่าสัมประสิทธิ์การถ่ายเทความร้อนรวมเป็น %

เทอมของสมการ	ค่าสัมประสิทธิ์การถ่ายเทความร้อนรวม (U) หลังจากเพิ่มค่าสัมประสิทธิ์การถ่ายเทความร้อน (h) 2 เท่า (W/m^2K) $U_{initial} = 15.91 W/m^2K$	การเพิ่มขึ้นของสัมประสิทธิ์การถ่ายเทความร้อน (%)	หมายเหตุ
Term 1	31.68	49.92	เพิ่ม h_i ของการพาความร้อน
Term 3	15.87	0.05	เพิ่ม h_o ของการพาความร้อน

ตารางที่ 4.10 ผลการทดสอบการเพิ่มค่าของสัมประสิทธิ์การถ่ายเทความร้อนในท่อไฟเล็กกลับที่ 2 ในแต่ละเทอม 2 เท่า โดยแสดงผลการเพิ่มของค่าสัมประสิทธิ์การถ่ายเทความร้อนรวมเป็น %

เทอมของสมการ	ค่าสัมประสิทธิ์การถ่ายเทความร้อนรวม (U) หลังจากเพิ่มค่าสัมประสิทธิ์การถ่ายเทความร้อน (h) 2 เท่า (W/m^2K) $U_{initial} = 17.2 W/m^2K$	การเพิ่มขึ้นของสัมประสิทธิ์การถ่ายเทความร้อน (%)	หมายเหตุ
Term 1	34.42	49.84	เพิ่ม h_i ของการพาความร้อน
Term 3	17.23	0.16	เพิ่ม h_o ของการพาความร้อน

4.2 สเปรทซีทค่านวนพื้นที่การถ่ายเทความร้อนของหม้อน้ำชนิดลูกผสม

ในหัวข้อนี้ แสดงผลการทดสอบสเปรทซีทตามบทที่ 3 ในหัวข้อที่ 3.4.3 ตามผังงานการทำงานของสเปรทซีท การวิเคราะห์ทดลองมีจุดประสงค์ดังต่อไปนี้

- ตรวจสอบสมรรถนะของสเปรทซีท โดยเทียบสมรรถนะทางความร้อนจริง กับการคำนวณจากสเปรทซีทและวิเคราะห์สาเหตุของความคลาดเคลื่อน
- วิเคราะห์อิทธิพลของการถ่ายเทความร้อน โดยวิเคราะห์จากการคำนวณของสเปรทซีท ในเทอมของค่า Overall heat transfer coefficient ในแต่ละส่วนของท่อไฟ

4.2.1 การตรวจสอบสมรรถนะของสเปรทซีท

ตรวจสอบโดยเปรียบเทียบค่าจากการตรวจวัดจริง กับค่าที่คำนวณจากสเปรทซีท สำหรับค่าที่ตรวจวัดจริงคำนวณมาจากตัวแปรต้นซึ่งถูกวัดค่ามาจากหม้อน้ำชนิดลูกผสม โดยตัวแปรที่ใช้ในการคำนวณคือ อัตราการไหลของน้ำ ความดันใช้งาน อุณหภูมิน้ำป้อน อัตราการป้อนน้ำ ชนิดของเชื้อเพลิง อัตราการใช้เชื้อเพลิง อุณหภูมิห้องเผาไหม้ พารามิเตอร์ของท่อน้ำ และท่อไฟ ค่าดังกล่าวถูกนำมาใช้คำนวณเพื่อหาความความร้อนที่ใช้ในการทำให้้ำเดือดเป็นไอ จากการทดลองหม้อน้ำชนิดท่อไฟใช้ความร้อนในการทำให้้ำเดือดดังตารางที่ (4.11) ตามปกติคำนวณอุณหภูมิเปลวไฟอะเดียแบติกในห้องเผาไหม้จากค่า C_p ความร้อน และอัตราการไหลไอเสีย แต่ในหม้อน้ำลูกผสมหากใช้สมมติฐานเหมือนกับหม้อน้ำชนิดท่อไฟ คือใช้อุณหภูมิดังกล่าวในการคำนวณการแผ่รังสี จะส่งผลต่อการประเมินค่า Q เกิดความคลาดเคลื่อนสูงมาก ในกรณีนี้จึงเปลี่ยนสมมติฐานใหม่โดยใช้อุณหภูมิห้องเผาไหม้ตามที่วัดได้จริงจากโรงงานเป็นอุณหภูมิไอเสียตั้งต้น และสำหรับคำนวณการแผ่รังสีความร้อน ตาราง 4.11 ตารางแสดงปริมาณความร้อนที่ใช้ในการทำให้้ำเปลี่ยนสถานะในหม้อน้ำชนิดลูกผสม

Heat required for Com. liq to Sat. liq (kW)	408.11	ของเหลวอัด ---> ของเหลวอิ่มตัว
Heat required for vaporization (kW)	1541.84	ของเหลวอิ่มตัว ---> ไออิ่มตัว
Total heat from experiment (kW)	1939.95	

จากการคำนวณของสเปรทซีทพบว่า การถ่ายเทความร้อนนั้นต่ำกว่าจากการทดลอง โดยผลการทดลองจะแสดงถึงปริมาณความร้อนในแต่ละส่วนของการคำนวณ และค่าความคลาดเคลื่อนที่เกิดขึ้น โดยเทียบกับค่าความร้อนจากการทดลองดังตารางที่ (4.12) และ (4.13)

ตารางที่ 4.12 ตารางเปรียบเทียบผลการทดลองกับค่าจากการคำนวณจากสเปรทซีทตรวจสอบสมรรถนะหม้อน้ำชนิดลูกผสม

พื้นที่การถ่ายเทความร้อน	พารามิเตอร์ของท่อ	ปริมาณการถ่ายเทความร้อน(kW)
ห้องเผาไหม้ (water wall)	ท่อน้ำยาว 5 เมตร จำนวน 182 ท่อ	1462.54
ท่อไฟใหญ่	ยาว 5 เมตร จำนวน 1 ท่อ	22.46
ท่อไฟเล็กกลับที่ 1	ยาว 5 เมตร จำนวน 57 ท่อ	382.12
ท่อไฟเล็กกลับที่ 2	ยาว 5 เมตร จำนวน 48 ท่อ	107.88
Total heat from calculation		1975.00
% error		1.81 %

ตารางที่ 4.13 ตารางแสดงปริมาณความร้อนที่คำนวณจากสเปรทซีทีในแต่ละส่วนของหม้อน้ำชนิด

ลูกผสม

พื้นที่การถ่ายเทความร้อน	ปริมาณการถ่ายเทความร้อน (kW)	สัดส่วนการถ่ายเทความร้อนในแต่ ละช่วงของหม้อน้ำ (%)
ห้องเผาไหม้(water wall)	1462.54	75.39
ท่อไฟใหญ่	22.46	1.16
ท่อไฟเล็กกลับที่ 1	382.12	19.70
ท่อไฟเล็กกลับที่ 2	107.88	5.56
	% total heat from calculation	101.81

จากผลการทดลองพบว่า การถ่ายเทความร้อนที่ถูกคำนวณจากสเปรทซีทีนั้น มีความคลาดเคลื่อน 2.40 % ซึ่งตามหลักแล้วถือว่าอยู่ในเกณฑ์ที่รับได้ ผลการคำนวณใกล้เคียงกับการถ่ายเทความร้อนจริง แต่ในการพัฒนาสเปรทซีทีไม่มีสิ่งใดสมบูรณ์แบบ เพราะฉะนั้นจึงต้องวิเคราะห์ว่าสาเหตุใดทำให้ผลการคำนวณจากสเปรทซีทีจึงมีการถ่ายเทความร้อนสูงกว่าความร้อนจากการตรวจวัดจริง

ผลจากการเลือกใช้สมการหาค่า Nusselt number ส่งผลต่อการคำนวณการถ่ายเทความร้อนโดยตรง โดยในเบื้องต้นได้ทดสอบสเปรทซีทีโดยเลือกใช้สมการที่แตกต่างกันทั้งทางด้านน้ำ และด้านก๊าซร้อน การตั้งสมมติฐานส่งผลโดยตรงกับการเลือกใช้สมการ ตารางที่ (4.14) จะจำแนกสมมติฐานที่สเปรทซีทีเลือกใช้เทียบกับปรากฏการณ์จริงในหม้อน้ำชนิดลูกผสม

ตารางที่ 4.14 ตารางจำแนกความแตกต่างระหว่างสมมติฐานที่ตั้งขึ้น กับปรากฏการณ์จริงในหม้อน้ำชนิดลูกผสม

สมมติฐาน	ปรากฏการณ์จริง	สาเหตุของความคลาดเคลื่อน
อัตราการไหลน้ำป้อนเป็นการไหลแบบคงที่	อัตราการไหลน้ำป้อนเป็นการไหลแบบไม่คงที่	การเติมน้ำป้อนเข้าหม้อน้ำขึ้นอยู่กับปริมาณความร้อนที่ต้องการ หากมีความต้องการใช้น้ำมากขึ้น จำเป็นต้องป้อนเชื้อเพลิงเพิ่มส่งผลต่อปริมาณน้ำป้อน
น้ำที่ไหลในท่อในห้องเผาไหม้ตั้งสมมติฐานการเดือดของน้ำเป็น flow boiling	น้ำไม่มีการไหลตลอดเวลาจะเป็น flow boiling ในช่วงการเติมน้ำเข้าหม้อน้ำเท่านั้น	การคำนวณค่า h_o ในกรณีของ flow boiling ใช้ความสัมพันธ์แตกต่างจากสมมติฐานอื่น ส่งผลต่อค่า h_o ทำให้เกิดความคลาดเคลื่อน
น้ำในหม้อน้ำบริเวณพื้นที่ท่อไฟใหญ่เป็น convection heat transfer ในขณะที่ท่อไฟเล็กมีลักษณะการเดือดแบบ	มีการเดือดในลักษณะ Pool boiling และ convection heat transfer บนพื้นที่ท่อใหญ่และท่อไฟเล็กผสมกัน	การเลือกใช้สมการเป็นสมการเฉพาะของ convection heat transfer กับ Pool boiling และ

Pool boiling		แบ่งเป็นสัดส่วนตามส่วนของพื้นที่การถ่ายเทความร้อน
การเผาไหม้เป็นการเผาไหม้สมบูรณ์โดยเผาไหม้เชื้อเพลิงจนหมด	การเผาไหม้ไม่สม่ำเสมอ เชื้อเพลิงเผาไหม้ไม่หมด	อัตราการไหลของไอเสียจากการคำนวณ ไม่เท่ากับอัตราการไหลจริงในท่อไฟของหม้อน้ำ
การถ่ายเทความร้อนในห้องเผาไหม้มีการถ่ายเทความร้อนแบบแผ่รังสี และการพาความร้อนแบบบังคับ	การถ่ายเทความร้อนส่วนใหญ่ในห้องเผาไหม้เป็นการแผ่รังสีความร้อน การพาความร้อนไม่เกิดอย่างสมบูรณ์ทุกๆท่อ เนื่องจากการติดตั้งท่อไม่ได้ติดตั้งในแนวที่รับการพาความร้อนโดยตรง	ส่ง ผล โดย ตรง ต่อ ค่าสัมประสิทธิ์การถ่ายเทความร้อนรวมในห้องเผาไหม้ โดยหากพิจารณาการถ่ายเทความร้อนแบบเดียว ทำให้เกิดความคลาดเคลื่อนสูง
พื้นที่รับรังสีความร้อนในห้องเผาไหม้ เป็นพื้นที่สี่เหลี่ยมขอบรวมมุม 90 องศา กับพื้นที่สี่เหลี่ยมที่มีขนาดเท่ากันตั้งตรงข้ามกันในแนวตรง	พื้นที่รับรังสีความร้อนในห้องเผาไหม้ ไม่ได้เป็นพื้นที่สี่เหลี่ยมขอบรวมมุม 90 องศา กับพื้นที่สี่เหลี่ยมที่มีขนาดเท่ากันตั้งตรงข้ามกันในแนวตรง	เปลวไฟไม่ได้มีพื้นที่แผ่รังสีที่แน่นอน ทำให้เกิดความคลาดเคลื่อนได้

4.2.2 วิเคราะห์อิทธิพลของการถ่ายเทความร้อนในแต่ละส่วนของหม้อน้ำชนิดลูกผสม

เช่นเดียวกับกับสเปรทซีอื่นๆ การถ่ายเทความร้อนในแต่ละส่วนของหม้อน้ำชนิดลูกผสมวิเคราะห์ได้จากเทอมของค่า U หรือ สัมประสิทธิ์การถ่ายเทความร้อนรวม ซึ่งเป็นค่าที่รวมผลของการถ่ายเทความร้อนจากการเผาไหม้ ผ่านผิวท่อ ไปยังด้านน้ำ โดยในหัวข้อนี้ จะจำแนกในแต่ละส่วน เพื่อวิเคราะห์การถ่ายเทความร้อนในแต่ละช่วงของหม้อน้ำ โดยเริ่มจากการวิเคราะห์ในพื้นที่การถ่ายเทความร้อนของท่อไฟใหญ่ในแต่ละเทอมดังตารางที่ (4.15) โดยเทอมที่มีอิทธิพลต่อสัมประสิทธิ์การถ่ายเทความร้อนรวม หมายความว่า เทอมที่ยังสามารถเพิ่มสมรรถนะการถ่ายเทความร้อนได้ เพื่อเพิ่มสัมประสิทธิ์การถ่ายเทความร้อนรวม โดยเทอมดังกล่าวเป็นเทอมที่มีค่าจากการคำนวณสูงที่สุดเมื่อเปรียบเทียบกับเทอมอื่นๆ

ตารางที่ 4.15 ค่าการถ่ายเทความร้อนในแต่ละเทอมของสมการสัมประสิทธิ์การถ่ายเทความร้อนรวมจากหม้อน้ำลูกผสมในส่วนของห้องเผาไหม้ของหม้อน้ำชนิดลูกผสม

$$\frac{1}{U_o} = \pi D_o \left[\frac{1/h_i h_{rad}}{\left(\frac{1}{h_i} + \frac{1}{h_{rad}} \right) \pi D_i} + \frac{\ln(D_o / D_i)}{2\pi k} + \frac{1}{h_o \pi D_o} \right]$$

เทอมของสมการ	ค่าที่คำนวณได้จากสเปทซ์	การถ่ายเทความร้อน
Term 1	0.20147	การแผ่รังสีความร้อน และการพาความร้อน ในห้องเผาไหม้
Term 2	0.00030	การนำความร้อนผ่านผิวท่อ
Term 3	0.00691	การพาความร้อน ด้านน้ำในท่อ
สัมประสิทธิ์การถ่ายเทความร้อนรวม (W/m ² K)	24.00	การถ่ายเทความร้อนรวม

จากตารางที่ (4.15) วิเคราะห์ได้ว่า อิทธิพลของการถ่ายเทความร้อนอยู่ที่เทอมที่ 1 คือฝั่งของการเผาไหม้ การแผ่รังสี และการพาความร้อนจากการเผาไหม้ ส่งผลอย่างมากต่อการถ่ายเทความร้อนในห้องเผาไหม้ เพราะฉะนั้นหากต้องการเพิ่มการถ่ายเทความร้อนต้องเพิ่มทางฝั่งการเผาไหม้ เช่นการเพิ่มปริมาณเชื้อเพลิง สำหรับการติดครีบนั้นจะช่วยเพิ่มการถ่ายเทความร้อนไม่มาก เนื่องจากจากการทดสอบสเปทซ์พบว่า การถ่ายเทความร้อนในห้องเผาไหม้นั้น มีการถ่ายเทความร้อนจากการแผ่รังสีถึง 65 % ในขณะที่การถ่ายเทความร้อนแบบพาความร้อนนั้นมีเพียง 35 % อีกทั้งในปรากฏการณ์จริง การพาความร้อนนั้นไม่ได้พาความร้อนโดยตรงผ่านทุกท่อ เนื่องจากการติดตั้งท่อนั้นติดตั้งติดผนัง ทำให้ท่อหลายท่อไม่ได้ปะทะกับลมร้อนโดยตรง ทำให้การคำนวณการถ่ายเทความร้อนแบบการพาความร้อนในสเปทซ์ มีค่าสูงกว่าที่ควรจะเป็น และสำหรับในส่วนของการแผ่รังสีความร้อน พื้นที่รับรังสีความร้อนในห้องเผาไหม้ เป็นพื้นที่สี่เหลี่ยมขอบรวมมุม 90 องศา กับพื้นที่สี่เหลี่ยมที่มีขนาดเท่ากันตั้งตรงข้ามกันในแนวตรง ทำให้ที่แท้จริงแล้วการถ่ายเทความร้อนของการแผ่รังสีจากสเปทซ์ควรน้อยกว่าที่ควรจะเป็น การวิเคราะห์การถ่ายเทความร้อนในส่วนนี้น่าสนใจเป็นอย่างมาก หากสเปทซ์ใช้ความสัมพันธ์ที่ถูกต้อง ตรงกับปรากฏการณ์จริงการวิเคราะห์การถ่ายเทความร้อนจึงจะมีความสมบูรณ์ สำหรับผลการทดสอบการเพิ่มค่าของสัมประสิทธิ์การถ่ายเทความร้อนในห้องเผาไหม้ในแต่ละเทอม สามารถตรวจสอบได้ดังตารางที่ (4.16)

ตารางที่ 4.16 ผลการทดสอบการเพิ่มค่าของสัมประสิทธิ์การถ่ายเทความร้อนในห้องเผาไหม้ในแต่ละเทอม 2 เท่า โดยแสดงผลการเพิ่มของค่าสัมประสิทธิ์การถ่ายเทความร้อนรวมเป็น %

เทอมของสมการ	ค่าสัมประสิทธิ์การถ่ายเทความร้อนรวม (U) หลังจากเพิ่มค่า สัมประสิทธิ์การถ่ายเทความร้อน (h) 2 เท่า (W/m^2K) $U_{initial} = 24 W/m^2K$	การเพิ่มขึ้นของสัมประสิทธิ์การถ่ายเทความร้อน (%)	หมายเหตุ
Term 1	32.3	34.58	เพิ่ม h_i ของการพาความร้อนไอเสีย
Term 1	38.43	60.14	เพิ่ม h_{rad} ของการแผ่รังสีความร้อน

Term 3	24.33	1.38	เพิ่ม h_o ของการพาความร้อนด้านน้ำ
--------	-------	------	-------------------------------------

จากผลการทดสอบพบว่า หากการพาความร้อน และการแผ่รังสีความร้อน จะส่งผลให้สัมประสิทธิ์การถ่ายเทความร้อนในห้องเผาไหม้เพิ่มขึ้น 30-60% ตารางที่ (4.17) (4.18) และ (4.19) เป็นตารางแสดงการถ่ายเทความร้อนในแต่ละเทอมในส่วนอื่นของหม้อน้ำชนิดลูกผสมซึ่งมีผลดังต่อไปนี้

ตารางที่ 4.17 ค่าการถ่ายเทความร้อนในแต่ละเทอมของสมการสัมประสิทธิ์การถ่ายเทความร้อนรวมจากหม้อน้ำส่วนท่อไฟใหญ่

$$\frac{1}{U_o} = \pi D_o \left[\frac{1}{h_i \pi D_i} + \frac{\ln(D_o / D_i)}{2\pi k} + \frac{1}{h_o \pi D_o} \right]$$

เทอมของสมการ	ค่าที่คำนวณได้จากสเปรทซีท	การถ่ายเทความร้อน
Term 1	0.04216	การพาความร้อน ด้านไฟ
Term 2	0.00007	การนำความร้อนผ่านผิวท่อ
Term 3	0.01985	การพาความร้อน ด้านน้ำ
สัมประสิทธิ์การถ่ายเทความร้อนรวม (W/m ² K)	5.74	การถ่ายเทความร้อนรวม

ตารางที่ 4.18 ค่าการถ่ายเทความร้อนในแต่ละเทอมของสมการสัมประสิทธิ์การถ่ายเทความร้อนรวมจากหม้อน้ำส่วนท่อไฟเล็กกลับที่ 1

เทอมของสมการ	ค่าที่คำนวณได้จากสเปรทซีท	การถ่ายเทความร้อน
Term 1	0.11934	การพาความร้อน ด้านไฟ
Term 2	0.00271	การนำความร้อนผ่านผิวท่อ
Term 3	0.00015	Pool boiling ด้านน้ำ
สัมประสิทธิ์การถ่ายเทความร้อนรวม (W/m ² K)	44.17	การถ่ายเทความร้อนรวม

ตารางที่ 4.19 ค่าการถ่ายเทความร้อนในแต่ละเทอมของสมการสัมประสิทธิ์การถ่ายเทความร้อนรวมจากหม้อน้ำส่วนท่อไฟเล็กกลับที่ 2

เทอมของสมการ	ค่าที่คำนวณได้จากสเปรทซีท	การถ่ายเทความร้อน
Term 1	0.11302	การพาความร้อน ด้านไฟ

Term 2	0.00001	การนำความร้อนผ่านผิวท่อ
Term 3	0.00036	Pool boiling ด้านน้ำ
สัมประสิทธิ์การถ่ายเทความร้อนรวม (W/m ² K)	47.60	การถ่ายเทความร้อนรวม

ในท่อไฟใหญ่ของหม้อน้ำชนิดลูกผสมใช้สมมติฐานที่แตกต่างกันกับหม้อน้ำชนิดท่อไฟ โดยในหม้อน้ำชนิดท่อไฟใหญ่ สมมติฐานของด้านไฟเป็นการถ่ายเทความร้อนแบบการแผ่รังสีกับการพาความร้อน เนื่องจากในหม้อน้ำชนิดท่อนั้นมีเปลวไฟจากหัวเผายิงไฟออกมาทำให้เกิดการแผ่รังสีความร้อนในท่อไฟ แต่ในหม้อน้ำชนิดลูกผสมนั้นเปลวไฟจะอยู่ในห้องเผาไหม้ ทำให้ในท่อไฟใหญ่มีเพียงไอเสียที่ไหลผ่านจึงมีสมมติฐานเป็นการพาความร้อนเพียงชนิดเดียว สำหรับสมมติฐานอื่นๆเช่นทางด้านน้ำและท่อไฟเล็กกลับที่ 1 และ 2 ตั้งสมมติฐานเดียวกันกับหม้อน้ำชนิดท่อไฟ จากตารางที่ 4.17 หากเปรียบเทียบกับตารางที่ 4.5 ซึ่งเป็นผลการถ่ายเทความร้อนภายในท่อไฟใหญ่ของหม้อน้ำชนิดท่อไฟ จะพบว่าแตกต่างกัน เนื่องจากค่าในเทอมที่ 1 และ 3 นั้นมีอิทธิพลต่อการถ่ายเทความร้อนในท่อไฟใหญ่ ในท่อไฟใหญ่การถ่ายเทความร้อนคิดเป็นเพียง 1.16 % ต่อการถ่ายเทความร้อนทั้งหมด ดังตารางที่ 4.13 ดังนั้นท่อไฟใหญ่ในหม้อน้ำชนิดลูกผสมยังสามารถเพิ่มการถ่ายเทความร้อนได้อีก โดยผลการทดสอบการเพิ่มค่าของสัมประสิทธิ์การถ่ายเทความร้อนในห้องเผาไหม้ในแต่ละเทอม สามารถตรวจสอบได้ดังตารางที่ 4.20

ตารางที่ 4.20 ผลการทดสอบการเพิ่มค่าของสัมประสิทธิ์การถ่ายเทความร้อนในท่อไฟใหญ่ในแต่ละเทอม 2 เท่า โดยแสดงผลการเพิ่มของค่าสัมประสิทธิ์การถ่ายเทความร้อนรวมเป็น %

เทอมของสมการ	ค่าสัมประสิทธิ์การถ่ายเทความร้อนรวม (U) หลังจากเพิ่มค่าสัมประสิทธิ์การถ่ายเทความร้อน (h) 2 เท่า (W/m ² K) $U_{initial} = 5.74$ W/m ² K	การเพิ่มขึ้นของสัมประสิทธิ์การถ่ายเทความร้อน (%)	หมายเหตุ
Term 1	8.69	51.39	เพิ่ม h_i ของการพาความร้อนไอเสีย
Term 3	6.83	19.05	เพิ่ม h_o ของการพาความร้อนด้านน้ำ

จากอิทธิพลดังกล่าวในตารางที่ (4.20) จะพบว่า การเพิ่มการถ่ายเทความร้อนด้านไฟมีผลกว่าทางด้านน้ำ แต่เชื่อว่าการเพิ่มการถ่ายเทความร้อนทางด้านน้ำจะไม่มีผลใดๆ เพราะฉะนั้นหากต้องการเพิ่มการถ่ายเทความร้อนในท่อไฟใหญ่สามารถทำได้โดยการติดตั้งครีบท่างด้านน้ำ และติดตั้งไบบิตในท่อไฟเพื่อเพิ่มการถ่ายเทความร้อน สำหรับตาราง (4.21) และ (4.22) ทางด้านล่างนี้ แสดงผลการทดสอบการเพิ่มค่าของสัมประสิทธิ์การถ่ายเทความร้อนในห้องเผาไหม้ในแต่ละเทอม ในท่อไฟเล็กกลับที่ 1 และ 2 ในหม้อน้ำชนิดลูกผสม

ตารางที่ 4.21 ผลการทดสอบการเพิ่มค่าของสัมประสิทธิ์การถ่ายเทความร้อนในท่อไฟเล็กกลับที่ 1 ในแต่ละเทอม 2 เท่า โดยแสดงผลการเพิ่มของค่าสัมประสิทธิ์การถ่ายเทความร้อนรวมเป็น %

เทอมของสมการ	ค่าสัมประสิทธิ์การถ่ายเทความร้อนรวม (U) หลังจากเพิ่มค่าสัมประสิทธิ์การถ่ายเทความร้อน (h) 2 เท่า (W/m^2K) $U_{initial} = 44.17 W/m^2K$	การเพิ่มขึ้นของสัมประสิทธิ์การถ่ายเทความร้อน (%)	หมายเหตุ
Term 1	86.32	95.43	เพิ่ม h_i ของการพาความร้อนไอเสีย
Term 3	44.2	0.07	เพิ่ม h_o ของการพาความร้อนด้านน้ำ

ตารางที่ 4.22 ผลการทดสอบการเพิ่มค่าของสัมประสิทธิ์การถ่ายเทความร้อนในท่อไฟเล็กกลับที่ 2 ในแต่ละเทอม 2 เท่า โดยแสดงผลการเพิ่มของค่าสัมประสิทธิ์การถ่ายเทความร้อนรวมเป็น %

เทอมของสมการ	ค่าสัมประสิทธิ์การถ่ายเทความร้อนรวม (U) หลังจากเพิ่มค่าสัมประสิทธิ์การถ่ายเทความร้อน (h) 2 เท่า (W/m^2K) $U_{initial} = 47.6 W/m^2K$	การเพิ่มขึ้นของสัมประสิทธิ์การถ่ายเทความร้อน (%)	หมายเหตุ
Term 1	94.86	99.35	เพิ่ม h_i ของการพาความร้อนไอเสีย
Term 3	47.75	0.32	เพิ่ม h_o ของการพาความร้อนด้านน้ำ

จากตารางที่ (4.21) และ (4.22) จะเห็นได้ว่า อิทธิพลของการถ่ายเทความร้อนอยู่ในเทอมที่ 1 ของการพาความร้อนไอเสีย โดยการเพิ่มค่า h_i สองเท่าส่งผลมากต่อค่าสัมประสิทธิ์การถ่ายเทความร้อนรวม การติดตั้งไบพิดเพื่อเพิ่มการถ่ายเทความร้อนในท่อจะช่วยเพิ่มการถ่ายเทความร้อนได้ แต่ข้อควรระวังของการทดลองเพิ่มค่า h_i และ h_o ในสเปรทซ์ทคือ ในความเป็นจริงแล้วการเพิ่มเพียง 1.1-1.3 เท่าก็เพียงพอต่อการเพิ่มการถ่ายเทความร้อนในหม้อน้ำแล้ว การทดสอบดังกล่าวต้องระวังในส่วนของการคำนวณค่าอุณหภูมิที่ทางออกของท่อไฟซึ่งเป็นการคำนวณแบบวนซ้ำ หากไม่กำหนดขอบเขตการ

คำนวณไว้ จะส่งผลให้ค่าความร้อนที่คำนวณออกมาสูงเกินความเป็นจริง และทำให้ผลการคำนวณคลาดเคลื่อน การทดลองเพิ่มค่าสัมประสิทธิ์การถ่ายเทความร้อนเป็นการแสดงให้เห็นถึงอิทธิพลของการถ่ายเทความร้อนในแต่ละเทอมซึ่งหากต้องการเพิ่มการถ่ายเทความร้อนจริงๆจำเป็นต้องมีสมการความสัมพันธ์การเพิ่มการถ่ายเทความร้อน เช่นสมการความสัมพันธ์ของการเพิ่มการถ่ายเทความร้อนจากการติดครีบหรือใบพัดเพิ่ม เพื่อตรวจสอบการเพิ่มของการถ่ายเทความร้อนที่แม่นยำ และต้องพัฒนาในส่วนของการคำนวณอุณหภูมิเปลวไฟ และอุณหภูมิไอเสียในห้องเผาไหม้ด้วย เพราะในด้านการตรวจสอบหม้อน้ำสามารถใช้ค่าจากการวัดอุณหภูมิห้องเผาไหม้จากหม้อน้ำจริงได้ แต่สำหรับการออกแบบนั้นไม่สามารถนำค่าดังกล่าวมาเทียบได้ เพราะฉะนั้นหากต้องการพัฒนาสเปรตซีทสำหรับการออกแบบหม้อน้ำชนิดลูกผสมด้วยนั้นต้องแก้ไขในส่วนของสูตรคำนวณอุณหภูมิห้องเผาไหม้

4.3 สเปรตซีทคำนวณพื้นที่การถ่ายเทความร้อนของหม้อน้ำชนิดท่อไฟ

ในหัวข้อนี้ แสดงวิธีการตรวจสอบสมรรถนะของสเปรตซีทตามบทที่ 3 ในหัวข้อที่ 3.4.2 ตามผังงานการทำงานของสเปรตซีท โดยมีจุดประสงค์ดังต่อไปนี้

- พัฒนาสเปรตซีทดังกล่าวเพื่อเป็นเครื่องมือสำหรับออกแบบหม้อน้ำ
- พัฒนาสเปรตซีทเพื่อออกแบบพื้นที่การถ่ายเทความร้อนของหม้อน้ำ
- ใช้ผลการวิเคราะห์สเปรตซีท และปัจจัยที่มีผลต่อการถ่ายเทความร้อนในหัวข้อ 4.1 และ 4.2 สำหรับเป็นต้นแบบในการพัฒนาสเปรตซีทคำนวณพื้นที่การถ่ายเทความร้อน

4.3.1 การประยุกต์ใช้งานสเปรตซีทเพื่อออกแบบหม้อน้ำ

ในหัวข้อนี้จะตรวจสอบสมรรถนะของสเปรตซีทโดยเทียบระหว่างพื้นที่การถ่ายเทความร้อนจริงในหม้อน้ำ กับการออกแบบที่ถูกคำนวณโดยสเปรตซีท โดยการผังงานของสเปรตซีทจะแตกต่างจากสเปรตซีทตรวจสอบสมรรถนะทางความร้อนของหม้อน้ำ แต่ใช้สมการความสัมพันธ์ของแต่ละตัวแปร และสมมติฐานเดียวกัน การคำนวณด้วยสเปรตซีทนี้จะแตกต่างกับสเปรตซีทตรวจสอบสมรรถนะทางความร้อน เนื่องจากตัวแปรที่ป้อนกับสเปรตซีทมีความแตกต่างกับสเปรตซีทในหัวข้อ 4.1 และ 4.2 เพราะผลลัพธ์ของการคำนวณถูกกำหนดโดยค่า ความร้อน(Q) เป็น % เพื่อแบ่งสัดส่วนความร้อนในแต่ละส่วนของหม้อน้ำ และกำหนดค่า ความดันลด (Pressure drop) ที่สามารถรับได้ในแต่ละส่วน โดยค่าความดันลดจะส่งผลต่อความเร็วที่แก๊สวิ่งผ่านภายในท่อ ส่งผลต่อค่า ตัวเลขนัสเซลท์ (Nusselt number) โดยตรงส่งผลให้พื้นที่การถ่ายเทความร้อนที่คำนวณได้จากสเปรตซีท โดยสรุปออกมาได้ดังตารางที่ (4.23) โดยตารางดังกล่าวแสดงตัวแปรที่จำเป็นต้องคอยปรับค่าหลังจากป้อนตัวแปรตามตาราง ในบทที่ 3 ตารางที่ (3.6) และ (3.7) เพื่อใช้ในการออกแบบพื้นที่การถ่ายเทความร้อน

ตารางที่ 4.23 อิทธิพลของตัวแปรในการออกแบบหม้อน้ำชนิดท่อไฟ

ตัวแปร	อิทธิพลของตัวแปร
สัดส่วนการถ่ายเทความร้อน (%)	ปริมาณพลังงานทั้งหมดที่ใช้สำหรับต้มน้ำนั้น จะถูกแบ่งเป็นสัดส่วนความร้อนในแต่ละส่วนของหม้อน้ำ การปรับสัดส่วนการถ่ายเทความร้อน ส่งผลต่ออุณหภูมิเฉลี่ยของ

	หม้อน้ำส่วนนั้นๆ ทำให้คุณสมบัติของไอเสียเปลี่ยนแปลงไปส่งผลต่อค่าสัมประสิทธิ์การถ่ายเทความร้อนรวม (U) และมีผลต่อการคำนวณพื้นที่การถ่ายเทความร้อน ทั้งในท่อไฟใหญ่ และท่อไฟเล็ก
ความดันลด (Pa)	ความดันลดแปรผันตรงกับความเร็วในท่อไฟ หากกำหนดความดันลดสูง ความเร็วในท่อจะสูงตามทำให้ตัวเลขนัสเซลท์ (Nusselt number) สูงการถ่ายเทความร้อนยิ่งดี พื้นที่การถ่ายเทความร้อนที่ถูกออกแบบโดยสเปทซีทจะมีพื้นที่น้อยลงตาม ความดันลดที่เพิ่มขึ้น การออกแบบจำเป็นต้องกำหนดค่าความดันลดสูงสุดที่เหมาะสมในแต่ละส่วนของหม้อน้ำ

สเปทซีทคำนวณพื้นที่การถ่ายเทความร้อนถูกพัฒนาเพื่อเป็นเครื่องมือช่วยเหลือในการออกแบบหม้อน้ำ จากการกำหนดสัดส่วนทางความร้อน จากนั้นจึงกำหนดค่าความดันลด โดยค่าความดันลดสเปทซีทพิจารณาการสูญเสียความดันหลักเพียงเท่านั้น (Major loss) ซึ่งหากพิจารณาภายในหม้อน้ำโดยละเอียดต้องพิจารณาในส่วนของ การสูญเสียรอง (Minor loss) หลังจากกำหนดค่าดังกล่าวแล้ว จึงพิจารณาผลลัพธ์ดังต่อไปนี้คือ ความยาวท่อไฟใหญ่ มีผลต่อขนาดหม้อน้ำในแนวยาว และจำนวนท่อไฟเล็กกลับที่ 1 และ 2 โดยสามารถตรวจสอบความเหมาะสมของการออกแบบจำนวนท่อไฟเล็กได้จาก ASME Section 1 PG 52.2 [27] เป็นมาตรฐานของการเว้นระยะระหว่างท่อไฟเล็กแต่ละท่อ เพื่อพิจารณาความเหมาะสมของขนาดหม้อน้ำ และในการออกแบบจำเป็นต้องพิจารณาถึงความแข็งแรง และวัสดุที่เลือกใช้ด้วย ซึ่งสเปทซีทดังกล่าวยังไม่ครอบคลุมถึงเรื่องดังกล่าว เพราะฉะนั้นสเปทซีทคำนวณการถ่ายเทความร้อนจึงเป็นเครื่องมือสำหรับช่วยเหลือการออกแบบซึ่งจะถูกพัฒนาต่อไปในอนาคตเพื่อให้สเปทซีทครอบคลุมถึงส่วนอื่นของการออกแบบหม้อน้ำ

บทที่ 5

สรุปผลการพัฒนาสเปรทซีท

ในบทนี้จะกล่าวถึงการสรุปผลจากการพัฒนาสเปรทซีททั้งหมด 3 สเปรทซีทคือ สเปรทซีท ตรวจสอบสมรรถนะทางความร้อนของหม้อน้ำชนิดท่อไฟ และหม้อน้ำชนิดลูกผสม กับสเปรทซีท คำนวณพื้นที่การถ่ายเทความร้อน

5.1 สรุปผลการพัฒนาสเปรทซีทตรวจสอบสมรรถนะทางความร้อนของหม้อน้ำชนิดท่อไฟ

5.1.1 สรุปผลการตรวจสอบสมรรถนะและความน่าเชื่อถือของสเปรทซีท

จากการตรวจสอบสมรรถนะของสเปรทซีทพบว่า การคำนวณความร้อนจากสเปรทซีทมีความคลาดเคลื่อนกับการถ่ายเทความร้อนในหม้อน้ำอยู่ 6.53 % ซึ่งสาเหตุของความคลาดเคลื่อนดังกล่าวเกิดจากสมมติฐานที่เลือกใช้ไม่ตรงกับปรากฏการณ์จริงในหม้อน้ำ และการแบ่งสัดส่วนในหม้อน้ำไม่ถูกต้อง เนื่องจากการคำนวณไม่รวมพื้นที่การถ่ายเทความร้อนที่ endplate ของหม้อน้ำ ซึ่งหากเป็นหม้อน้ำชนิดหลังเปือกพื้นที่ดังกล่าวถือเป็นพื้นที่รับความร้อนเช่นกัน การเพิ่มการคำนวณในพื้นที่ดังกล่าวจะลดความคลาดเคลื่อนลงได้ ในหม้อน้ำชนิดท่อไฟ หากใช้เชื้อเพลิงเป็นเชื้อเพลิงแข็ง อัตราการไหลของไอเสียนั้นจะไม่คงที่ โดยอัตราการไหลของก๊าซขึ้นอยู่กับพัดลม 2 ชนิดคือ พัดลมเป่า (Force draft fan) และ พัดลมดูดเขม่า (Soot blower หรือ Induce draft fan) ซึ่งจะต้องวิเคราะห์ถึงการสูญเสียความร้อนจากอากาศส่วนเกินที่ถ่ายเทความร้อนออกไปทางปล่องไอเสียด้วย หากวิเคราะห์อย่างละเอียด จะทำให้ทราบสาเหตุของความคลาดเคลื่อน และวิเคราะห์แนวทางการปรับแก้ให้มีความคลาดเคลื่อนลดลง

5.1.2 สรุปผลการวิเคราะห์อิทธิพลของการถ่ายเทความร้อน จากการคำนวณของสเปรทซีทในเทอมของค่า Overall heat transfer coefficient ในแต่ละส่วนของหม้อน้ำ

การถ่ายเทความร้อนในหม้อน้ำชนิดท่อไฟเกิดขึ้นในท่อไฟเล็กกว่า 70% และมีการถ่ายเทความร้อนในท่อไฟใหญ่ 30 % จากผลการวิเคราะห์อิทธิพลของการถ่ายเทความร้อนโดยการถ่ายเทความร้อนในท่อไฟใหญ่นั้นค่าสัมประสิทธิ์การถ่ายเทความร้อนของด้านน้ำ (h_o) มีอิทธิพลต่อค่าสัมประสิทธิ์การถ่ายเทความร้อนรวมในท่อไฟใหญ่ ค่าสัมประสิทธิ์การถ่ายเทความร้อนรวมขึ้นอยู่กับเทอมดังกล่าว โดยแนวทางการเพิ่มการถ่ายเทความร้อนในท่อไฟใหญ่สามารถทำได้ เช่น การติดตั้งครีบทงด้านนอกของท่อไฟใหญ่เพื่อเพิ่มการถ่ายเทความร้อน โดยจากผลการทดสอบเพิ่มค่าสัมประสิทธิ์ดังกล่าวในด้านน้ำสองเท่าส่งผลให้ค่าสัมประสิทธิ์การถ่ายเทความร้อนรวมเพิ่ม 44.8 % สำหรับในท่อไฟเล็กทั้งสองกลับนั้นอิทธิพลของการถ่ายเทความร้อนตรงกันข้ามกับในท่อไฟใหญ่ ค่าสัมประสิทธิ์การถ่ายเทความร้อนของด้านไฟ (h_i) มีอิทธิพลต่อค่าสัมประสิทธิ์การถ่ายเทความร้อนรวม การเพิ่มการถ่ายเทความร้อนในด้านไฟ เช่นการติดตั้งไบบิต จะเพิ่มการถ่ายเทความร้อนได้ดี จากการทดสอบเพิ่มค่าสัมประสิทธิ์การถ่ายเทความร้อนด้านไฟเป็นสองเท่า พบว่าค่าสัมประสิทธิ์การถ่ายเทความร้อนรวมเพิ่ม 49.92 % ในท่อไฟเล็กกลับแรก และเพิ่ม 49.84 ในท่อไฟเล็กกลับที่สอง

5.2 สรุปผลการพัฒนาสเปรทซ์ที่ตรวจสอบสมรรถนะทางความร้อนของหม้อน้ำชนิดถูกผสม

5.2.1 สรุปผลการตรวจสอบสมรรถนะและความน่าเชื่อถือของสเปรทซ์ที่

จากการตรวจสอบสมรรถนะของสเปรทซ์ที่พบว่า การคำนวณความร้อนจากสเปรทซ์ที่มีความคลาดเคลื่อนกับการถ่ายเทความร้อนในหม้อน้ำอยู่ 1.81 % มีความคลาดเคลื่อนอยู่ในขอบเขตที่สามารถรับได้ ความสัมพันธ์ทางคณิตศาสตร์ที่เลือกใช้สำหรับหม้อน้ำชนิดถูกผสมสามารถใช้คำนวณสมรรถนะทางความร้อนในหม้อน้ำชนิดถูกผสมได้ การพัฒนาในแนวทางต่อไปคือเลือกใช้ความสัมพันธ์ที่ใกล้เคียงกับปรากฏการณ์จริงมากขึ้น เพื่อเพิ่มความน่าเชื่อถือของสเปรทซ์ และความแม่นยำในการวิเคราะห์การถ่ายเทความร้อนในแต่ละส่วนของหม้อน้ำ โดยเพิ่มการคำนวณในส่วนประกอบอื่นๆ อย่างอีโคโนไมเซอร์ ซึ่งเป็นอุปกรณ์ที่ติดตั้งเพื่อให้ความร้อนกับน้ำป้อนเพื่อลดปริมาณการใช้เชื้อเพลิง และการแบ่งสัดส่วนการคำนวณให้มีความละเอียดยิ่งขึ้น หรือใช้สเปรทซ์ที่ดังกล่าวเป็นต้นแบบสำหรับพัฒนาเป็นสเปรทซ์ที่สามารถคำนวณทิศทางของการแผ่รังสีความร้อนของเปลวไฟในห้องเผาไหม้ให้มีปรากฏการณ์ใกล้เคียงกับหม้อน้ำจริงมากยิ่งขึ้น เพื่อตรวจสอบการเพิ่มของการถ่ายเทความร้อนที่แม่นยำ และพัฒนาในส่วนของการคำนวณอุณหภูมิเปลวไฟ และอุณหภูมิไอเสียในห้องเผาไหม้ด้วย เพราะในด้านการตรวจสอบหม้อน้ำสามารถใช้ค่าจากการวัดอุณหภูมิห้องเผาไหม้จากหม้อน้ำจริงได้ แต่สำหรับการออกแบบนั้นไม่สามารถนำค่าดังกล่าวมาเทียบได้ เพราะฉะนั้นหากต้องการพัฒนาสเปรทซ์สำหรับการออกแบบหม้อน้ำชนิดถูกผสมด้วยนั้นต้องแก้ไขในส่วนของสูตรคำนวณอุณหภูมิห้องเผาไหม้

5.2.2 สรุปผลการวิเคราะห์อิทธิพลของการถ่ายเทความร้อน จากการคำนวณของสเปรทซ์ในเทอมของค่า Overall heat transfer coefficient ในแต่ละส่วนของหม้อน้ำ

การถ่ายเทความร้อนทั้งหมดกว่า 75 % เกิดขึ้นในห้องเผาไหม้ หากการถ่ายเทความร้อนในห้องเผาไหม้ไม่ดีจะส่งผลต่อการผลิตไอ โดยการถ่ายเทความร้อนในห้องเผาไหม้นั้นตั้งสมมติฐานให้เป็นการถ่ายเทความร้อนแบบแผ่รังสี กับการพาความร้อนโดยจากผลการคำนวณโดยสเปรทซ์ที่พบว่าในห้องเผาไหม้ การถ่ายเทความร้อนทั้งหมด แบ่งสัดส่วนเป็นการแผ่รังสีความร้อน 65% และการพาความร้อน 35% แสดงว่าการถ่ายเทความร้อนในห้องเผาไหม้เป็นผลจากการแผ่รังสีความร้อนส่วนมากจากสมมติฐานที่ใช้รวมถึงการคำนวณ view factor ของการถ่ายเทความร้อน ไม่ได้ใช้ความสัมพันธ์ทางคณิตศาสตร์ที่เหมือนกับปรากฏการณ์จริง แต่จากผลการคำนวณโดยสเปรทซ์ที่บอกถึงสัดส่วนของการถ่ายเทความร้อนว่าส่วนใหญ่เป็นการแผ่รังสี หากใช้ความสัมพันธ์ทางคณิตศาสตร์ที่ใกล้เคียงกับปรากฏการณ์จริงมากยิ่งขึ้น คาดการณ์ว่าการถ่ายเทความร้อนในห้องเผาไหม้จะสูงกว่า 65% และสำหรับการพาความร้อนในห้องเผาไหม้นั้น สมมติฐานที่ตั้งไว้ใน การคำนวณเป็นแบบการพาความร้อนแบบบังคับ ในปรากฏการณ์จริงห้องเผาไหม้ที่มีขนาดใหญ่ การพาความร้อนแบบบังคับนั้น ไม่ได้ถ่ายเทผ่านผิวท่อน้ำทุกท่อ เนื่องจากการติดตั้งท่อน้ำแนวตั้งขนานกับกำแพง หากใช้ความสัมพันธ์ทางคณิตศาสตร์ที่เหมาะสมกับปรากฏการณ์จริง คาดการณ์ว่าการถ่ายเทความร้อนในห้องเผาไหม้นั้นส่วนใหญ่จะเป็นการแผ่รังสีความร้อนมากกว่าการพาความร้อน การวิเคราะห์อิทธิพลของการถ่ายเทความร้อนนั้นพบว่าอิทธิพลของการถ่ายเทความร้อนอยู่ที่เทอมของสัมประสิทธิ์การถ่ายเทความร้อนด้านไฟ

(h_i) โดยการทดสอบเพิ่มค่าสัมประสิทธิ์การถ่ายเทความร้อนแบบแผ่รังสี และการพาความร้อนเพียงอย่างใดอย่างหนึ่งเป็นสองเท่า นั้น เพิ่มค่าสัมประสิทธิ์การถ่ายเทความร้อนรวมเพิ่มขึ้น 60.14 % และ 34.58 % ตามลำดับ สำหรับในท่อไฟใหญ่นั้น จะแตกต่างกับกรณีของหม้อน้ำชนิดท่อไฟเนื่องจากการพาความร้อนเพียงอย่างเดียวโดยอิทธิพลต่อสัมประสิทธิ์การถ่ายเทความร้อนรวมในท่อไฟใหญ่นั้น ขึ้นอยู่กับทางด้านไฟมากกว่าด้านน้ำ โดยจากการทดสอบเพิ่มค่าสัมประสิทธิ์การถ่ายเทความร้อนทางด้านไฟ (h_i) และด้านน้ำ (h_o) ด้านใดด้านหนึ่ง เป็นสองเท่าพบว่าค่าสัมประสิทธิ์การถ่ายเทความร้อนรวมจากการเพิ่มค่า h_i และ h_o เพิ่ม 51.39 % และ 19.05 % ตามลำดับ การติดตั้งไบบิตภายในท่อไฟใหญ่ และครีบบนส่วนของท่อไฟใหญ่จะเพิ่มการถ่ายเทความร้อนได้ สำหรับท่อไฟเล็กอิทธิพลต่อค่าสัมประสิทธิ์การถ่ายเทความร้อนนั้นอยู่ที่ด้านไฟเช่นเดียวกับหม้อน้ำชนิดท่อไฟ แต่เนื่องจากการถ่ายเทความร้อนส่วนใหญ่อยู่ในห้องเผาไหม้ ทำให้การทดสอบเพิ่มค่าสัมประสิทธิ์การถ่ายเทความร้อนด้านไฟเป็นสองเท่า นั้น ส่งผลให้ค่าสัมประสิทธิ์การถ่ายเทความร้อนรวมเพิ่มขึ้นถึง 95-99 % การทดสอบดังกล่าวจะทำให้สเปรทซ์หาคำนวณความร้อนออกมาเกินกำหนด เพราะฉะนั้นผู้ใช้งานสเปรทซ์ต้องระวัง เพราะผลการคำนวณจะคลาดเคลื่อนในส่วนของการถ่ายเทความร้อนในท่อไฟเล็ก ผู้พัฒนาแนะนำว่าให้ทดสอบเพียงแค่ 1.1-1.4 เท่าของ สัมประสิทธิ์การถ่ายเทความร้อนในด้านไฟเดิม ก็เพียงพอแล้ว เพราะความร้อนส่วนใหญ่ในหม้อน้ำอยู่ในห้องเผาไหม้กว่า 75 % การทดสอบเพิ่มค่า h_i จะทำให้ความร้อนแสดงผลเกินขีดจำกัด และทำให้สเปรทซ์เกิดความผิดพลาดได้

5.3 สรุปผลการพัฒนาสเปรทซ์หาคำนวณพื้นที่การถ่ายเทความร้อนในหม้อน้ำชนิดท่อไฟ

การพัฒนาสเปรทซ์เพื่อทดสอบสมรรถนะทางความร้อนเป็นส่วนหนึ่งของการพัฒนาเพื่อใช้สำหรับการออกแบบ จากการนำสูตรที่ใช้ในสเปรทซ์ทดสอบสมรรถนะมาประยุกต์สำหรับการออกแบบนั้นพบว่า นอกจากขนาดของหม้อน้ำ ความดันไอ อุณหภูมิน้ำป้อน ชนิดเชื้อเพลิง ประสิทธิภาพหม้อน้ำ อัตราการผลิตไอ เพื่อเป็นตัวแปรตั้งต้นสำหรับคำนวณจำนวนท่อไฟเล็กแล้ว ค่าที่ส่งผลกับผลการคำนวณคือ สัดส่วนความร้อน (%) และความดันลด (Pressure drop) การกำหนดสัดส่วนทางความร้อนมีผลต่อจำนวนท่อ และการกำหนดความดันลดส่งผลต่อความเร็วไอเสีย ส่งผลต่อการคำนวณจำนวนท่อ ซึ่งในขั้นตอนแรกของการพัฒนาสเปรทซ์ออกแบบพื้นที่การถ่ายเทความร้อนนั้น ออกแบบให้สัดส่วนความร้อนเป็นเพียงตัวแปรเดียวที่ส่งผลต่อจำนวนท่อ แต่จากการพัฒนา และศึกษาเพิ่มเติมพบว่า หากไม่พิจารณาในผลจากความดันลด จะส่งผลให้ไม่มีค่าใดมา กำหนดความเร็วของไอเสีย ส่งผลให้ผลการคำนวณแบบวนซ้ำไม่ลู่เข้าหาคำตอบ จึงต้องใช้ค่าความดันลดสูงสุดที่สามารถรับได้ ในแต่ละส่วนของหม้อน้ำ เพื่อควบคุมความเร็วของไอเสีย ซึ่งผู้พัฒนาให้ความคิดเห็นว่า การกำหนดค่าดังกล่าวควรใช้สเปรทซ์จำลองการไหลในการทดสอบค่าความดันลดที่เหมาะสมทั้งการสูญเสียหลัก (Major loss) และการสูญเสียรอง (Minor loss) จึงจะสามารถคำนวณพื้นที่การถ่ายเทความร้อนที่เหมาะสมได้อย่างถูกต้อง เนื่องจากสเปรทซ์หาคำนวณออกมาเพียงจำนวนท่อที่จำเป็น แต่สิ่งที่ต้องพิจารณาเพิ่มคือการเว้นระยะของท่อแต่ละท่อซึ่งการเว้นระยะดังกล่าวต้องเป็นไปตามมาตรฐาน ASME Section 1 PG 52.2 [27] การพัฒนาสเปรทซ์หาคำนวณการถ่ายเทความร้อนนั้นเป็นเครื่องมือสำหรับออกแบบเพียงส่วนหนึ่งเท่านั้น การออกแบบทั้งหมดต้องใช้เครื่องมือ และมาตรฐานการออกแบบ เพื่อการออกแบบหม้อน้ำจะมีความถูกต้อง และปลอดภัยสำหรับการใช้งาน

5.4 ข้อเสนอแนะในการพัฒนาสเปรทซ์

การตรวจสอบสมรรถนะของสเปรทซ์นั้นนอกจากการเทียบผลการคำนวณกับปริมาณความร้อนที่ใช้จริงแล้วยังมีส่วนหนึ่งที่ต้องตรวจสอบเพิ่มเติมนั่นก็คือ อุณหภูมิของแต่ละส่วนในหม้อน้ำจากการคำนวณ เพราะเป็นปัจจัยหลักในการออกแบบหม้อน้ำ กล่าวคือการแบ่งสัดส่วนการถ่ายเทความร้อนในแต่ละส่วนอย่างเหมาะสม จะทำให้การออกแบบหม้อน้ำสมบูรณ์ยิ่งขึ้น โดยวิธีการตรวจสอบอีกวิธีหนึ่งคือการวัดอุณหภูมิในแต่ละส่วนของหม้อน้ำ ทั้งชนิดท่อไฟ และลูกผสม เพื่อนำอุณหภูมิดังกล่าว มาเทียบกับสเปรทซ์ จะสามารถหาความคลาดเคลื่อนได้ละเอียดยิ่งขึ้น โดยหาความคลาดเคลื่อนในแต่ละส่วนของหม้อน้ำได้ จากผลการคำนวณจะเห็นได้ว่า ในหม้อน้ำชนิดท่อไฟ การถ่ายเทความร้อนส่วนมากจะเกิดในท่อไฟเล็กกลับที่ 1 ในขณะที่หม้อน้ำชนิดลูกผสม การถ่ายเทความร้อนส่วนใหญ่เกิดขึ้นที่ห้องเผาไหม้ ในปัจจุบันสเปรทซ์ดังกล่าว สามารถคำนวณหาปริมาณความร้อนทั้งหมดที่ถ่ายเทในหม้อน้ำได้อย่างใกล้เคียงกับการทดลอง แต่ยังไม่สามารถคำนวณได้อย่างละเอียดในแต่ละส่วนของหม้อน้ำได้เนื่องจากข้อจำกัดในการทำวิจัย ผู้จัดทำไม่สามารถเจาะหม้อน้ำเพื่อติดตั้งอุปกรณ์วัดอุณหภูมิในแต่ละส่วนของหม้อน้ำได้ เนื่องจากเป็นหม้อน้ำของผู้ประกอบการ ผู้จัดทำจึงเพิ่มเติมข้อเสนอแนะดังกล่าวนี้ เพื่อเป็นแนวทางสำหรับพัฒนาให้สเปรทซ์มีสมรรถนะที่ดีขึ้น โดยในงานวิจัยต่อไป ผู้จัดทำเสนอแนวทางว่า ควรทำให้สเปรทซ์นี้แบ่งสัดส่วนทางความร้อนในหม้อน้ำให้ใกล้เคียงกับหม้อน้ำจริงมากที่สุด เพื่อให้ใช้งานสามารถวิเคราะห์ความคลาดเคลื่อนที่เกิดขึ้นในแต่ละส่วนของหม้อน้ำได้ ก่อนจะพัฒนาเป็นโปรแกรมสำเร็จสำหรับออกแบบหม้อน้ำอุตสาหกรรมต่อไปในอนาคต

เอกสารอ้างอิง

- [1] AB&CO TT Boilers. "Calculation of Boiler Properties." [Online]. Available : http://www.abco.dk/ABCO_TT_BOILERS_Properties.xls. 2015.
- [2] US Department of Energy . "Steam System Modeler Tool(SSMT) Boiler Calculator." [Online]. Available: https://www4.eere.energy.gov/manufacturing/tech_deployment/amo_steam_tool/equipBoiler. 2015.
- [3] US Department of Energy . "Steam System Modeler Tool(SSMT) Saturated Properties Calculator." [Online]. Available : https://www4.eere.energy.gov/manufacturing/tech_deployment/amo_steam_tool/propSaturated. 2015.
- [4] US Department of Energy . "Steam System Modeler Tool(SSMT) Saturated Properties Calculator." [Online]. Available : https://www4.eere.energy.gov/manufacturing/tech_deployment/amo_steam_tool/propSaturated. 2015.
- [5] US Department of Energy . "Steam System Modeler Tool(SSMT) Saturated Properties Calculator." [Online]. Available : https://www4.eere.energy.gov/manufacturing/tech_deployment/amo_steam_tool/propSaturated. 2015.
- [6] HowStuffWorks . "How Steam Engines Work Fire-tube Boiler." [Online]. Available : <http://s.hswstatic.com/gif/steam-boiler-ft-a.gif>. 2015.
- [7] กรมโรงงาน กระทรวงอุตสาหกรรม. "คู่มือการใช้งานและการดูแลรักษาหม้อน้ำ โครงการถ่ายทอดเทคโนโลยีด้านความปลอดภัยแก่สถานประกอบการ : ความปลอดภัยในการใช้งานหม้อน้ำ." [Online]. Available : <http://php.diw.go.th/safety/wp-content/uploads/2015/01/boiler2.pdf>. 2015. P.1-4 – 1-5
- [8] Spirax Sarco . "Water-tube Boiler." [Online]. Available : http://www2.spiraxsarco.com/images/resources/steam-engineering-tutorials/3/3/3/3_3_1.gif. 2015.
- [9] HowStuffWorks . "How Steam Engines Work Water-tube Boiler." [Online]. Available : <http://s.hswstatic.com/gif/steam-boiler-wt-b.gif>. 2015.
- [10] Powerhouse Boiler equipment . "Hurst boiler – Hybrid Solid Fuel." [Online]. Available : <http://www.powerhouse.com/wp-content/uploads/2012/04/hurst-boiler-hybrid-solid-fuel-1.jpg>. 2015

- [11] Yunus A. Cengel, "The Thermal Resistance Concept", Heat transfer, Second edition, Mc-Graw-Hill, 2002, p. 130
- [12] วรสิทธิ์ กาญจนกิจเกษม, "การประมาณค่าในช่วงและการวิเคราะห์การถดถอย", ระเบียบวิธีเชิงตัวเลข, พิมพ์ครั้งที่ 1, โรงพิมพ์แห่งจุฬาลงกรณ์มหาวิทยาลัย:สำนักพิมพ์แห่งจุฬาลงกรณ์มหาวิทยาลัย, 2557, 175-177
- [13] Dunkle, R.V.: "Geometric Mean Beam Lengths for Radiant Heat Transfer Calculations," J., Heat Transfer, vol. 86, p. 75, February 1964.
- [14]] Hottel, H.C., 1931, "Radiant heat transmission between surfaces separated by non-absorbing media," *Trans. ASME*, vol. 53, FSP-53-196, pp. 265-273.
- [15] Gnielinski, V., 1976, New Equation for Heat and Mass Transfer in Turbulent Pipe and Channel Flow, *Int. Chemical Engineering* v. 16, 359-368.
- [16] Rohsenow, W.M. , : A Method of Correlation of Maximum Heat Flux Data for Surface Boiling Liquids, *Trans. ASME*, vol.74, p. 969, 1952.
- [17] Mostinski, I. L., "Application of the Rule of Corresponding States for Calculation of Heat Transfer and Critical Heat Flux," *Teploenergetika (Moscow, Russ. Fed.)*, vol. 4, 1963, pp. 66-71.
- [18] M. Jakob. Heat Transfer. Vol. 1. New York: John Wiley & Sons, 1949.
- [19] A. Zukauskas. "Heat Transfer from Tubes in Cross Flow." In *Advances in Heat Transfer*, ed. J. P. Hartnett and T. F. Irvine, Jr. Vol. 8. New York: Academic Press, 1972.
- [20] Jallouk, P.A. , "Two-phase flow pressure drop and heat transfer characteristics of refrigerants in vertical tubes," Dissertation presented for the Doctor of Philosophy Degree, The University of Tennessee, Dec. 1974.
- [21] Chen, J.C. "A correlation for boiling heat transfer to saturated fluids in convective flow," *I&EC Process Design and Development*, Vol. 5, No. 3, July 1966, pp. 322-329.
- [22] [Foster, H.K and Zuber, N. , "Dynamic of vapor bubble and boiling heat transfer," *AIChE Journal*, Vol. 1, 1955, pp. 531-535.]
- [23] [S.R. Turn, "Combustion and Thermochemistry", *An Introduction to Combustion*,

Second edition, Singapore : McGraw-Hill, 2000, p. 13-15.]

[24] S.R. Turn, "Combustion and Thermochemistry", An Introduction to Combustion,

Second edition, Singapore : McGraw-Hill, 2000, p. 19-20,27-28.

[25] Louis Theodore, "Appendix B", Heat Transfer Applications for the Practicing Engineer, John Wiley & Sons, Inc., 2011, p. 624-626

[26] Yunus A. Cengel ,Michael A. Boles. "Appendix 1", Thermodynamics , Mc-Graw-Hill, 2011, p. 890-893

[27] ASME Section I PG 52.2

ภาคผนวก ก

รายงานตรวจสอบประสิทธิภาพหม้อน้ำ บริษัท แอล วาย อินดัสตรี จำกัด

รายงานสรุปผลการตรวจวัดประสิทธิภาพหม้อไอน้ำหลังปรับปรุง

บริษัท แอล.วาย. อินดัสตรีส์ จำกัด

(เชื้อเพลิง Wood Pellet)



ดำเนินการโดย

บริษัท โพร เอ็นเนอร์ยี แอนด์ เอ็นจิเนียริง จำกัด

24 เมษายน 2558

ผลการ

หม้อไอน้ำ

ข้อมูลสถานประกอบการ

สถานประกอบการ	บริษัท แอล.วาย. อินดัสตรีส์ จำกัด
ที่อยู่	124 ถนนพระยาสุเรนทร์ ตำบลบางชัน อำเภอคลองสามวา จังหวัดกรุงเทพฯ รหัสไปรษณีย์ 10510
	โทรศัพท์ 02 5170768 โทรสาร 02 5174888
ผลิตภัณฑ์ที่ผลิต	สายเทป เชือกสำหรับเสื้อผ้ากีฬา

ข้อมูลเบื้องต้นของหม้อไอน้ำ

ผู้ผลิต	BABCOCK-HANSA
รุ่น	-
ชนิดหม้อไอน้ำ	Fire Tube Boiler
ขนาดหม้อไอน้ำ	3 ตัน/ชั่วโมง (หม้อไอน้ำหมายเลข 1)
ชนิดเชื้อเพลิง	Biomass (Wood Pellet)
วันที่ทำการตรวจวัด	20 เม.ย. 2558

หลักการตรวจวัดและวิเคราะห์ผล

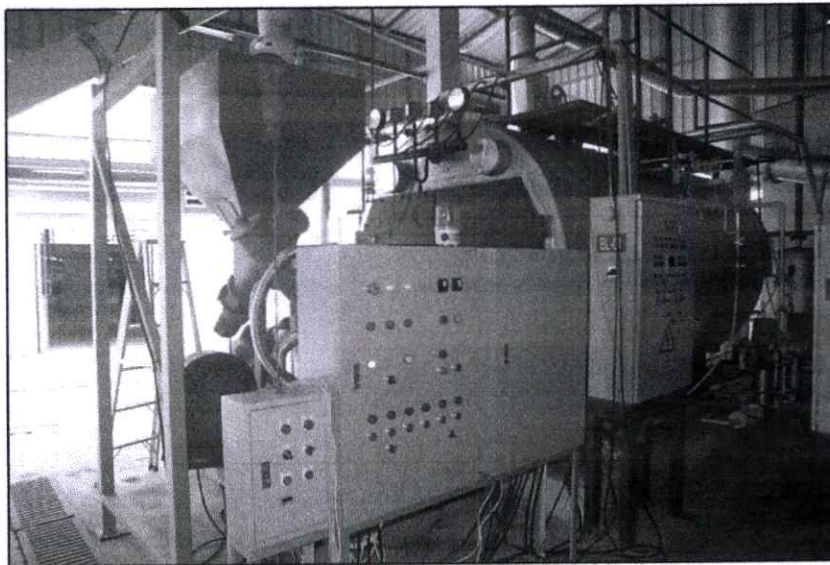
หลักการตรวจวัดเพื่อวิเคราะห์หาประสิทธิภาพของหม้อไอน้ำ และประสิทธิภาพการเผาไหม้เชื้อเพลิง จะทำการตรวจวัดและบันทึกข้อมูลเพื่อใช้ประกอบการคำนวณ ดังนี้

- ปริมาณน้ำป้อนเฉลี่ย : บันทึกข้อมูลตัวเลขมิเตอร์น้ำป้อนเข้าหม้อไอน้ำแต่ละวัน และนำมาคำนวณหาปริมาณน้ำป้อนเฉลี่ย
- ชั่วโมงการทำงานของหม้อไอน้ำ : บันทึกเวลาเปิด-ปิดหม้อไอน้ำแต่ละวัน และนำมาคำนวณหาระยะเวลาที่หม้อไอน้ำทำงาน
- อุณหภูมิน้ำป้อนหม้อไอน้ำเฉลี่ย : ตรวจวัดอุณหภูมิน้ำป้อนที่อยู่ในถังพักน้ำป้อนโดยใช้เครื่องวัดอุณหภูมิแบบดิจิตอล (Digital Thermometer) วัดอุณหภูมิ ณ ช่วงเวลาต่างๆ ของวัน และนำมาคำนวณหาอุณหภูมิน้ำป้อนเฉลี่ย เปรียบเทียบกับค่าที่อ่านได้จากเกจวัดอุณหภูมิที่ถังพักน้ำป้อน
- ความดันไอน้ำที่ผลิตได้ : บันทึกค่าความดันที่อ่านได้จากเกจวัดความดันที่หม้อไอน้ำ และตรวจสอบกับค่าความดันที่กำหนดไว้ที่สวิตช์ควบคุมความดัน (Pressure switch) ณ ช่วงเวลาต่างๆ ของวัน และนำมาคำนวณหาความดันไอน้ำเฉลี่ย
- อัตราเชื้อเพลิงที่ป้อนให้หม้อไอน้ำ : บันทึกจำนวน big pack ของเชื้อเพลิงที่ใช้ในช่วงเวลาที่ทดสอบ 100 ชั่วโมง และนำมาคำนวณหาอัตราการใช้เชื้อเพลิงเฉลี่ย
- อัตราน้ำโบล์ดวาร์นที่ระบายทิ้ง : ตรวจวัดขนาดเส้นผ่าศูนย์กลางของท่อโบล์ดวาร์นเพื่อนำมาหาค่าอัตราน้ำที่โบล์ดวาร์นจากกราฟ
- ปริมาณออกซิเจนในไอเสีย : ตรวจวัดปริมาณออกซิเจนในไอเสียโดยใช้เครื่องวัดและวิเคราะห์ไอเสีย (Flue Gas Analyzer) นำมาคำนวณหาค่าปริมาณออกซิเจนเฉลี่ยในช่วงเวลาที่เกิดการเผาไหม้
- อุณหภูมิไอเสียและอุณหภูมิแวลวล้อม : ตรวจวัดอุณหภูมิไอเสียและอุณหภูมิแวลวล้อมโดยใช้เครื่องวัดและวิเคราะห์ไอเสีย (Flue Gas Analyzer) นำมาคำนวณหาค่าอุณหภูมิไอเสียเฉลี่ยและอุณหภูมิแวลวล้อมเฉลี่ยในช่วงเวลาที่เกิดการเผาไหม้
- ปริมาณก๊าซคาร์บอนไดออกไซด์ และ ก๊าซคาร์บอนมอนนอกไซด์ : ตรวจวัดปริมาณก๊าซคาร์บอนไดออกไซด์และก๊าซคาร์บอนมอนนอกไซด์โดยใช้เครื่องวัดและวิเคราะห์ไอเสีย (Flue Gas Analyzer) นำมาคำนวณหาค่าเฉลี่ยจากไอเสียที่ออกจากหม้อไอน้ำในช่วงเวลาที่เกิดการเผาไหม้

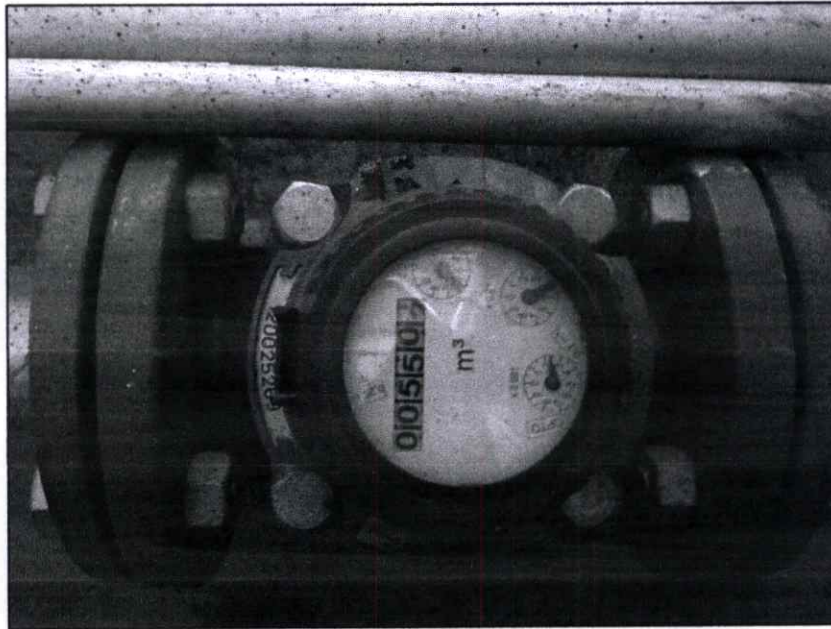
หมายเหตุ ในการคำนวณประสิทธิภาพการเผาไหม้ของหม้อไอน้ำ จะใช้ค่าตรวจวัดและวิเคราะห์ไอเสียที่ตรวจวัดในช่วง Low Fire เนื่องจากกระบวนการผลิตของโรงงานมีความต้องการใช้ไอน้ำปริมาณน้อย ทำให้หม้อไอน้ำทำงานในโหมด Low Fire เกือบตลอดเวลา



หม้อไอน้ำเชื้อเพลิงชีวมวล (หลังปรับปรุง)



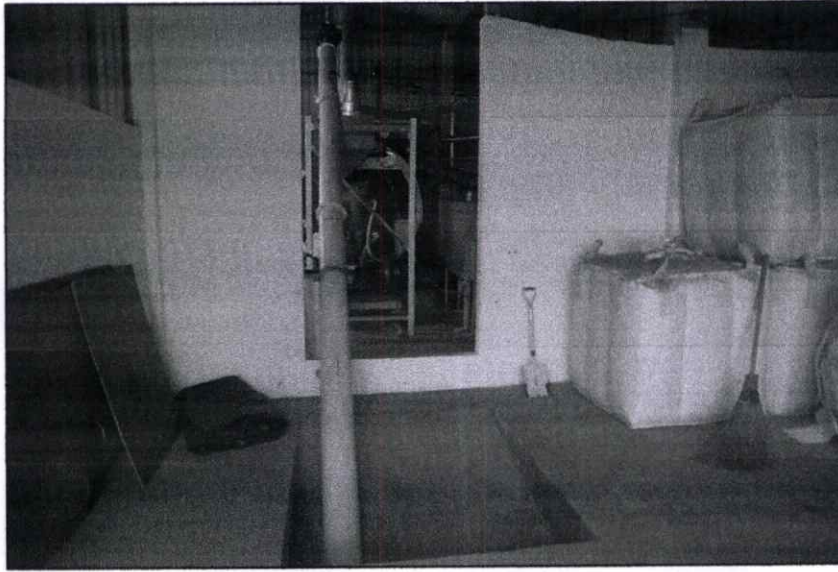
ตู้ควบคุมการทำงานหม้อไอน้ำ



มิเตอร์บันทึกปริมาณน้ำป้อนเข้าหม้อไอน้ำ



เชื้อเพลิงชีวมวล (wood pellet)



Big Pack บรรจุเชื้อเพลิงชีวมวลอัดเม็ด ขนาด 1,000 kg



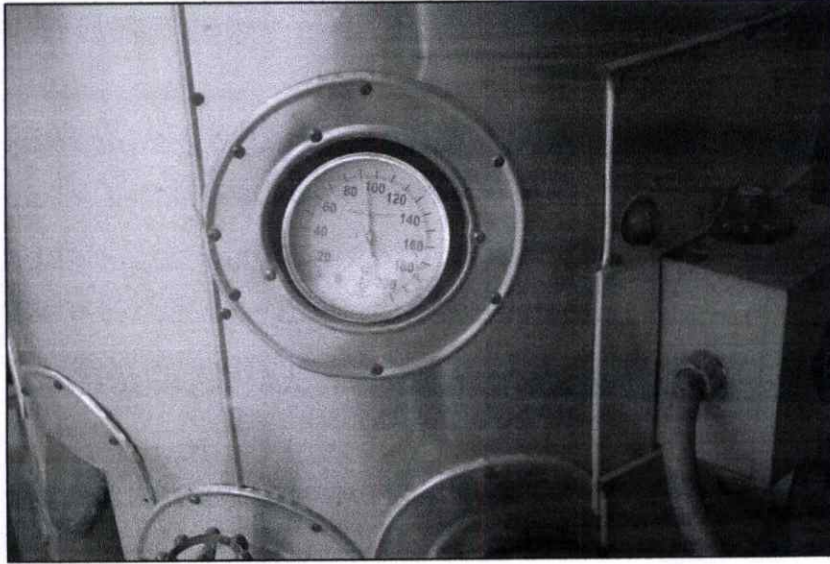
ที่บรรจุเชื้อเพลิงชีวมวลอัดเม็ดรอป้อนเข้าถึงพัก



ถังพักเชื้อเพลิงชีวมวลอัดเม็ดก่อนป้อนเข้าห้องเผาไหม้



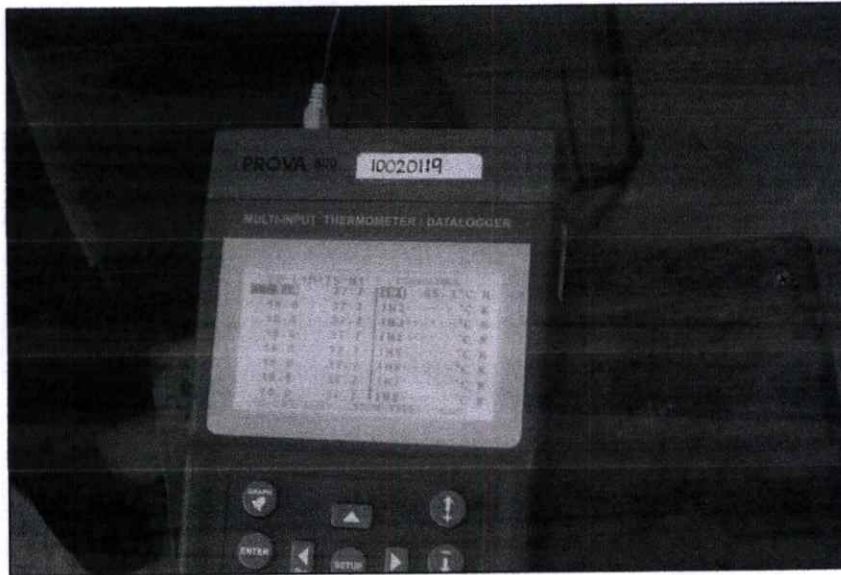
ถังพักน้ำป้อนหม้อไอน้ำ



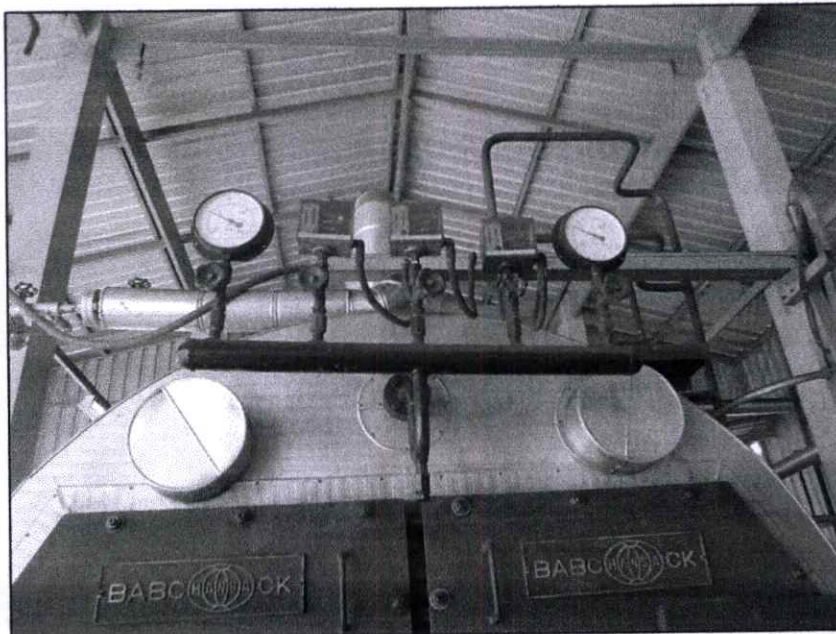
เกจวัดอุณหภูมิที่ถังพักน้ำป้อน



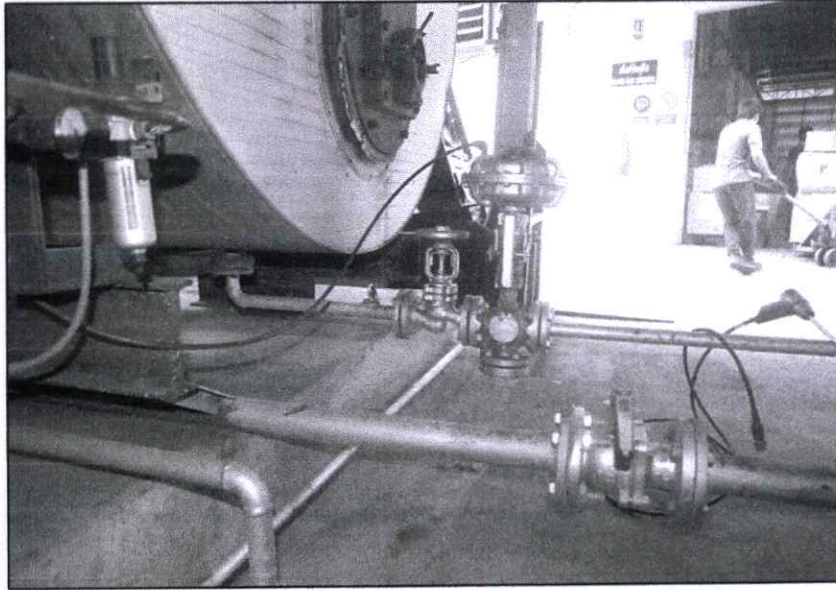
การตรวจวัดอุณหภูมิน้ำป้อนในถังพักน้ำป้อน



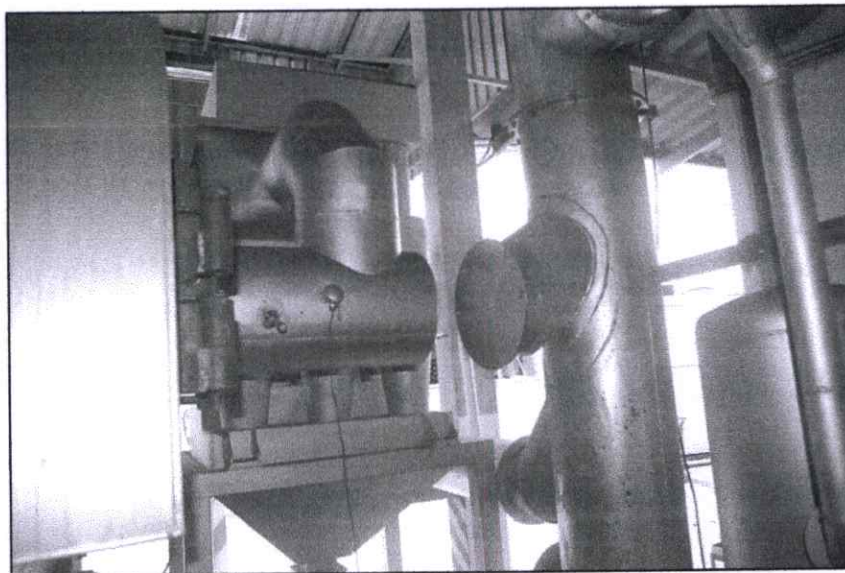
การบันทึกอุณหภูมิน้ำป้อนในถังพักด้วย Digital Thermometer



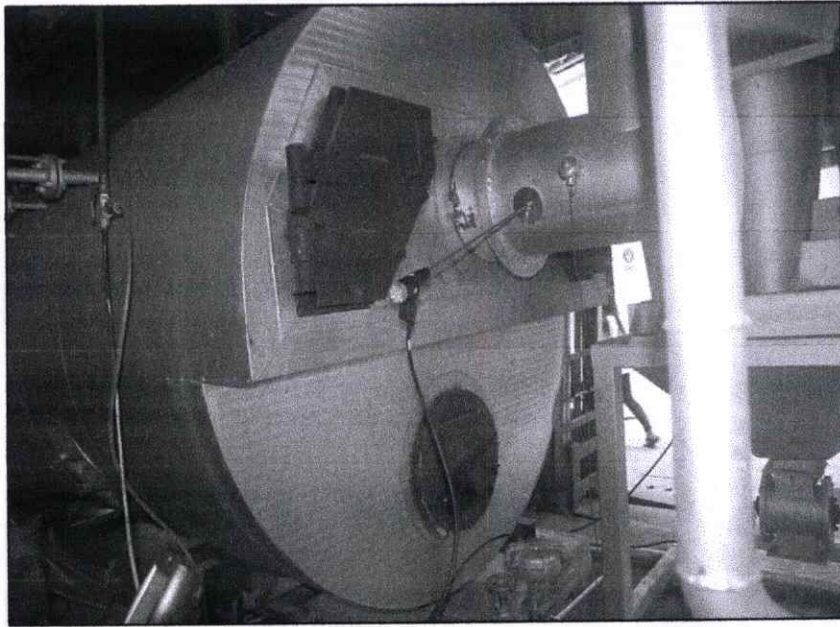
Pressure Switch และเกจวัดความดันไอน้ำที่หม้อไอน้ำ



ท่อโบลว์ดาวน์ของหม้อไอน้ำ (ขนาด 1")



ตำแหน่งตรวจวัดไอเสียที่ปล่อยจากหม้อไอน้ำ (ก่อนเข้าไซโคลน)



การติดตั้งเครื่องวัดประสิทธิภาพการเผาไหม้ (Flue Gas Analyzer)



บันทึกข้อมูลที่ตรวจวัดได้จากเครื่องวัดและวิเคราะห์ไอเสีย (Flue Gas Analyzer)

การคำนวณค่าประสิทธิภาพของหม้อไอน้ำ (Boiler Efficiency)

ประสิทธิภาพหม้อไอน้ำคำนวณโดยใช้วิธี Direct Method

$$\text{ประสิทธิภาพหม้อไอน้ำ} = \frac{(\text{เอนทาลปีของไอน้ำที่ผลิตได้} - \text{เอนทาลปีของน้ำป้อนเข้าหม้อไอน้ำ}) \times 100}{\text{ความร้อนจากเชื้อเพลิงที่ให้กับหม้อไอน้ำ}}$$

ข้อมูลที่ใช้ในการวิเคราะห์

ข้อมูล	ค่าตรวจวัด/บันทึก	หน่วย
อัตราการน้ำป้อนเฉลี่ย	0.392	m ³ /hr
อุณหภูมิน้ำป้อนเฉลี่ย	76.367	°C
ความดันไอน้ำเฉลี่ย (P _{abs})	5.113	bar
อัตราการที่โบล์ดาวน์	14.460	kg/hr
อัตราเชื้อเพลิงที่ใช้เฉลี่ย	61.135	kg/hr
ค่าความร้อนต่ำของเชื้อเพลิง (Wood Pellet)	17.795	MJ/kg

การคำนวณ

อัตราการน้ำป้อนเข้าหม้อไอน้ำ	=	0.392	m ³ /hr
อุณหภูมิน้ำป้อน	=	76.367	°C
ค่าปริมาตรจำเพาะของน้ำที่อุณหภูมิ 76.367 °C	=	0.001027	m ³ /kg
อัตราการน้ำป้อนเข้าหม้อไอน้ำ	=	0.392/0.001027	
	=	381.574	kg/hr
เอนทาลปีของน้ำที่อุณหภูมิ 76.367 °C	=	319.651	kJ/kg
เอนทาลปีของน้ำป้อนเข้าหม้อไอน้ำ	=	381.574 x 319.651	
	=	121,970.421	kJ/hr
ปริมาณไอน้ำที่ผลิตได้	=	อัตราการน้ำป้อน - อัตราน้ำที่โบล์ดาวน์	
	=	381.574 - 14.460	
	=	367.114	kg/hr

อุณหภูมิของไอน้ำที่ความดัน 5.113 bar	=	152.69	°C
เอนทัลปีของไอน้ำที่อุณหภูมิ 152.69 °C	=	2,749.623	kJ/kg
เอนทัลปีของไอน้ำที่ผลิตได้	=	367.114 x 2,749.623	
	=	1,009,424.834	kJ/hr
ความร้อนจากเชื้อเพลิงที่ให้กับหม้อไอน้ำ	=	61.135 x 17,795	
	=	1,087,884.734	kJ/hr

ประสิทธิภาพหม้อไอน้ำ

$$= \frac{(\text{เอนทัลปีของไอน้ำที่ผลิตได้} - \text{เอนทัลปีของน้ำป้อนเข้าหม้อไอน้ำ}) \times 100}{\text{ความร้อนจากเชื้อเพลิงที่ให้กับหม้อไอน้ำ}}$$

$$= \frac{(1009,424.834 - 121,970.421) \times 100}{1,087,884.734}$$

$$= 81.567 \quad \%$$

หมายเหตุ ประสิทธิภาพหม้อไอน้ำหลังปรับปรุงมีค่ามากกว่าก่อนปรับปรุง 4.255% โดยอุณหภูมิไอเสียที่ปล่อยออกจากหม้อไอน้ำหลังปรับปรุงมีค่าลดลงจาก 174.10 °C เป็น 161.73 °C

การคำนวณค่าประสิทธิภาพการเผาไหม้ (Combustion Efficiency)

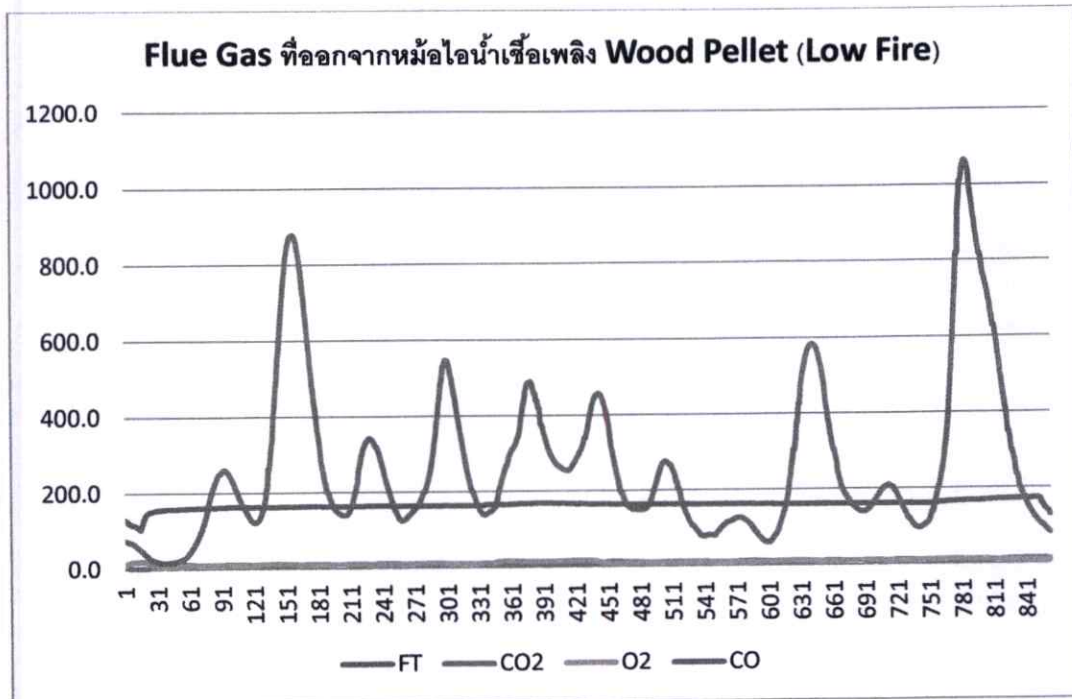
ประสิทธิภาพการเผาไหม้ = 100 - ร้อยละของความร้อนที่สูญเสียไปกับไอเสีย

โดยจะคำนวณหาปริมาณความร้อนที่สูญเสียไปกับไอเสียจากสมการของ Rosin สำหรับเชื้อเพลิงแข็ง

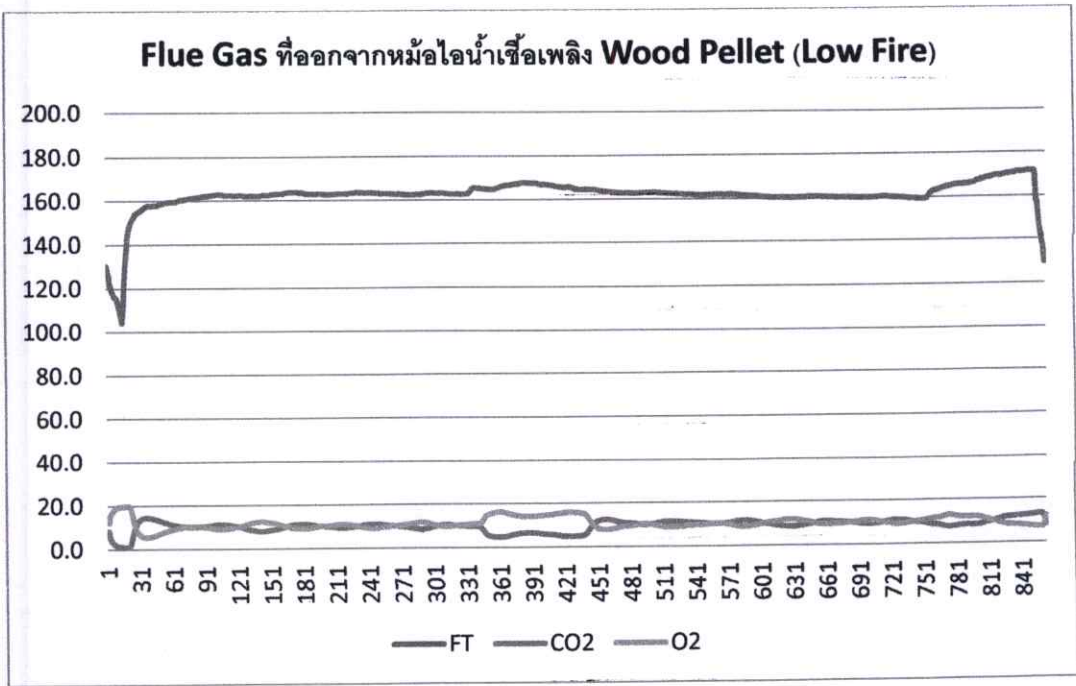
ข้อมูลที่ใช้ในการวิเคราะห์

ข้อมูล	ค่าตรวจวัด/บันทึก	หน่วย
% ออกซิเจนในไอเสียเฉลี่ย	10.827	%
% คาร์บอนไดออกไซด์เฉลี่ย	9.640	%

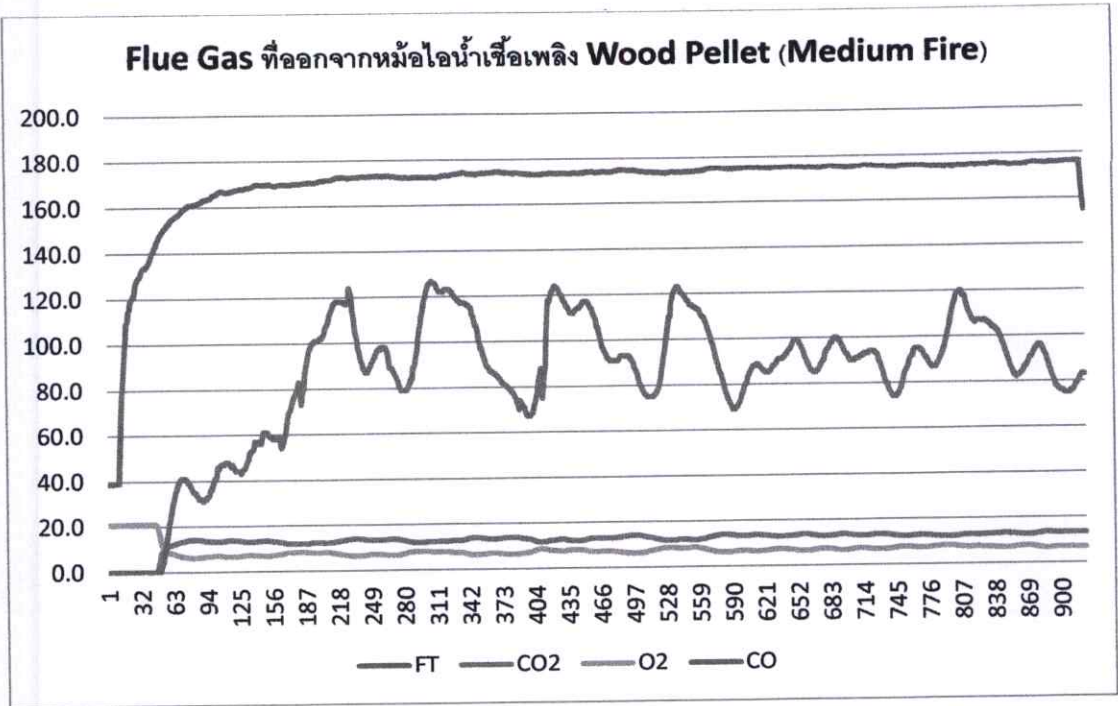
คาร์บอนมอนอกไซด์เฉลี่ย	267.205	ppm
ซัลเฟอร์ไดออกไซด์เฉลี่ย	-	ppm
ออกไซด์ของไนโตรเจนเฉลี่ย	-	ppm
อัตราเชื้อเพลิงที่ใช้เฉลี่ย	61.135	kg/hr
อุณหภูมิไอเสียเฉลี่ย	161.733	°C
อุณหภูมิสิ่งแวดล้อมเฉลี่ย	41.163	°C
ค่าความร้อนต่ำของเชื้อเพลิง	4,251	kcal/kg
ค่าความจุความร้อนจำเพาะของก๊าซ เสียที่อุณหภูมิ 161.733 °C	0.3281	kcal/ Nm ₃ °C



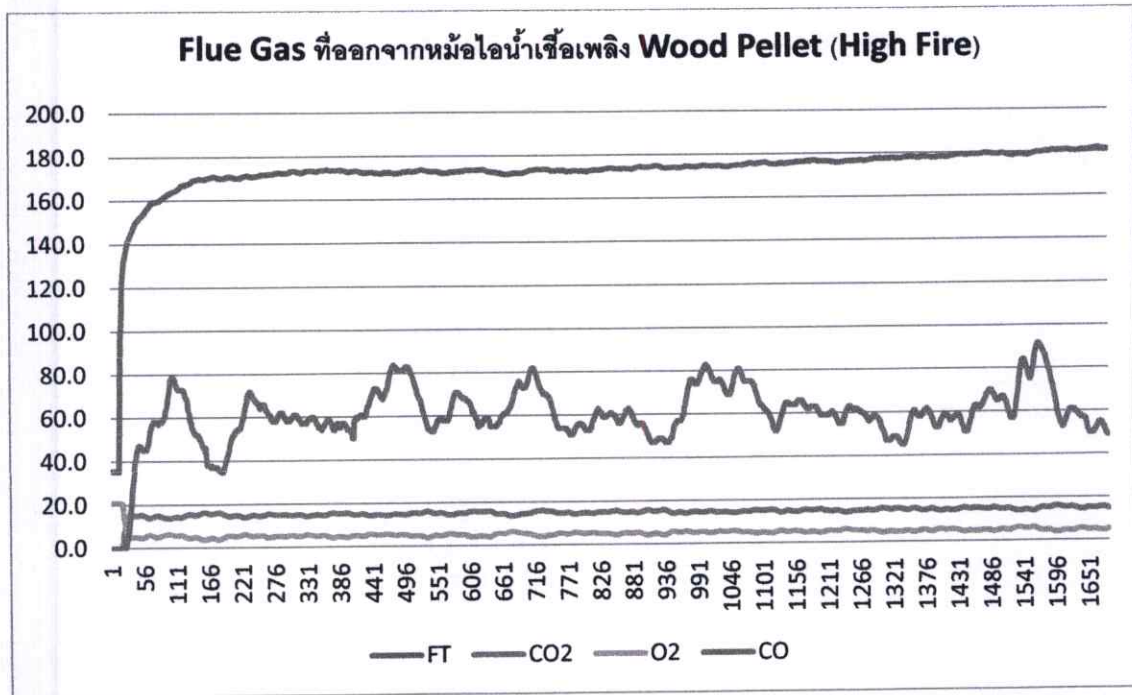
กราฟแสดงปริมาณ CO, O₂, CO₂ และอุณหภูมิไอเสีย (Low fire)



กราฟแสดงปริมาณ O₂ , CO₂ และอุณหภูมิไอเสีย (Low fire)



กราฟแสดงปริมาณ CO, O₂ , CO₂ และอุณหภูมิไอเสีย (Medium fire)



กราฟแสดงปริมาณ CO, O₂, CO₂ และอุณหภูมิไอเสีย (High fire) ช่วงเริ่มเปิดเครื่อง

การคำนวณ

ปริมาณอากาศโดยทฤษฎี (A_{os}) = (1.01 × LHV/1,000) + 0.5
 = (1.01 × 4,251/1,000) + 0.5
 = 4.794 Nm³/kg fuel

ปริมาณก๊าซเสียโดยทฤษฎี (G_{os}) = (0.89 × LHV/1000) + 1.65
 = (0.89 × 4,251/1,000) + 1.65
 = 5.433 Nm³/kg fuel

อัตราส่วนของอากาศ (M) = 21/(21-O₂)
 = 21/(21-10.827)
 = 2.064

ปริมาณอากาศที่ใช้จริง (A) = MA_{os}

$$= 2.064 \times 4.794$$

$$= 9.895 \quad \text{Nm}^3/\text{kg fuel}$$

ปริมาณก๊าซเสียจริง (G)

$$= G_{os} + (M-1)A_{os}$$

$$= 5.433 + ((2.064-1) \times 4.794)$$

$$= 10.535 \quad \text{Nm}^3/\text{kg fuel}$$

ปริมาณความร้อนที่สูญเสียไปกับก๊าซเสียที่ปล่องไฟ (L_g)

$$= G \times C_{p_g} \times (T_g - T_a)$$

$$= 10.535 \times 0.3281 \times (161.733 - 41.163)$$

$$= 416.721 \quad \text{kcal/kg fuel}$$

ปริมาณความร้อนรวมของเชื้อเพลิง (Q_f)

$$= \text{อัตราเชื้อเพลิงที่ป้อนหม้อไอน้ำ} \times \text{ค่าความร้อนของเชื้อเพลิง}$$

$$= 61.135 \times 4,251$$

$$= 259,886.463 \quad \text{kcal/hr}$$

ปริมาณความร้อนรวมที่สูญเสียไปกับก๊าซเสีย (Q_l)

$$= \text{อัตราเชื้อเพลิงที่ป้อนหม้อไอน้ำ} \times \text{ปริมาณความร้อนที่สูญเสียไปกับก๊าซเสียที่ปล่องไฟ}$$

$$= 61.135 \times 416.721$$

$$= 25,476.368 \quad \text{kcal/hr}$$

ร้อยละของความร้อนที่สูญเสียไปกับไอเสีย

$$= \frac{\text{ปริมาณความร้อนรวมที่สูญเสียไปกับก๊าซเสีย}}{\text{ปริมาณความร้อนรวมของเชื้อเพลิง}} \times 100$$

$$= \frac{25,476.368}{259,886.463} \times 100$$

$$= 9.803 \quad \%$$

$$= 9.803 \quad \%$$

ประสิทธิภาพการเผาไหม้

$$= 100 - \text{ร้อยละของความร้อนที่สูญเสียไปกับไอเสีย}$$

$$= 100 - 9.803$$

$$= 90.197 \quad \%$$

หมายเหตุ ประสิทธิภาพการเผาไหม้เชื้อเพลิง Wood Pellet ของหม้อไอน้ำหลังปรับปรุงมีค่าน้อยกว่าก่อนปรับปรุงที่ใช้เชื้อเพลิงน้ำมันเตา(ชนิด A) 3.776 %

ภาคผนวก ข
ผลงานวิจัยที่ได้รับการตีพิมพ์เผยแพร่

ME-NETT2015

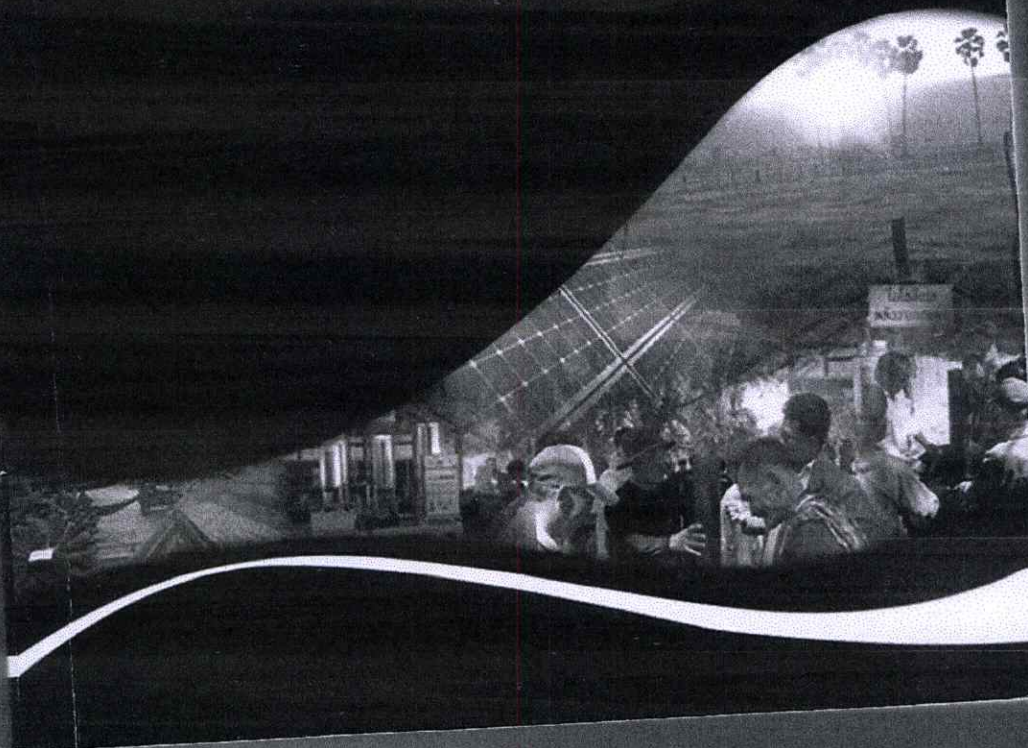
The 29th Conference of Mechanical Engineering Network of Thailand
The Greenery Resort Khao Yai, Pak Chong, Nakhon Ratchasima



การประชุมวิชาการเครือข่ายวิศวกรรมเครื่องกลแห่งประเทศไทย ครั้งที่ 29
The 29th Conference of Mechanical Engineering Network of Thailand

1 - 3 กรกฎาคม 2558 ณ โรงแรมเดอะกรีนเนอร์ รีสอร์ท เขาใหญ่ อ.ปากช่อง จ.นครราชสีมา

งานวิจัยเพื่อท้องถิ่นไทย



TSF07

การพัฒนาโปรแกรมสำหรับการคำนวณพื้นที่การถ่ายเทความร้อนในหม้อไอน้ำชนิดท่อไฟ A development of spreadsheet program for heat surface calculation in fire-tube boiler

นนท์ปวิธ คลังหิรัญ¹, จารุวัตร เจริญสุข*

¹ สถาบันเทคโนโลยีพระจอมเกล้าเจ้าคุณทหารลาดกระบัง เลขที่ 1 ซอยฉลองกรุง 1 เขตลาดกระบัง กรุงเทพมหานคร ประเทศไทย 10520

*ติดต่อ: โทรศัพท์ : 023 264 197, โทรสาร : 023 264 198, E-mail : kcjaruw@kmitl.ac.th

บทคัดย่อ

บทความนี้นำเสนอโปรแกรมแบบสเปรดชีตที่พัฒนาขึ้นสำหรับคำนวณพื้นที่การถ่ายเทความร้อนของหม้อไอน้ำชนิดท่อไฟ โดยค่าพื้นที่การถ่ายเทความร้อนที่คำนวณได้ จะสัมพันธ์กับการกำหนดพารามิเตอร์ในการออกแบบ เช่น ความยาวเส้นผ่านศูนย์กลางท่อไฟใหญ่ เส้นผ่านศูนย์กลางและจำนวนท่อไฟเล็ก และกำลังการผลิตของไอน้ำที่ต้องการ เป็นต้น โปรแกรมที่พัฒนาขึ้นใช้วิธีการคำนวณตามขั้นตอน ดังต่อไปนี้ 1.วิเคราะห์แยกธาตุของเชื้อเพลิงในการบวนการเผาไหม้เพื่อหาคุณสมบัติของก๊าซไอเสีย 2. ใช้ทฤษฎีการเผาไหม้ เพื่อคำนวณปริมาณเชื้อเพลิงและปริมาณไอเสียที่ผ่านชุดท่อไฟ 3. ใช้ทฤษฎีการนำ การพา และแผ่รังสีความร้อน เพื่อหาค่าสัมประสิทธิ์การถ่ายเทความร้อนรวม และวิเคราะห์อัตราการถ่ายเทความร้อนที่จำเป็นต่อการเปลี่ยนสถานะของน้ำ ในกระบวนการคำนวณแบบวนซ้ำ จะทำให้ได้มาซึ่งจำนวนของท่อไฟเล็กในหม้อไอน้ำในที่สุด ความแม่นยำของโปรแกรม วัดผลจากวิธีการเปรียบเทียบประสิทธิภาพการถ่ายเทความร้อนจากการคำนวณ กับประสิทธิภาพการถ่ายเทความร้อนหม้อไอน้ำจริง เพื่อประเมินค่าความคลาดเคลื่อนของโปรแกรมที่พัฒนาขึ้น จากผลการทดสอบพบว่าประสิทธิภาพของหม้อไอน้ำจากการคำนวณมีค่า 76 เปอร์เซ็นต์ ซึ่งเปรียบเทียบกับประสิทธิภาพจากการตรวจวัดจากหม้อไอน้ำจริง 81.567 เปอร์เซ็นต์แล้วพบว่า ความคลาดเคลื่อนของโปรแกรมเท่ากับ 6.82 เปอร์เซ็นต์ โดยความคลาดเคลื่อนดังกล่าวเป็นผลจากการเผาไหม้จริง ซึ่งขึ้นอยู่กับองค์ประกอบของเชื้อเพลิง ส่งผลต่อความแม่นยำของโปรแกรมได้ หากเทียบกับการเผาไหม้ในทางทฤษฎี สมมติฐานของโปรแกรม กับการดำเนินการใช้หม้อไอน้ำจริงมีความแตกต่างกัน

คำหลัก: หม้อไอน้ำชนิดท่อไฟ, พื้นที่ถ่ายเทความร้อน, โปรแกรมเชิงตัวเลข

Abstract

This paper presents a spreadsheet program developed for heat transfer surface calculation in the fire-tube boiler. The obtained heating surface is related to the pre-defined parameters such as; the length and diameter of the furnace, the length and diameter of fire tube and required steam generation capacity etc. The program procedure involves 1) Ultimate and stoichiometry analyses of selected solid fuel for obtaining flue gas composition, 2) Utilization of combustion theory to obtain the amount of fuel and air under desired thermal throughput 3) Employment of the empirical and analytical models of convection, conduction and radiation mode of heat transfer as appropriate to determine the overall heat transfer and estimate the required surface for boiling mode of heat transfer. With iterative method, a number of tubes would finally be obtained. The predictive performance of this numerical program would then be assessed using the measured data from a fire tube boiler. The results showed that the efficiency of the boiler from the calculation is 76 percent compared with measured boiler efficiency is 81.567 percent. An error percentage is 6.82 percent because actual combustion depends on fuel compositions affected of program accuracy if compare with combustion in theory. A program assumptions are different if compare with actual boiler operation.

Keywords: Fire-tube boiler, Heat transfer surface, Numerical Program.

TSF07

รายการสัญลักษณ์

$(\% \frac{m}{m})_{dry}$	เปอร์เซ็นต์โดยมวลปราศจากความชื้น	$h_{w,input}$	เอนทัลปีของน้ำป้อนเข้าหม้อไอน้ำ
$(\% \frac{m}{m})_{ash}$	เปอร์เซ็นต์โดยมวลของขี้เถ้า	h_{fg}	เอนทัลปีของการระเหย
x_{fuel}	ปริมาณธาตุใด ๆ ในเชื้อเพลิงเชิงปริมาณ	$C_{p,avg}$	ค่าความจุความร้อนจำเพาะ
LHV	ค่าความร้อนต่ำของเชื้อเพลิง	U	สัมประสิทธิ์การถ่ายเทความร้อนรวม
V_{mois}	ปริมาตรของความชื้นในเชื้อเพลิง	h	สัมประสิทธิ์การถ่ายเทความร้อน
$m_{perkgfuel}$	องค์ประกอบธาตุในหน่วยกิโลกรัมเชื้อเพลิง	h_{rad}	สัมประสิทธิ์การถ่ายเทความร้อนของการแผ่รังสี
$m_{h,perkgfuel}$	องค์ประกอบธาตุไฮโดรเจนในหน่วยกิโลกรัม เชื้อเพลิง	h_o	สัมประสิทธิ์การถ่ายเทความร้อนของการพาความร้อนด้านนอก
$m_{o,perkgfuel}$	องค์ประกอบธาตุออกซิเจนในหน่วยกิโลกรัม เชื้อเพลิง	h_i	สัมประสิทธิ์การถ่ายเทความร้อนของการพาความร้อนด้านใน
$\dot{m}_{fluegas}$	อัตราการไหลของแก๊สไอเสีย	k	ค่าสภาพนำความร้อนของวัสดุ
\dot{m}_{fuel}	อัตราการป้อนเชื้อเพลิง	D_o	เส้นผ่านศูนย์กลางภายนอก
AF_{actual}	อัตราส่วนอากาศ-เชื้อเพลิงจริง	D_i	เส้นผ่านศูนย์กลางภายใน
AF_{stoi}	อัตราส่วนอากาศ-เชื้อเพลิงทฤษฎี	Nu	ตัวเลขนัชเชิลท์
ΔT	ส่วนต่างอุณหภูมิ	Re	ตัวเลขเรโนลด์
$T_{ambient}$	อุณหภูมิบรรยากาศ	ϵ	สัมประสิทธิ์การแผ่รังสี
A_s	พื้นที่ผิวรับความร้อน	σ	ค่าคงที่สเตฟานส์-โบลท์ซมันน์
R_{th}	ค่าความต้านทานทางความร้อน	T_s	อุณหภูมิผิว
R_{tot}	ค่าความต้านทานความร้อนรวม	T_{surr}	อุณหภูมิสิ่งแวดล้อมโดยรอบ
R_{rad}	ค่าความต้านทานความร้อนการแผ่รังสี	ϵ_g	สัมประสิทธิ์การแผ่รังสีของแก๊ส
$R_{conv,o}$	ค่าความต้านทานความร้อนการพาความร้อนด้านนอก	ϵ_c	สัมประสิทธิ์การแผ่รังสีของแก๊สคาร์บอนไดออกไซด์
$R_{conv,i}$	ค่าความต้านทานความร้อนการพาความร้อนด้านใน	ϵ_w	สัมประสิทธิ์การแผ่รังสีของไอน้ำ
R_{cond}	ค่าความต้านทานความร้อนการนำความร้อน	$\Delta \epsilon$	ส่วนต่างสัมประสิทธิ์การแผ่รังสี
Q	ปริมาณพลังงานที่ต้องใช้ในการต้มน้ำ	C_c	แฟกเตอร์ค่าแก้ของแก๊สคาร์บอนไดออกไซด์
$Q_{com-sat.liq}$	ปริมาณพลังงานที่ใช้ในการ ต้มน้ำจากสถานะของเหลวเป็นของเหลวอิ่มตัว	C_w	แฟกเตอร์ค่าแก้ของไอน้ำ
$Q_{sat.liq-sat.vapor}$	ปริมาณพลังงานที่ใช้ในการ ต้มน้ำจากสถานะของเหลวอิ่มตัวเป็นไออิ่มตัว	C_l	ค่าความจุความร้อนจำเพาะของของเหลว
Q_{actual}	ความร้อนจากเชื้อเพลิงที่ให้หม้อไอน้ำ	Pr_l	ตัวเลขพรันด์เทิลของของเหลว
eff	ประสิทธิภาพหม้อไอน้ำ	ΔT_x	ส่วนต่างอุณหภูมิของของเหลวกับอุณหภูมิอิ่มตัว
h_{boiler}	เอนทัลปีของไอน้ำที่ผลิตได้	C_{sf}	ค่าคงที่ความตึงผิวของเหลว
		q	ฟลักซ์ความร้อนต่อหน่วยพื้นที่
		μ_l	ค่าความหนืดของของเหลว
		g_c	ตัวประกอบการแปลง
		$\sigma_{tension}$	ค่าแรงตึงผิวระหว่างของเหลวกับไอ

TSF07

g	ค่าความเร่งจากแรงโน้มถ่วง
ρ_l	ความหนาแน่นของของเหลวอิ่มตัว
ρ_v	ความหนาแน่นของไออิ่มตัว
P	ความดัน
P_{cr}	ความดันวิกฤติ
P_r	ความดันรีดิวส์
F_p	แฟกเตอร์ค่าแก้ความดันรีดิวส์

1. บทนำ

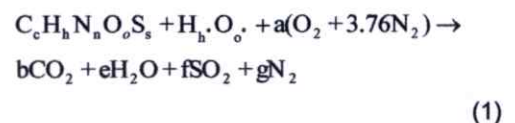
การพัฒนาโปรแกรมคำนวณพื้นที่การถ่ายเทความร้อนในหม้อไอน้ำ ถูกพัฒนาเพื่อใช้สำหรับการออกแบบหม้อไอน้ำในส่วนของพื้นที่การถ่ายเทความร้อนทั้งในด้านน้ำ และด้านไฟ โดยที่ค่าของพื้นที่การถ่ายเทความร้อนจากการคำนวณ จะสัมพันธ์กับการกำหนดตัวแปรในการออกแบบหม้อไอน้ำ เช่น ความยาว เส้นผ่านศูนย์กลางท่อไฟใหญ่ เส้นผ่านศูนย์กลางและจำนวนท่อไฟเล็ก และกำลังการผลิตของไอน้ำที่ต้องการ โดยโปรแกรมดังกล่าวนำเสนอในรูปแบบของสเปรดชีต เพื่อเป็นต้นแบบของโปรแกรมสำเร็จรูปสำหรับใช้งาน ในโรงงานอุตสาหกรรมที่ใช้หม้อไอน้ำเป็นเครื่องจักรต้นกำลัง หรือโรงไฟฟ้า รวมถึงใช้ในโรงงานออกแบบหม้อไอน้ำ องค์ความรู้ที่ใช้ในการพัฒนาโปรแกรมใช้ การวิเคราะห์แยกธาตุของเชื้อเพลิงในการบวนการเผาไหม้ เพื่อหาคุณสมบัติของก๊าซไอเสีย [1] ใช้ทฤษฎีการเผาไหม้ เพื่อคำนวณปริมาณเชื้อเพลิงและปริมาณไอเสียที่ผ่านชุดท่อไฟ [2] ใช้ทฤษฎีการนำ การพา และแผ่รังสีความร้อน เพื่อหาค่าสัมประสิทธิ์การถ่ายเทความร้อนรวม และวิเคราะห์อัตราการถ่ายเทความร้อนที่จำเป็นต่อการเปลี่ยนสถานะของน้ำ [3] โดยตั้งสมมติฐานให้การถ่ายเทความร้อนไปสู่ไอน้ำในหม้อไอน้ำมีลักษณะเป็น Nucleate pool boiling และพฤติกรรมการไหลของน้ำในท่อในส่วนของห้องเผาไหม้มีลักษณะเป็นการพาความร้อนแบบบังคับผสมกับการเดือด [4] นอกจากนี้ได้นำระเบียบวิธีเชิงตัวเลข เช่น วิธีการถดถอยหลายเชิงแบบกำลังสองน้อยที่สุด (Multiple Least Squares Regression) [5] สำหรับสร้างเส้นแนวโน้มจากราค่าแก้ สัมประสิทธิ์การแผ่รังสีความร้อนของคาร์บอนไดออกไซด์และน้ำ วิธีการประมาณค่าในช่วงด้วยเส้นตรง (Linear Spline Interpolation) [6] สำหรับสร้างเส้นแนวโน้มจากราคาความแตกต่างสัมประสิทธิ์การแผ่รังสีความร้อน (Delta epsilon) โดยระเบียบวิธีเชิงตัวเลข

ดังกล่าวถูกใช้เพื่อคำนวณหาสัมประสิทธิ์การแผ่รังสีความร้อนของแก๊สไอเสีย การพัฒนาโปรแกรมการคำนวณดังกล่าวเป็นคำนวณแบบวนซ้ำ เพื่อหาจำนวนท่อไฟเล็กที่เหมาะสมที่สุดในการออกแบบหม้อไอน้ำ ตามกำลังการผลิตไอน้ำที่ต้องการ ดังนั้นความแม่นยำของโปรแกรมวัดผลจากวิธีการเปรียบเทียบการถ่ายเทความร้อนจากโปรแกรม กับพื้นที่ถ่ายเทความร้อนหม้อไอน้ำจริง เพื่อประเมินค่าประสิทธิภาพหม้อไอน้ำ เพื่อใช้ตรวจสอบความคลาดเคลื่อนของโปรแกรมที่พัฒนาขึ้น เพื่อปรับแก้โปรแกรมให้มีความแม่นยำมากยิ่งขึ้น ก่อนพัฒนาเป็นโปรแกรมสำเร็จรูปในอนาคตต่อไป

2. ทฤษฎีที่เกี่ยวข้อง

2.1 การวิเคราะห์แยกธาตุ (Dry basis)

การวิเคราะห์แยกธาตุ วิเคราะห์เพื่อหาองค์ประกอบโมเลกุลของไอเสีย เพื่อนำมาวิเคราะห์หาคุณสมบัติทางความร้อนของไอเสีย ก่อนนำไปวิเคราะห์ความสามารถในการถ่ายเทความร้อนไปยังน้ำในหม้อไอน้ำ จากสมการการเผาไหม้ทางทฤษฎี (Stoichiometric) และสมการการเผาไหม้สัดส่วนอากาศมากกว่าเชื้อเพลิง (Lean combustion)



องค์ประกอบของเชื้อเพลิงจะมีน้ำเป็นส่วนประกอบ หากจะทำมาวิเคราะห์แยกธาตุจำเป็นที่จะต้องวิเคราะห์เชิงปริมาณโดยคิดเฉพาะเชื้อเพลิงไม่มีความชื้นสมการต่อไปนี้ [1]

$$\left(\% \frac{m}{m}\right)_{dry} = \frac{(x_{fuel})(100)}{100 - (V_{mois})} \quad (2)$$

จะต้ององค์ประกอบเชื้อเพลิงแต่ละธาตุซึ่งประกอบด้วย คาร์บอน(C) ไฮโดรเจน(H) ไนโตรเจน(N) ออกซิเจน(O) ซัลเฟอร์(S) และ เถ้า (Ash) จากนั้นนำองค์ประกอบของธาตุดังกล่าวให้อยู่ในหน่วย มวลต่อกิโลกรัมเชื้อเพลิง [1]

$$m_{perkgfuel} = \frac{\left(\% \frac{m}{m}\right)_{dry}(100 - V_{mois})}{100} \quad (3)$$

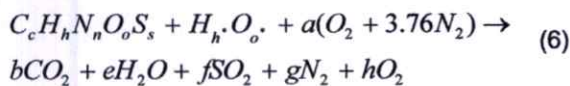
และสำหรับธาตุไฮโดรเจน และออกซิเจนของน้ำที่อยู่ในเชื้อเพลิงในหน่วยมวลต่อกิโลกรัมเชื้อเพลิงสามารถหาได้จากสมการ [1]

TSF07

$$m_{h,perkgfuel} = \frac{V_{mois} \left(\frac{2}{18}\right)}{100} \quad (4)$$

$$m_{o,perkgfuel} = \frac{V_{mois} \left(\frac{16}{18}\right)}{100} \quad (5)$$

การวิเคราะห์แยกธาตุ ทำให้ทราบถึงจำนวนโมลของแต่ละโมเลกุลในไอเสียของการเผาไหม้ทางทฤษฎี และการเผาไหม้จริง



สมการดังกล่าวคือสมการการเผาไหม้แบบอากาศเกิน (Lean combustion) จะมีออกซิเจนที่เหลือจากการเผาไหม้ในไอเสีย เมื่อตุลสมการเสร็จสมบูรณ์จะทราบสัดส่วนโมล และสัดส่วนมวล ของแต่ละโมเลกุลของไอเสีย ใช้ข้อมูลดังกล่าวมาเขียนโปรแกรมโดยตัวแปรต้นคืออุณหภูมิของไอเสียซึ่งมาจากการคำนวณ และตัวแปรตามคือคุณสมบัติทั้งเชิงกล และทางความร้อนของไอเสีย

2.2 ทฤษฎีการเผาไหม้ การคำนวณปริมาณเชื้อเพลิง และปริมาณไอเสียที่ผ่านชุดท่อไฟ

อัตราการจ่ายเชื้อเพลิงคือปริมาณความร้อนที่ทำให้น้ำมีอุณหภูมิ ความดัน และสถานะที่ต้องการหารด้วยค่าความร้อนทางต่ำของเชื้อเพลิง (Low Heating Value) โดยตั้งสมมติฐานให้การเผาไหม้เชื้อเพลิงจนหมด ดังนั้นอัตราการไหลของไอเสีย หาค่าได้จากสมการดังต่อไปนี้ [1][2]

$$\dot{m}_{fuel} = \frac{Q}{LHV} \quad (7)$$

$$Q = \frac{Q_{com-sat.liq} + Q_{sat.liq-sat.vapor}}{\frac{eff}{100}} \quad (8)$$

$$\dot{m}_{fluegas} = \left(1 - \frac{(\% \frac{m}{m})_{ash}}{100}\right) [(\dot{m}_{fuel}) + (AF_{actual})(\dot{m}_{fuel})] \quad (9)$$

โดยการคำนวณคิดเสมือนการเผาไหม้จริงเพราะฉะนั้นจะมีถ้าเหลือจากการเผาไหม้ ไม่ถูกเผาไปด้วยจึงต้องมีตัวประกอบค่าแก้สำหรับสมการอัตราการไหลของไอเสีย สำหรับอุณหภูมิของไอเสีย และเปลวไฟแอดียแบตติคหาได้โดยสมการ [1]

จาก $Q = \dot{m} C_{p,avg} \Delta T \quad (10)$

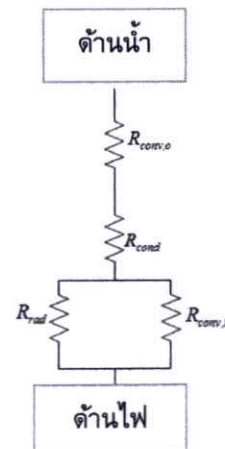
$$T_{fluegas} = \frac{Q}{\dot{m}_{fluegas@excessair} C_{p,avg}} + T_{ambient} \quad (11)$$

$$T_{flame} = \frac{Q}{\dot{m}_{fluegas@stoic} C_{p,avg}} + T_{ambient} \quad (12)$$

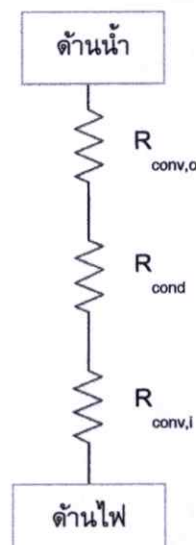
อุณหภูมิของไอเสียจะนำมาวิเคราะห์การพาความร้อน สำหรับอุณหภูมิเปลวไฟจะนำมาใช้วิเคราะห์การแผ่รังสีความร้อน ซึ่งสำหรับการวิเคราะห์การถ่ายเทความร้อนวิเคราะห์เพื่อหาสัมประสิทธิ์การถ่ายเทความร้อนรวม ซึ่งจะอธิบายในหัวข้อย่อยถัดไป

2.3 ทฤษฎีการนำ การพา และแผ่รังสีความร้อน เพื่อหาค่าสัมประสิทธิ์การถ่ายเทความร้อนรวม

ความต้านทานความร้อนของการแผ่รังสีจะถูกรวมกับการพาความร้อน



รูปที่ (1) Thermal resistance diagram ของการถ่ายเทความร้อนจากห้องเผาไหม้ไปยังท่อน้ำ



TSF07

รูปที่ (2) Thermal resistance diagram ของการถ่ายเทความร้อนจากท่อไฟไปยังด้านน้ำ

จากรูปที่ (1) สามารถนำผลรวม R_{th} มารวมกันได้ ตัวแปร U คือ สัมประสิทธิ์การถ่ายเทความร้อนรวม โดยหาได้จากสมการดังต่อไปนี้ [10]

$$\frac{1}{UA_s} = R_{tot} = \frac{1}{\frac{1}{R_{rad}} + \frac{1}{R_{conv,o}}} + R_{cond} + R_{conv,i} \quad (13)$$

$$R_{rad} = \frac{1}{h_{rad}A_s} \quad (14)$$

เมื่อนำ R_{rad} แทนค่าลงในสมการที่ (24)

$$\frac{1}{U_o \pi D_o} = \frac{\frac{1}{h_o h_{rad}}}{\left(\frac{1}{h_o} + \frac{1}{h_{rad}}\right) \pi D_o} + \frac{\ln \frac{D_o}{D_i}}{2\pi k} + \frac{1}{h_i \pi D_i} \quad (15)$$

สำหรับกรณีของรูปที่ (2) จะได้สมการดังต่อไปนี้

$$\frac{1}{U \pi D} = \frac{1}{h_i \pi D_i} + \frac{\ln \frac{D_o}{D_i}}{2\pi k} + \frac{1}{h_o \pi D_o} \quad (16)$$

สำหรับสมการสำหรับหาค่าสัมประสิทธิ์การถ่ายเทความร้อนรวม ซึ่งจะนำไปคำนวณพื้นที่การถ่ายเทความร้อน โดยจากการคำนวณพบว่าตัวแปรที่มีผลต่อค่า สัมประสิทธิ์การถ่ายเทความร้อนรวม คือ h หรือ สัมประสิทธิ์การถ่ายเทความร้อน [10]

$$h_{rad} = \epsilon \sigma (T_s^2 - T_{surr}^2)(T_s - T_{surr}) \quad (17)$$

ค่าสัมประสิทธิ์การแผ่รังสีของแก๊สไอเสียหาจาก วิธีการถดถอยหลายเชิงแบบกำลังสองน้อยที่สุด (Multiple Least Squares Regression) [5] สำหรับสร้างเส้นแนวโน้มจากราค่าแก๊ส สัมประสิทธิ์การแผ่รังสีความร้อนของคาร์บอนไดออกไซด์และน้ำ วิธีการประมาณค่าในช่วงด้วยเส้นตรง (Linear Spline Interpolation) [6] สำหรับสร้างเส้นแนวโน้มจากราคาความแตกต่างสัมประสิทธิ์การแผ่รังสีความร้อน (Delta epsilon) โดยระเบียบวิธีเชิงตัวเลขดังกล่าวถูกใช้เพื่อคำนวณหาสัมประสิทธิ์การแผ่รังสีความร้อนของแก๊สไอเสีย [14]

$$\epsilon_g = C_c \epsilon_{c,atm} + C_w \epsilon_{w,atm} - \Delta \epsilon \quad (18)$$

สำหรับค่า h_o และ h_i ซึ่งเป็นค่าสัมประสิทธิ์การถ่ายเทความร้อนจากการพาความร้อน คำนวณจากสมการ [11]

$$h = \frac{k}{D} Nu \quad (19)$$

สำหรับการเลือกใช้สมการ Nusselt number นั้นมีหลักเกณฑ์การพิจารณาหลายตัวแปร เช่น พฤติกรรมการไหลของของไหลเพื่อจำแนกว่า ของไหลดังกล่าวมีลักษณะเป็นแบบใด จากการวิเคราะห์อัตราการถ่ายเทความร้อนที่จำเป็นต่อการเปลี่ยนสถานะของน้ำ โดยตั้งสมมติฐานให้การถ่ายเทความร้อนไปสู่ในหม้อไอน้ำมีลักษณะเป็นการเดือดอย่างเต็มที่ (Nucleate pool boiling) และ พฤติกรรมการไหลของน้ำในท่อในส่วนของห้องเผาไหม้มีลักษณะเป็นการถ่ายเทความร้อนแบบบังคับผสมกับการเดือด [4] สำหรับพฤติกรรมของแก๊สไอเสียในห้องเผาไหม้นั้นตั้งสมมติฐานว่า เป็นการพาความร้อนแบบบังคับ (Force convection) การเขียนโปรแกรมมีความจำเป็นที่ต้องทดสอบพฤติกรรมของการถ่ายเทความร้อนที่แตกต่างกันเพื่อนำมาเปรียบเทียบหาสมการที่เหมาะสมที่สุดในการเขียนโปรแกรม โดยนำค่าพื้นผิวรับความร้อนที่ได้จากโปรแกรมไปเทียบกับหม้อน้ำจริง โดยสมการความสัมพันธ์ก่อตัวการเดือดของน้ำ Rohsenow มีสมการดังนี้[3]

$$\frac{C_l \Delta T_x}{h_{fg} Pr_l^{1.7}} = C_{sf} \left[\frac{q}{\mu_l h_{fg}} \sqrt{\frac{g_c \sigma_{tension}}{g(\rho_l - \rho_v)}} \right]^{0.33} \quad (20)$$

สมการดังกล่าวรูปลักษณะของภาษาไม่ส่งผลมากนักต่อการเดือดของน้ำ สิ่งที่สำคัญขึ้นอยู่กับพื้นผิวที่น้ำรับความร้อน ไม่ใช่รูปร่างของภาษารับความร้อน [3] จากคำนวณจะใช้สมการดังกล่าวในการหา ฟลักซ์ความร้อนที่จำเป็นที่ทำให้น้ำเดือด จนผลิตไอน้ำได้ตามความต้องการ สำหรับการเดือดของน้ำที่มีการไหลอยู่ในท่อ มีสมการดังต่อไปนี้

$$\left(\frac{Q}{A}\right)_{total} = \left(\frac{Q}{A}\right)_{boiling} + \left(\frac{Q}{A}\right)_{forcedconvection} \quad (21)$$

สำหรับการเดือดของน้ำไหลในท่อเรียบ Rohsenow และ Griffith เสนอว่า ผลของการพาความร้อนแบบบังคับสามารถใช้ความสัมพันธ์ Dittus-Boelter ในการคำนวณได้ [4] สำหรับความสัมพันธ์ Dittus-Boelter [12] ใช้สมมติฐานเป็นการไหลแบบปั่นป่วนเต็มที่ดังต่อไปนี้

$$Nu_d = 0.023 Re_d^{0.8} Pr^{0.3} \quad (22)$$

Re คือ Reynold number ของการไหลภายในท่อและ Pr คือ Prundtl number ค่า Pr หาจากการเปิดตารางการถ่ายเทความร้อน ส่วน Re เป็นฟังก์ชันของความเร็วจน, ความหนืดจลน์, ความหนาแน่นของไหล และ เส้นผ่านศูนย์กลางของท่อ สำหรับการคำนวณการพาความร้อน

TSF07

เพียงอย่างเดียวเลือกใช้สมการที่ (22) แต่หากเป็นการผสมกันของการเดือดและการพาแบบบังคับนั้น Rohsenow และ Griffith แนะนำว่า ควรเปลี่ยนจาก 0.023 เป็น 0.019 [4] สำหรับสมการที่ (23) การหาค่า h_o จากด้านน้ำสามารถหาได้จากความสัมพันธ์ของ Mostinski [13]

$$h_o = 0.00417q^{0.7} P_{cr}^{0.69} F_p \quad (23)$$

$$F_p = 1.8P_r^{0.17} + 4P_r^{1.2} + 10P_r^{10}, P_r = \frac{P}{P_{cr}} \quad (24)$$

และในส่วนของหม้อไอน้ำด้านน้ำซึ่งไหลท่วมท่อ การไหลนั้นตั้งสมมติฐานเป็นการไหลแบบภายนอก (External flow) โดยเลือกใช้ความสัมพันธ์เชิงตัวเลขของ Jakob [15] และ Zukauskas [16] ซึ่งเป็นการถ่ายเทความร้อนผ่านผิวด้านนอกของท่อทรงกระบอก และสื่อกลางที่พาความร้อนสามารถเป็นได้ทั้งสถานะแก๊ส และของเหลว โดยความสัมพันธ์เขียนได้ดังต่อไปนี้

$$Nu = 0.989Re^{0.330} Pr^{1/3}; 0.4 \leq Re < 4$$

$$Nu = 0.911Re^{0.385} Pr^{1/3}; 4 \leq Re < 40$$

$$Nu = 0.683Re^{0.466} Pr^{1/3}; 40 \leq Re < 4000$$

$$Nu = 0.193Re^{0.618} Pr^{1.3}; 4000 \leq Re < 40000$$

$$Nu = 0.027Re^{0.805} Pr^{1/3}; 40000 \leq Re < 400000 \quad (25)$$

สำหรับการคำนวณประสิทธิภาพหม้อน้ำจริง คำนวณได้จากสมการดังต่อไปนี้ ซึ่งเป็นประสิทธิภาพจากการตรวจวัดจากหม้อไอน้ำจริง

$$eff = \frac{h_{boiler} - h_{w,input}}{Q_{actual}} \times 100 \quad (26)$$

4. การวิเคราะห์ผล

4.1 การทำงานของโปรแกรม

โปรแกรมถูกพัฒนาในรูปแบบของสเปรดชีทเพื่อวิเคราะห์อัตราการถ่ายเทความร้อนที่จำเป็นต่อการเปลี่ยนสถานะของน้ำ ในกระบวนการคำนวณแบบวนซ้ำ การทำงานของโปรแกรมเป็นไปตามแผนผัง flow chart ดังที่แสดงในรูปที่ (3)

4.2 วิธีการวิเคราะห์ผล

การวิเคราะห์ความแม่นยำของโปรแกรมทำการตรวจหม้อไอน้ำ 2 ครั้ง โดยครั้งที่หนึ่งตรวจขณะหม้อไอน้ำหยุดการทำงาน หลังจากหม้อไอน้ำเริ่มเย็นลงแล้วสามารถเข้าไปวัดพารามิเตอร์ที่สำคัญต่างๆดังต่อไปนี้

คือ ความยาว เส้นผ่านศูนย์กลาง ความหนาของท่อไฟใหญ่-ท่อไฟเล็ก จำนวนท่อในหม้อไอน้ำ รูปแบบการวางท่อไฟเล็ก เส้นผ่านศูนย์กลางของหม้อน้ำ โดยจากการตรวจวัดดังกล่าว สามารถทราบพื้นที่รับความร้อนของหม้อไอน้ำจริง ข้อมูลเหล่านี้จะนำมาใช้เปรียบเทียบกับค่าคำนวณจากโปรแกรม โดยหากการคำนวณจากโปรแกรม นั้นใช้พื้นที่การถ่ายเทความร้อนน้อยกว่า พื้นที่ถ่ายเทความร้อนในหม้อน้ำทั้งหมด บ่งชี้ว่าหม้อน้ำดังกล่าวสามารถใช้งานได้ในพื้นที่ผู้ใช้โปรแกรมตั้งพารามิเตอร์ไว้สำหรับการตรวจครั้งที่สองคือตรวจในขณะที่หม้อไอน้ำกำลังทำงานโดยวัดพารามิเตอร์ต่างๆ ดังต่อไปนี้คือ ความดัน อัตราการผลิตไอน้ำ อุณหภูมิของไอน้ำเสีย คุณภาพของแก๊สไอเสีย อัตราการป้อนเชื้อเพลิงจริง ชนิดของเชื้อเพลิงตัวแปรเหล่านี้จะเป็นตัวแปรต้นในการคำนวณหาประสิทธิภาพจริงของหม้อน้ำ

4.3 ผลการวิเคราะห์โปรแกรม

4.3.1 วิเคราะห์โดยเปลี่ยนแปลงค่า n_{pre}

ตารางที่ 1 ตารางแสดงจำนวนท่อที่เหมาะสมในการใช้งานจากการคำนวณครั้งแรกโดยโปรแกรม

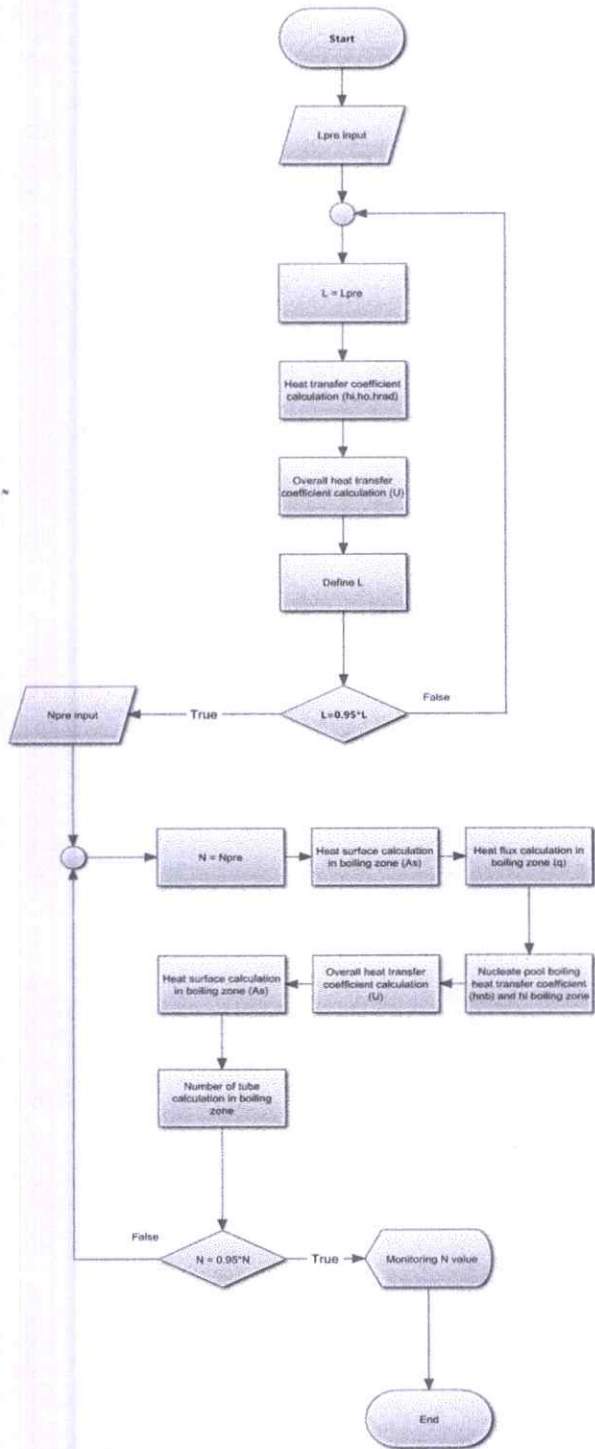
N_{pre}	$U(W/m^2 K)$	$As(m^2)$	N	%error
5	177.0156	3.034	6.566	84.37
10	101.828	5.2754	11.413	72.83
15	73.6797	7.2908	15.774	62.44
20	58.564	9.1725	19.84	52.76
42	32.39	16.584	35.882	14.56
50	28.1811	19.062	41.2413	1.80
54	26.502	20.270	43.854	4.41
100	16.2029	33.154	71.73	70.78

กำหนด พารามิเตอร์คงที่ดังต่อไปนี้

ตารางที่ 2 พารามิเตอร์ของท่อไฟ

	L(m)	ID(m)	Thickness (mm)	N
ท่อไฟใหญ่	3	0.8	16.5	1
ท่อไฟเล็ก1 st	2.66	0.41	4	54
ท่อไฟเล็ก2 nd	3	0.41	4	42

TSF07



รูปที่ (3) Flow chart แสดงวิธีการทำงานของโปรแกรม ตารางที่ 4 ตารางข้อมูลสำหรับวิเคราะห์แก๊สไอเสีย

ข้อมูล	ค่า	หน่วย
% ออกซิเจนในไอเสียเฉลี่ย	10.827	%
% คาร์บอนไดออกไซด์เฉลี่ย	9.640	%
คาร์บอนมอนนอกไซด์เฉลี่ย	267.205	ppm

ซัลเฟอร์ไดออกไซด์เฉลี่ย	-	ppm
ออกไซด์ของไนโตรเจนเฉลี่ย	-	ppm
อัตราเชื้อเพลิงที่ใช้เฉลี่ย	61.135	kg/hr
อุณหภูมิไอเสียเฉลี่ย	161.733	°C
อุณหภูมิสิ่งแวดล้อมเฉลี่ย	41.163	°C
ค่าความร้อนต่ำของเชื้อเพลิง	4,251	kcal/kg
ค่าความจุความร้อนจำเพาะของก๊าซเสียที่อุณหภูมิ 161.733 °C	0.3281	kcal/Nm ₃ °C

ตารางที่ 5 ข้อมูลสำหรับวิเคราะห์ประสิทธิภาพหม้อไอน้ำ

ข้อมูล	ค่าตรวจวัด/บันทึก	หน่วย
อัตราน้ำป้อนเฉลี่ย	0.392	m ³ /hr
อุณหภูมิน้ำป้อนเฉลี่ย	76.367	°C
ความดันไอน้ำเฉลี่ย (P _{abs})	5.113	bar
อัตราน้ำที่โบล์วทาวน์	14.460	
อัตราเชื้อเพลิงที่ใช้เฉลี่ย	61.135	kg/hr
ค่าความร้อนต่ำของเชื้อเพลิง (Wood Pellet)	17.795	MJ/kg
ประสิทธิภาพหม้อไอน้ำ	81.567	Percent

โดยข้อมูลหม้อไอน้ำจากตารางที่ 4 และ 5 ได้รับความอนุเคราะห์จากบริษัทเอกชน [17] เพื่อนำมาใช้เทียบกับโปรแกรมคำนวณ จากตารางที่ 1 พบว่าการตั้งค่า n_{pre} ที่ 50 มีความคลาดเคลื่อนต่ำที่สุดอยู่ที่ 1.8 เปอร์เซ็นต์ ดังนั้นจึงเลือกใช้ค่า n_{pre} คงที่ เท่ากับ 50 เพื่อลดปริมาณรอบของการคำนวณแบบวนซ้ำ ให้มีจำนวนรอบน้อยที่สุด เพื่อความรวดเร็วในการคำนวณ

4.3.2 วิเคราะห์โดยเปลี่ยนแปลงประสิทธิภาพหม้อไอน้ำ ตารางที่ 6 ตารางแสดงจำนวนท่อที่เหมาะสมในการใช้งาน จากการคำนวณครั้งแรกโดยโปรแกรม

Efficiency	U(W/m ² K)	As(m ²)	N	%error
50	53	33.9	9.12	78.29
60	45.75	38.85	20.01	52.36
70	40	45.98	35.44	15.62
80	35.4	57.7	60.76	44.67
90	31.67	88.44	127.31	203.12

จากผลการเปรียบเทียบพบว่า ผลการคำนวณครั้งแรกของการเปลี่ยนแปลงค่าประสิทธิภาพ มีความคลาดเคลื่อนสูง

TSF07

ซึ่งสามารถแก้ไขด้วยการคำนวณแบบวนซ้ำ เพื่อหาประสิทธิภาพของหม้อไอน้ำจากการคำนวณของโปรแกรม
4.3.3 วิเคราะห์โดยเปลี่ยนแปลงประสิทธิภาพหม้อไอน้ำ ด้วยกรรมวิธีการคำนวณแบบวนซ้ำ

ตารางที่ 7 ตารางแสดงจำนวนท่อนที่เหมาะสมในการใช้งาน จากการคำนวณแบบวนซ้ำ

Efficiency	U(W/m ² K)	As(m ²)	N	%error
50	22884	29.67	0.02	99.95
60	1615	29.91	0.565	98.65
70	155	33.85	9.08	78.38
75	51	45.24	33.8	19.52
76	41.03	50	44.1	5
78	26.05	64.53	75.6	80
80	16.31	90.5	131.89	214.02

จากผลการคำนวณแบบวนซ้ำพบว่าประสิทธิภาพของหม้อไอน้ำจากการคำนวณมีค่า 76 เปอร์เซ็นต์ ซึ่งหากเทียบกับประสิทธิภาพของหม้อไอน้ำจริงนั้น ประสิทธิภาพอยู่ที่ 81.567 เปอร์เซ็นต์ เพราะฉะนั้นความคลาดเคลื่อนของโปรแกรมเท่ากับ 6.82 เปอร์เซ็นต์ โดยความคลาดเคลื่อนดังกล่าวอาจเป็นผลจาก ประสิทธิภาพการเผาไหม้จริง ซึ่งส่งผลโดยตรงกับองค์ประกอบของเชื้อเพลิง ทำให้เกิดความคลาดเคลื่อนได้ หากเทียบกับการเผาไหม้ในทางทฤษฎี ซึ่งสมมติฐานของโปรแกรม กับการดำเนินการใช้หม้อไอน้ำจริงอาจแตกต่างกัน เพราะฉะนั้นผู้วิจัยจำเป็นต้องพัฒนาโปรแกรมให้มีความใกล้เคียงกับการดำเนินการใช้หม้อไอน้ำจริงให้มากที่สุด

5.บทสรุป

จากการคำนวณพบว่าโปรแกรมยังมีความผิดพลาดสูงถึง 6.82 เปอร์เซ็นต์ซึ่ง ตามหลักวิศวกรรมแล้วถือว่ายังมากเกินไป มีความจำเป็นต้องปรับเปลี่ยนสมมติฐานการคำนวณให้เหมือนกับ การผลิตไอน้ำของหม้อไอน้ำให้มากที่สุด โดยการพัฒนาโปรแกรกดังกล่าวนั้น เป็นประโยชน์สำหรับการผลิตหม้อไอน้ำ การตรวจสอบหม้อไอน้ำ และการใช้หม้อไอน้ำ โดยสิ่งที่สำคัญที่สุดก็คือความปลอดภัย ซึ่งหากโปรแกรมเลือกใช้สมการความสัมพันธ์ที่ใกล้เคียงกับพฤติกรรมของการทำงานจริง จะสร้างความมั่นใจให้ทั้งผู้ใช้งาน และผู้ผลิตหม้อไอน้ำ ซึ่งโปรแกรกดังกล่าวจำเป็นต้องพัฒนาให้มีความแม่นยำสูงที่สุด วิธีที่ทำให้เกิดความแม่นยำสูงที่สุดนั้น การพัฒนาโปรแกรมต้องควบคู่กับ

การตรวจสอบหม้อไอน้ำ จึงจะทำให้การพัฒนาเป็นไปอย่างสมบูรณ์ โปรแกรมที่มีความสมบูรณ์คือโปรแกรมที่สามารถใช้กับหม้อไอน้ำต่างชนิด ต่างประเภทเชื้อเพลิงได้ ซึ่งทางผู้วิจัยได้วางแผนต่อไปว่าจะนำโปรแกรมมาพัฒนาสำหรับหม้อไอน้ำชนิดท่อแนวน และหม้อไอน้ำแบบผสม ก่อนพัฒนาเป็นโปรแกรมสำเร็จรูปเพื่อสะดวกในการใช้งาน เพื่อวิศวกรผู้ตรวจสอบ และผู้ผลิต สามารถสร้าง และซ่อมบำรุงหม้อไอน้ำให้มีประสิทธิภาพ ปลอดภัย ลดอุบัติเหตุจากการใช้หม้อไอน้ำลงได้ ถือเป็นความสำเร็จที่ผู้วิจัยตั้งเป้าหมายไว้

6. กิตติกรรมประกาศ

ขอบคุณ รศ.ดร.จาร์วัตร เจริญสุข อาจารย์ที่ปรึกษาผู้คอยให้คำแนะนำทั้งทางทฤษฎี และการเขียนโปรแกรม ขอขอบคุณอาจารย์ธวัชชัย นาคพิพัฒน์ จากบริษัท Ferko industry จำกัด ที่ให้โอกาสได้ตรวจสอบหม้อไอน้ำจริง ตามมาตรฐานอุตสาหกรรม ขอขอบคุณบริษัท L Y industry จำกัด ที่ให้โอกาสตรวจหม้อไอน้ำชนิดท่อไฟสำหรับใช้เปรียบเทียบกับโปรแกรม ขอขอบคุณ ทีมตรวจวัดประสิทธิภาพจาก บริษัท โพร เอ็นเนอร์ยี แอนด์ เอ็นจิเนียริง จำกัด สำหรับรายงานการตรวจวัดประสิทธิภาพหม้อไอน้ำที่ บริษัท L Y industry จำกัด

7. เอกสารอ้างอิง

- [1] S.R. Turn, "Combustion and Thermochemistry", An Introduction to Combustion, Second edition, Singapore:McGraw-Hill, 2000, p. 13-15.
- [2] S.R. Turn, "Combustion and Thermochemistry", An Introduction to Combustion, Second edition, Singapore:McGraw-Hill, 2000, p. 19-20.
- [3] Rohsenow, W.M.: A Method of Correlation of Maximum Heat Flux Data for Surface Boiling Liquids, Trans. ASME, vol.74, p. 969, 1952.
- [4] Rohsenow, W.M., and P.Griffith, "Correlation of Maximum Heat Flux Data for Boiling of Saturated Liquids, AIChE-ASME Heat Transfer, Trans. ASME, vol 80, p.711, 1958.
- [5] วรสิทธิ์ กาญจนกิจเกษม, "การประมาณค่าในช่วงและการวิเคราะห์การถดถอย", ระเบียบวิธีเชิงตัวเลข, พิมพ์ครั้งที่ 1, โรงพิมพ์แห่งจุฬาลงกรณ์มหาวิทยาลัย: สำนักพิมพ์แห่งจุฬาลงกรณ์มหาวิทยาลัย, 2557, 187-188

TSF07

- [6] วรสิทธิ์ กาญจนกิจเกษม, "การประมาณค่าในช่วงและการวิเคราะห์การถดถอย", ระเบียบวิธีเชิงตัวเลข, พิมพ์ครั้งที่ 1, โรงพิมพ์แห่งจุฬาลงกรณ์มหาวิทยาลัย: สำนักพิมพ์แห่งจุฬาลงกรณ์มหาวิทยาลัย, 2557, 159
- [7] J.P. Holman, "Steady-state Conduction-one Dimension", Heat transfer, Fourth edition, Tosho PRINTING CO., LTD. TOKYO JAPAN:Mc-Graw-Hill, 1976, p. 25-27
- [8] J.P. Holman, "Steady-state Conduction-one Dimension", Heat transfer, Fourth edition, Tosho PRINTING CO., LTD. TOKYO JAPAN:Mc-Graw-Hill, 1976, p.29
- [9] J.P. Holman, "The Overall Heat-transfer Coefficient", Heat transfer, Fourth edition, Tosho PRINTING CO., LTD. TOKYO JAPAN:Mc-Graw-Hill, 1976, p. 29-30
- [10] Yunus A. Cengel, "The Thermal Resistance Concept", Heat transfer, Second edition, Mc-Graw-Hill, 2002, p. 130
- [11] Yunus A. Cengel, "FUNDAMENTALS OF CONVECTION", Heat transfer, Second edition, Mc-Graw-Hill, 2002, p. 336
- [12] Dittus,F.W.m and L.M.K. Boelter: Univ.Calif. (Berkeley) Pub. Eng., vol. 2, 1930, p.443
- [13] Mostinski, I. L., "Application of the Rule of Corresponding States for Calculation of Heat Transfer and Critical Heat Flux," Teploenergetika (Moscow, Russ. Fed.), vol. 4, 1963, pp. 66-71.
- [14] Dunkle, R.V.: "Geometric Mean Beam Lengths for Radiant Heat Transfer Calculations," J., Heat Transfer, vol. 86, p. 75, February 1964.
- [15] M. Jakob. Heat Transfer. Vol. I. New York: John Wiley & Sons, 1949.
- [16] A. Zukauskas. "Heat Transfer from Tubes in Cross Flow." In Advances in Heat Transfer, ed. J. P. Hartnett and T. F. Irvine, Jr. Vol. 8. New York: Academic Press, 1972.
- [17] บริษัท โปร เอ็นเนอร์ยี แอนด์ เอ็นจิเนียริง จำกัด, รายงานสรุปผลการตรวจวัดประสิทธิภาพหม้อไอน้ำหลังปรับปรุง บริษัท แอล.วาย. อินดัสตรีส์ จำกัด (เชื้อเพลิง Wood Pellet). กรุงเทพมหานคร:บริษัท โปร เอ็นเนอร์ยี แอนด์ เอ็นจิเนียริง จำกัด, 2558. (เอกสารไม่ตีพิมพ์)